

Magkémia

- A nukleáris tudományok története
- Az elemi részecskék és a standard modell
- Az atommag szerkezete és tulajdonságai
- Az atommagok stabilitása, az elemek kozmológiai evolúciója
- Magreakciók
- Atommagok bomlása
- A radioaktív bomlás kinetikai leírása
- Az alfa-bomlás
- A béta-bomlás
- Magizoméria és a gamma-sugárzás
- Különleges bomlástípusok
- Magátalakulásokat kísérő szekunder folyamatok
- A sugárzás és az anyag kölcsönhatásának általános jellemzése
- Az alfasugárzás és az anyag kölcsönhatása
- A béta-sugárzás és az anyag kölcsönhatása
- Vavilov-Cserenkov-sugárzás
- A gammasugárzás és az anyag kölcsönhatása
- Neutronsugárzás keletkezése és kölcsönhatása az anyaggal
- Sugárzásdetektorok
- Forróatomkémia, forróatomkémiai reakciók
- A radioaktív sugárzás veszélyei, dóziszfogalmak
- Radioaktív anyagok előfordulása a természetben.
- Radionuklidok és nagyenergiájú sugárzások felhasználása

Ajánlott irodalom:

Vértés Attila: Magkémia I., *Tankönyvkiadó*, Budapest, 1985

Kiss István, Vértés Attila: Magkémia (Akadémiai Kiadó, 1979)

K. Muhin: Kísérleti magfizika, Tankönyvkiadó, Budapest, 1985

Kónya József, Nagy Noémi: Izotópia I. Debreceni Egyetemi Kiadó, 2007.

Kónya József, Nagy Noémi: Izotópia II. Debreceni Egyetemi Kiadó, 2008.

Nagy Lajos György, Nagyné László Krisztina, Radiokémia és izotóptechnika (Műegyetemi Kiadó, 1997)

Németh Zoltán: Radiokémiai és izotóptechnikai alapismeretek (Veszprémi Egyetemi Kiadó, 1996)

A. Vértés, S. Nagy, Z. Klencsár: Handbook of Nuclear Chemistry, Kluwer Academic Publishers, Dordrecht-Boston-London (2003)

Nagy Sándor internetes elektronikus jegyzetei <http://nagysandor.eu/>

A magkémia tárgya.....

Magkémia - radiokémia

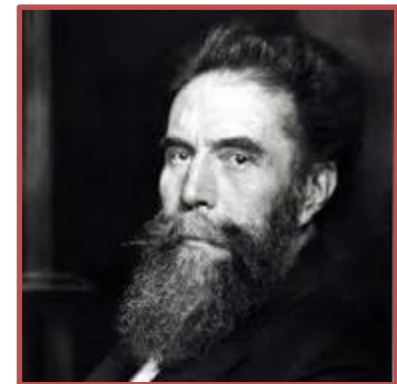
Nukleáris folyamatok vizsgálata kémiai módszerekkel

Kémiai folyamatok vizsgálata, megvalósítása nukleáris módszerekkel

Történelmi visszatekintés.....

1895- Röntgen-sugárzás (X-ray)

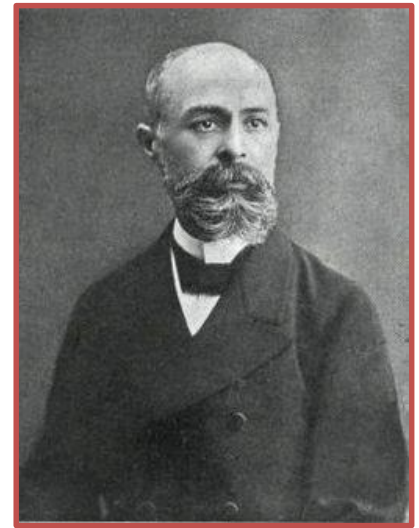
Wilhelm Conrad Röntgen



1896 - Radioaktivitás

Becquerel,

$K_2UO_2(SO_4)_2 \cdot 2H_2O$ megfeketítette a becsomagolt
fotólemezt



1897 - az elektron felfedezése

J.J. Thomson

1898 - **M. Curie,** Ra és Po
felfedezése,

A radiokémia születése

mg ill. μ g mennyiségek 1 t uránban!

1898 - 99 - alfa- és béta-sugárzás
kimutatása,

E. Rutherford

Mágneses eltérítés ellenkező irányba



1899 - 1900 A radon felfedezése

Curie M. Curie P. Dorn F.E. **Rutherford E.**

1900 - A béta sugarak
elektronok!

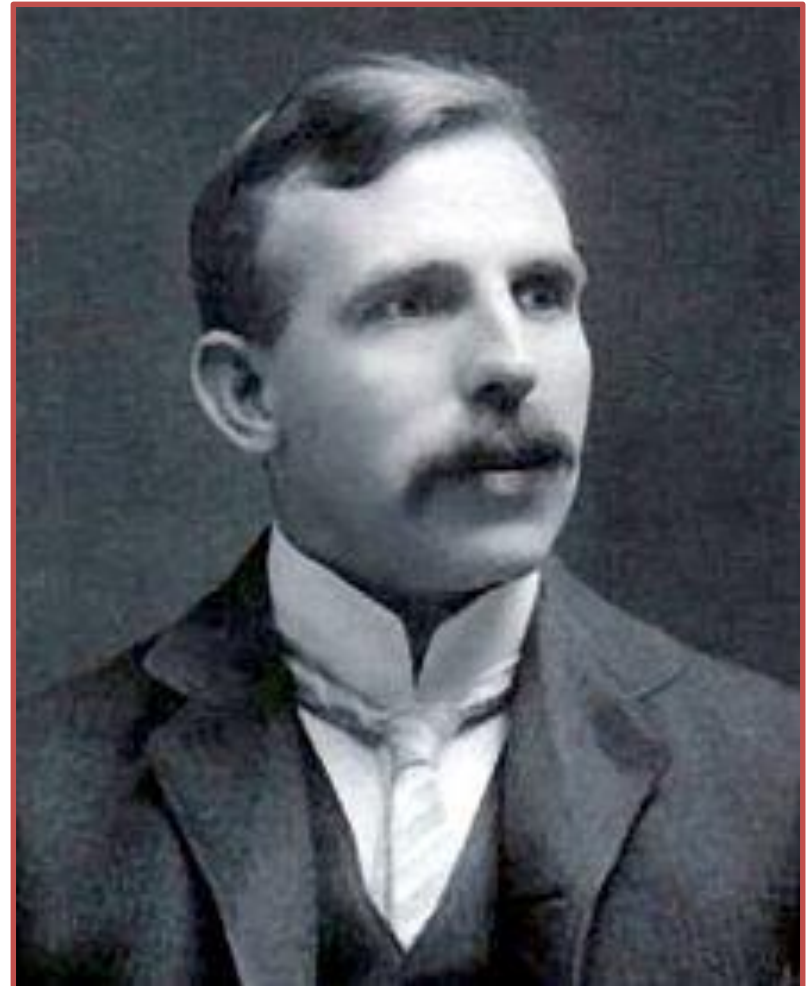
Rutherford

1902 - Radioaktív
bomlástörvény
(exponenciális bomlás)

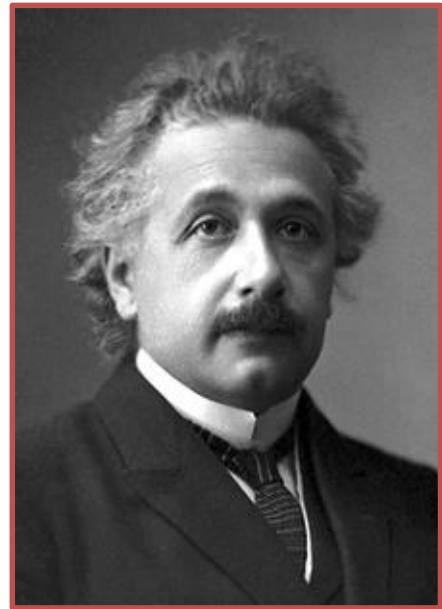
Rutherford, Soddy

1903 - Radioaktív
elemátalakulás, bomlási
sorok

Rutherford, Soddy



1905 - Tömeg-energia ekvivalencia
elv,
($E=mc^2$), fotoelektromos hatás
magyarázata, **Einstein**



1906 - A gammasugárzás felfedezése
P. Villard

1910 - Az elektron töltésének megmérése
Millikan

1911 - Rutherford híres alfeszórési kísérlete,
amely az atommag felfedezéséhez vezetett.

1913 - Izotópok léteznek!
J.J. Thomson

1913 - Radioaktív nyomjelzés

Hevesy György

1913 - Bohr atommodellje

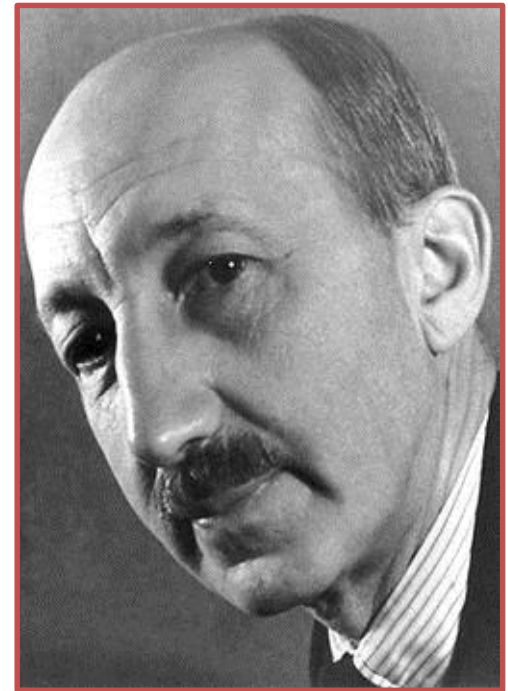
1914 - A gammasugárzás
elektromágneses sugárzás!

1919 - Az első magreakció

Rutherford ${}^4\text{He} + {}^{14}\text{N} \rightarrow {}^{17}\text{O} + {}^1\text{H}$,

1923 - Compton-effektus

1924 - Az anyag kettős természete
de Broglie



2016 apr 1

1924 - 27 Kvantummechanika, Pauli-
elv, **Heisenberg**-reláció (Dirac, Pauli,
Heisenberg, Schrödinger)

1926 - A spin felfedezése,
(Goudsmit S.A. Uhlenbeck G.E.)

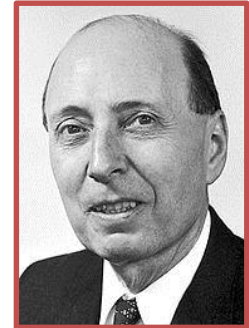
1928 - Az alfabomlás elmélete
(alagúthatás), Condon E.U. Gamow
G. Gurney R.W.

1928 - A Geiger-Müller számláló megalkotása

1930 - A neutrino létezésének feltételezése



1932 - A neutron felfedezése (Chadwick)
(ugyanabban az évben fedezték fel a deutériumot
(Urey) és a pozitront (Anderson))



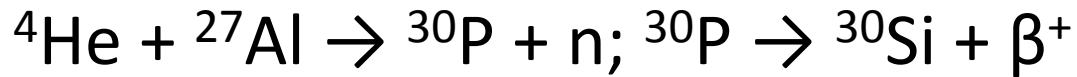
1933 - Az erős kölcsönhatás,
Wigner Jenő

1934 - „Magfúzió” ${}^2\text{H}(\text{d},\text{p}){}^3\text{H}$ és ${}^2\text{H}(\text{d},\text{n}){}^3\text{He}$
Oliphant M.L., Harteck P., Rutherford E.

1934 - **Szilárd Leó**
szabadalmaztatja a nukleáris
láncreakciót



1934 - Mesterséges radioaktivitás (Curie-ék) 2017 marc 31



1934 - A bétabomlás elmélete, a neutronbefogás
(Fermi)

1934 - A Szilárd-Chalmers-reakció

1935 - A **Weizsäcker**-formula



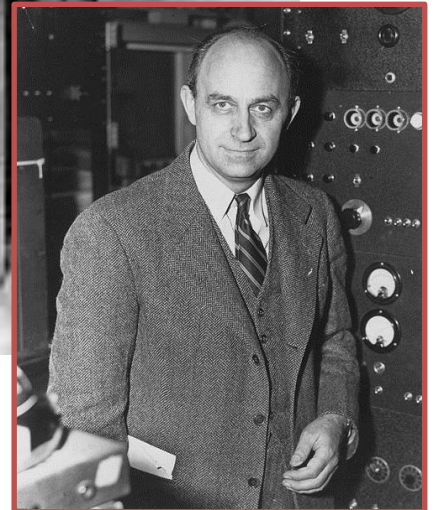
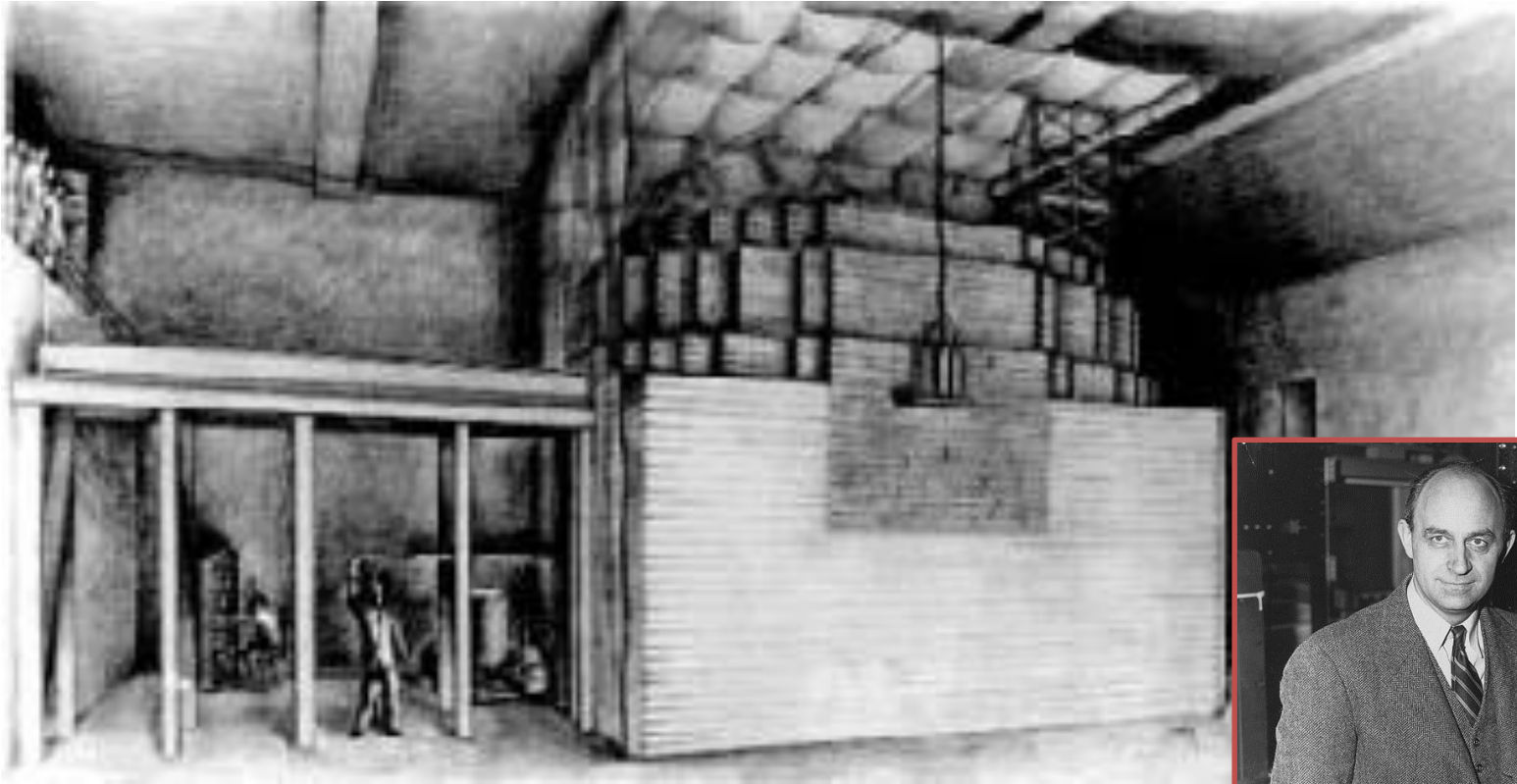
1936 - Neutronaktivációs analízis (Hevesy)

1937 - Az első mesterséges elem előállítása (Tc),
Perrier C. Segrè E.G.

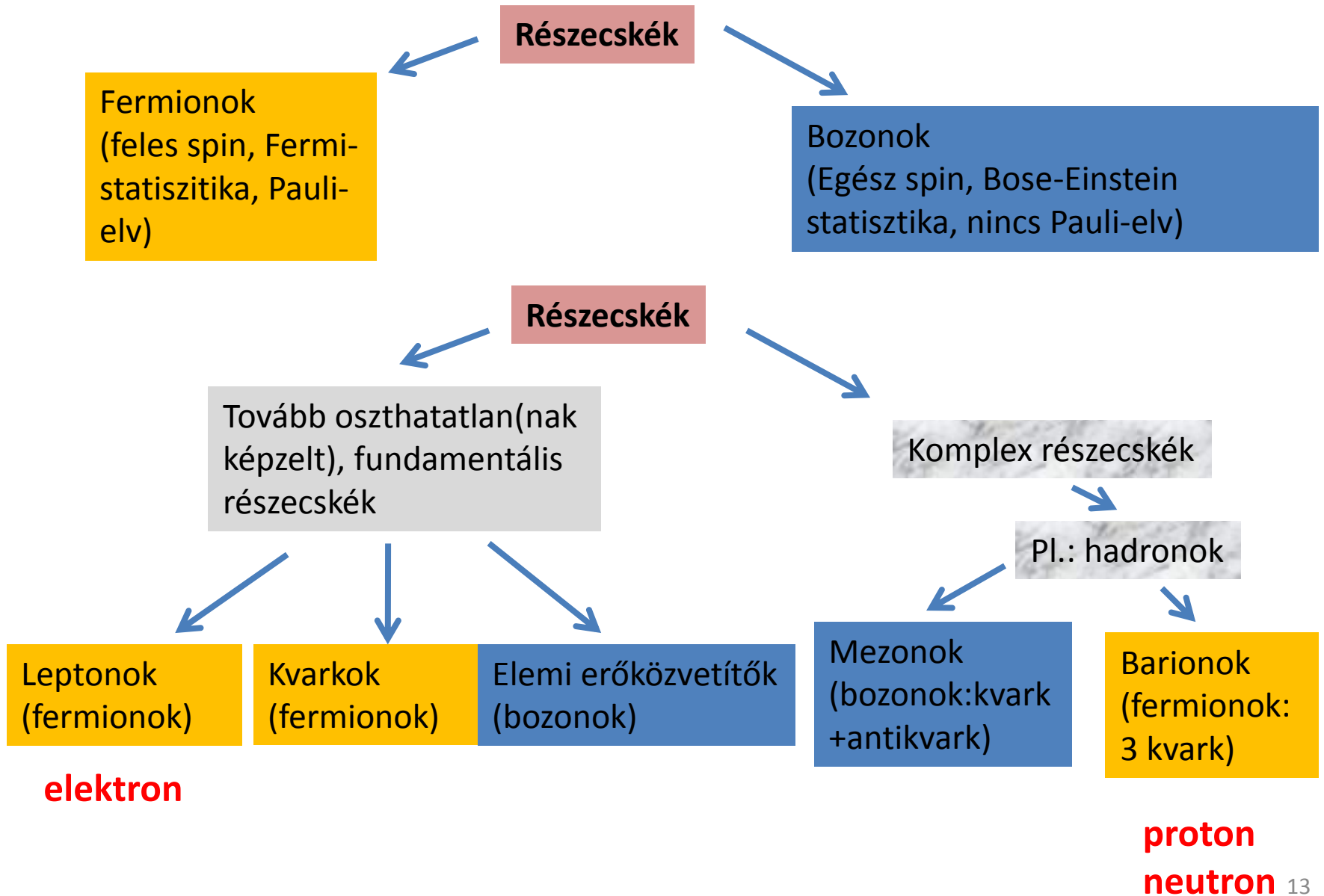
- 1937 - Az elektronbefogás felfedezése, Alvarez L.
- 1938 - A Nap energiatermelésnek elmélete
(hidrogén fúziója), Bethe, H.
- 1939 - Az indukált maghasadás, Hahn-Strassman
- 1939 - A késő neutronok felfedezése a maghasadás
során
- 1939 - A neutron mágneses momentumának
meghatározása, Alvarez R.W.m Bloch F.
- 1940 - Spontán hasadás, Flerov G.N. Petrzhak K.A.

1940 - Az első transzurán (Np)

1942 - Az első atomreaktor, **E. Fermi** és mtsai



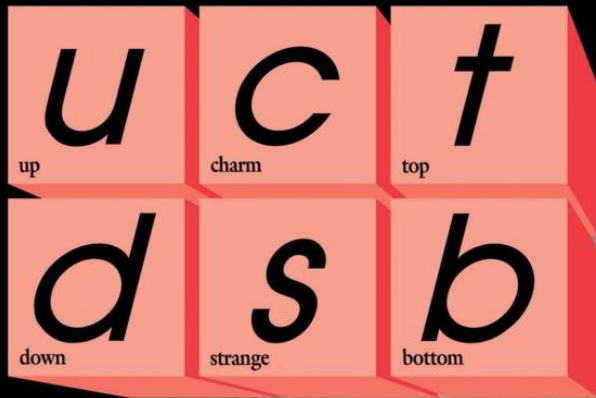
„Elemi” részecskék



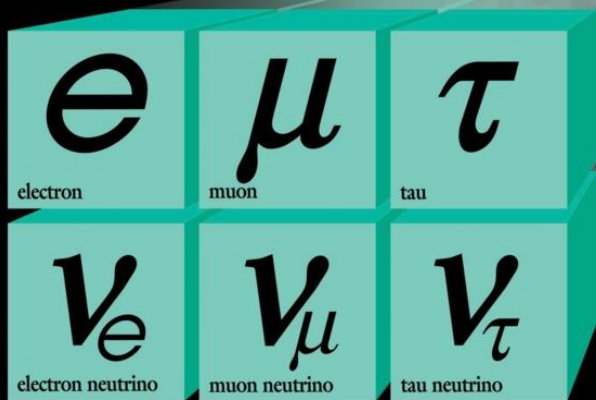
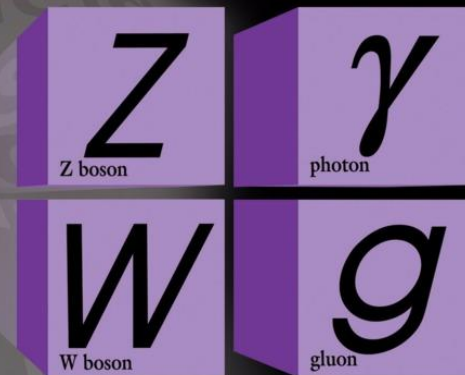
		Elemi fermionok generációi			Elemi bozonok
		I	II	III	
tömeg →		2.4 MeV	1.27 GeV	171.2 GeV	0
töltés →		$\frac{2}{3}$	$\frac{2}{3}$	$\frac{2}{3}$	0
spin →		$\frac{1}{2}$	$\frac{1}{2}$	$\frac{1}{2}$	1
név (egyéb) →		u (izospin)	c (charmness)	t (topness)	γ foton (elektromágn.)
	Kvarkok	4.8 MeV $-\frac{1}{3}$ $\frac{1}{2}$ d (izospin)	104 MeV $-\frac{1}{3}$ $\frac{1}{2}$ s (ritkaság)	4.2 GeV $-\frac{1}{3}$ $\frac{1}{2}$ b (bottomness)	0 0 1 g gluon (erős/szín)
		<2.2 eV 0 $\frac{1}{2}$ ν_e elektron- neutrínó	<0.17 MeV 0 $\frac{1}{2}$ ν_μ műon- neutrínó	<15.5 MeV 0 $\frac{1}{2}$ ν_τ tau- neutrínó	91.2 GeV 0 1 Z⁰ (gyenge)
	Leptonok	0.511 MeV -1 $\frac{1}{2}$ e elektron	105.7 MeV -1 $\frac{1}{2}$ μ műon	1.777 GeV -1 $\frac{1}{2}$ τ tau	80.4 GeV ± 1 1 W (gyenge)

Fundamentális erők közvetítő részecskéi

Quarks



Forces



Leptons

Leptonok

Gene- ráció (íz)	Lepton		Nyugalmi e. ($E_0 = m c^2$), tömeg (m)			Töltés
	Jelölés	Név	E_0/MeV	m/m_e	m/u	q/e
1.	ν_e	elektron- neutrínó	$<0,000\ 002$	$<4 \times 10^{-6}$	$<2 \times 10^{-9}$	0
	e	elektron	0,511	1	$5,486 \times 10^{-4}$	-1
2.	ν_μ	müion- neutrínó	$<0,19$	$<0,37$	$<2 \times 10^{-4}$	0
	μ	müion	106	207	0,11343	-1
3.	ν_τ	tau- neutrínó	$<18,2$	$<35,6$	$<0,02$	0
	τ	tau-lepton	1777	3477	1,908	-1

Kvarkok

Gene- ráció (íz)	Kvark		Nyugalmi e. ($E_0 = m c^2$), tömeg (m)			Töltés
	Név és jelölés	Angol név- emlékeztető	E_0/MeV	m/m_e	m/u	q/e
1 st	u	up (~fel)	2	4	0,002	+2/3
	d	down (~le)	5	10	0,005	-1/3
2 nd	c	charm (~báj)	1020	2450	1,3	+2/3
	s	strange (~furcsa)	90	190	0,1	-1/3
3 rd	t	top/truth (~felső/ igazság)	175 000	337 000	185	+2/3
	b	bottom/beauty (~alsó/ szépség)	4500	8200	4,5	-1/3

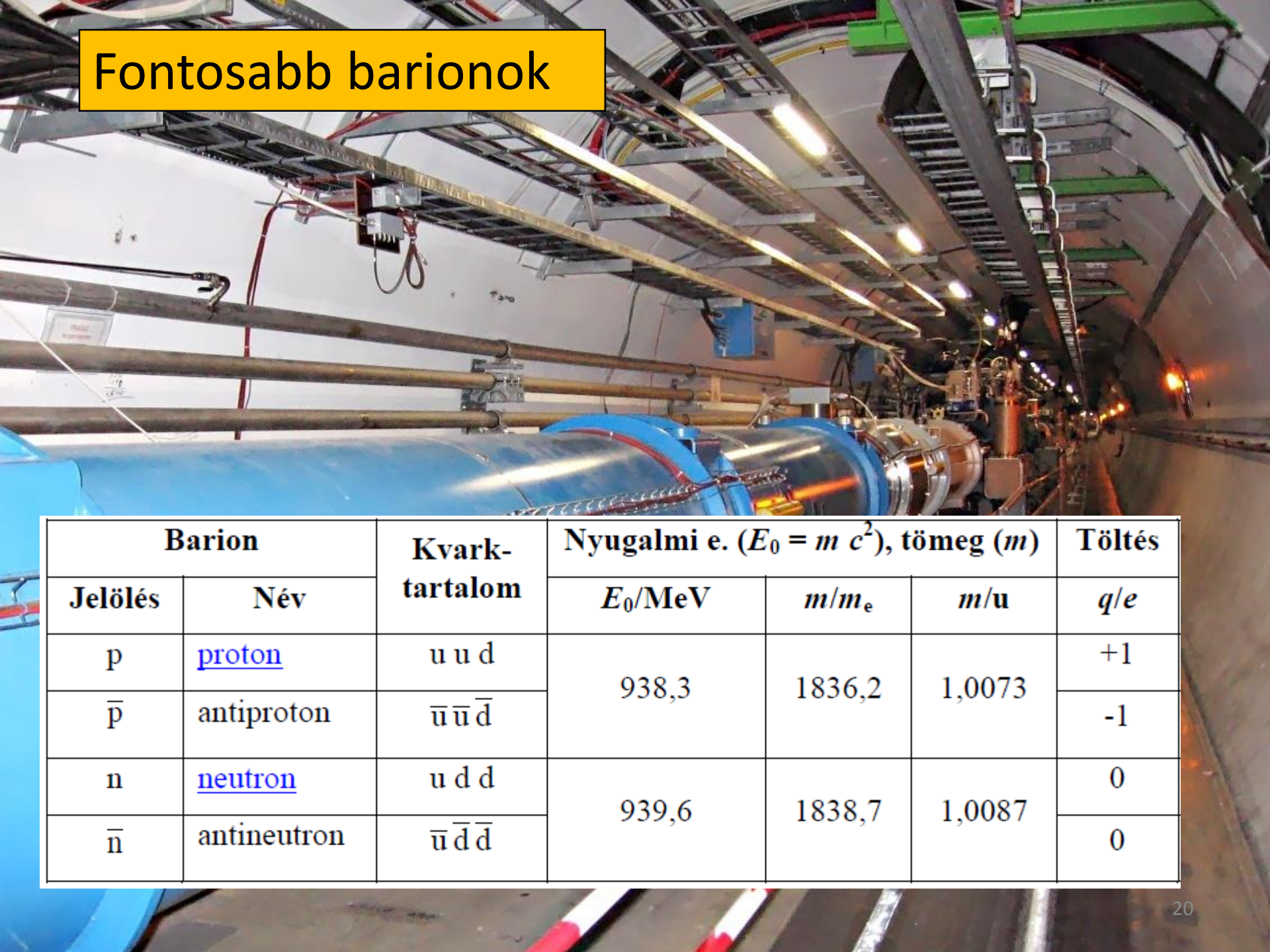
Erőközvetítő bozonok

	Közvetített erő	Bozon		Nyugalmi e. ($E_0 = m c^2$), tömeg (m)			Töltés
		Jelölés	Név	E_0/MeV	m/m_e	m/u	q/e
fundamentális	Elektromágneses	γ	foton	0	0	0	0
	Gyenge	W^-	W bozonok	80 400	157 000	86	-1
		W^+					+1
		Z^0	Z bozon	91 188	178 000	98	0
	Erős, fundament. (színkölc.)	g	gluon	0	0	0	0
komplex	Erős, reziduális (magerő)	π^\pm	pion	139,6	273,1	0,150	± 1
		π^0		135,0	264,1	0,145	0

Fundamentális kölcsönhatások

Erő:	Gravitáció	Elektrogyenge		Erős	
		Elektro- mágneses	Gyenge	Fundamentális (színkölcs.)	Reziduális (magerő)
Jellemzők					
Hatás alapja	tömeg- energia	elektromo- s töltés	íztöltés	színtöltés	reziduális szín
Érintett részecskék	valamennyi	elektromo- s töltésű	leptonok, q	q, g	hadronok
Ismert közvetítő		γ	W^+, W^-, Z^0	g	mezonok
Hatótávolság	∞	∞	$\sim 0,001$ fm	∞	~ 1 fm
Távolságtól (d) való függés	csökkenő ($\propto d^{-2}$)	csökkenő ($\propto d^{-2}$)	meredeken csökkenő	növekvő	meredeken csökkenő
Relatív erősség					
u–u 0,001 fm-nél	10^{-41}	1	0,8	25	
u–u 0,01 fm-nél	10^{-41}	1	0,0001	60	
p–p 1 fm-nél	10^{-36}	1	0,0000001		20 19

Fontosabb barionok



Barion		Kvark-tartalom	Nyugalmi e. ($E_0 = m c^2$), tömeg (m)			Töltés
Jelölés	Név		E_0/MeV	m/m_e	m/u	q/e
p	proton	u u d	938,3	1836,2	1,0073	+1
\bar{p}	antiproton	$\bar{u} \bar{u} \bar{d}$				-1
n	neutron	u d d	939,6	1838,7	1,0087	0
\bar{n}	antineutron	$\bar{u} \bar{d} \bar{d}$				0

Színtöltés - színekölcsönhatás

Barionok (qqq)



Antibarionok ($\bar{q}\bar{q}\bar{q}$)

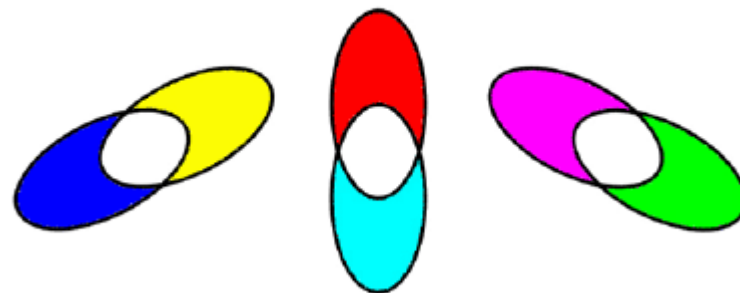
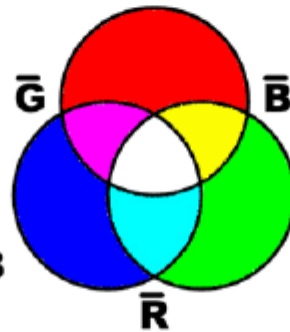


Színek



R

Antiszínek



Mezonok & antimezonok ($q\bar{q}$)

Magkémia

Az atommag tulajdonságai

Definíciók:

Nuklid (atom amelynek magjában adott számú proton és neutron található)

Izotópok (olyan nuklidok, amelyekben a protonok száma azonos)

Nukleon (proton, p , és neutron, n)

Rendszám (protonok száma, Z)

Tömegszám (a protonok és neutronok számának összege, A)

A mag tömege

$$\text{Egysége: } 1u = \frac{M(^{12}\text{C})}{12N_A} = 1.66\dots \times 10^{-24} \text{ g}$$

1 u = 1 ATE (atomi tömegegység)

Nyugalmi tömeg: m_0 Mozgó tömeg: $m = m_0 + \frac{E_{kin}}{c^2} = \frac{m_0}{\sqrt{1 - \frac{v^2}{c^2}}}$

Hogyan mérhető a mag tömege?

- Tömegspektrometria
- Magreakciók energiaanalízise
- Az alfa- és bétabomlás energiaanalízise

Példa: (a neutron tömegének meghatározása)

A neutronok nemesgáz-atomokkal ütköznek, és az átadott maximális energiát mérjük, ami a centrális ütközéshez tartozik.

Ekkor:

Impulzusmegmaradás: $m_n v = M v_M + m_n v'$

Energiamegmaradás: $\frac{1}{2} m_n v^2 = \frac{1}{2} M v_M^2 + \frac{1}{2} m_n v'^2$

kifejezve v' -t: $2v = v_M \left(1 + \frac{M}{m_n} \right)$

Beállított érték

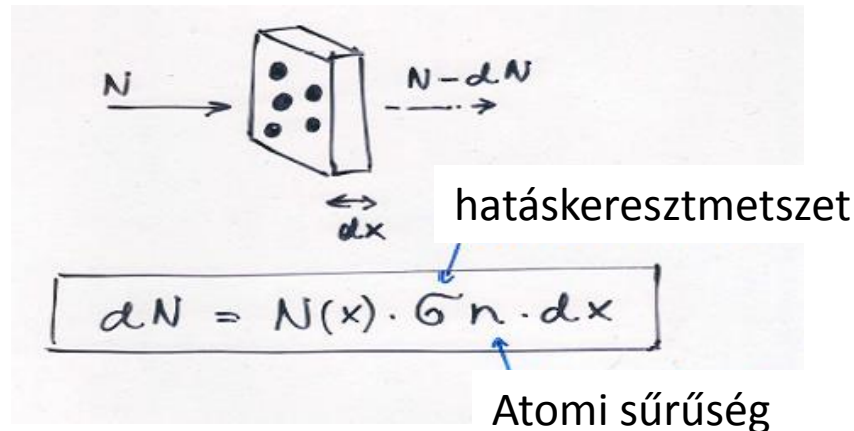
Két különböző nemesgázzal végezve ugyanazt a kísérletet (2 M érték), m_n meghatározható.

Wilson-kamrás mérés

A magsugár $R \sim 10^{-14} \text{m}$

Hogyan mérhető?

a) Gyors neutronok szóródása



eredmény:

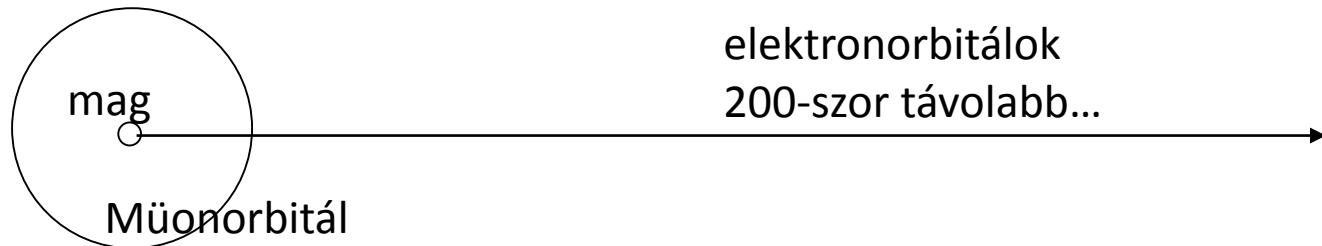
$$\sigma = R^2 \pi + R^2 \pi$$

(ez logikus) (de Broigle járulék a hullámtermészet miatt) ²⁴

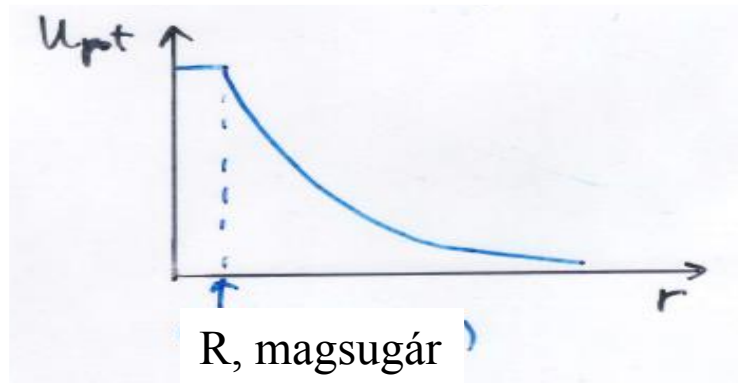
b) Müoniumatomok karakterisztikus röntgensugárzásának mérése

A K-elektronokhoz tartozó rádiusz: $(r_K)_e = \frac{\hbar^2}{Zm_e e^2}$ $m_\mu \sim 207m_e!$

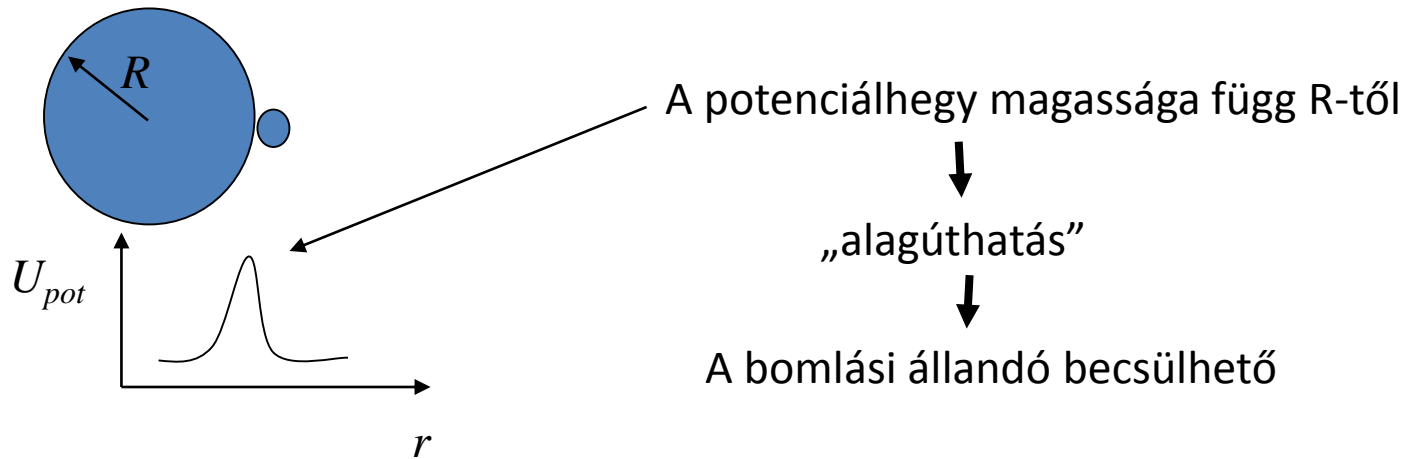
Müonium atom:



Mivel a magsugár nem elhanyagolható a müon pályasugarához képest, a müonátmenetekhez rendelhető karakterisztikus röntgensugarak energiája függ a magsugártól.



c) Alfasugárzó nuklidok felezési idejének mérése



(Az alagúthatás hullámjelenség, valójában nem is szabadna a fentihez hasonló ábrát rajzolnunk...).

Az eredmény:

$$R = r_0 A^{1/3}$$

A : tömegszám

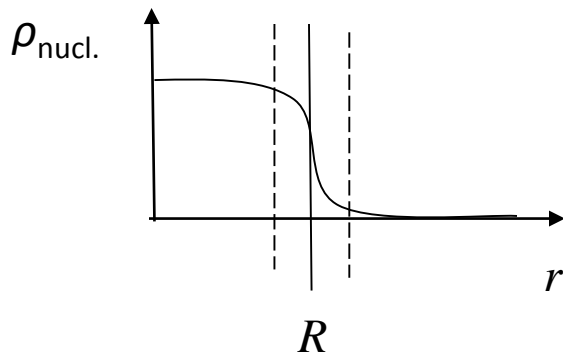
r_0 : 1.2 to 1.4 fm

(fm = femtométer, 10^{-15} m)



Egyben a maganyag sűrűségének állandóságát mutatja!

(Ez atomoknál messze nem így van!)



Többféle magsugár is definiálható, és az egyes meghatározási módszerek is ezek valamelyikét mérik.

2017 04 06

Magerők

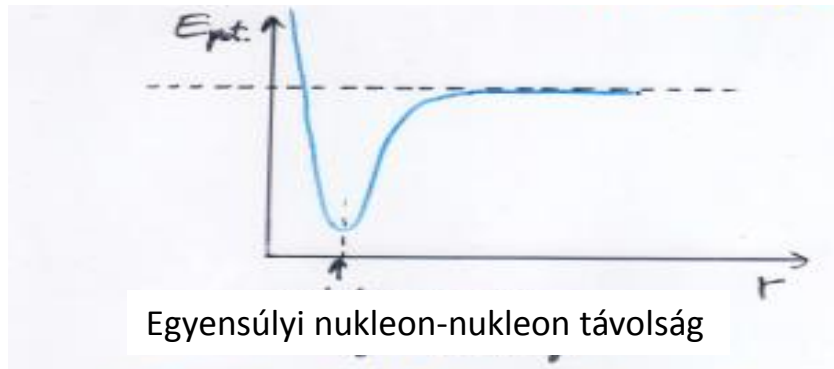
Alapvetően 4 fundamentális kölcsönhatást ismerünk: gravitációs, elektromágneses, erős, gyenge. (Standard modell)

A magot stabilizáló energiáért alapvetően a magerők felelősek. (ΔW). Ez olyan óriási, hogy tömegváltozásokból számítható:

$$\Delta M = \sum M_{nucleons} - M_{nucleus} \quad \Delta W = \Delta M c^2$$

A magerők speciális tulajdonságai:

- Szomszédos nukleonok esetén 2-3 nagyságrenddel meghaladják a Coulomb-erőket.
- Ennél távolabb viszont meredeken csökkennek (Yukawa potential):



- A magerók a magon belül telítettek, azaz lényegében csak a szomszédos nukleonokig hatnak.
- A magerók a nukleonspintől is függnnek. Pl: a deutronban a proton és a neutron spinje mindig egy irányba mutat. Nem ismerünk két protonból álló magot (a Pauli-elv érvényben van két azonos és egymáshoz nagyon közeli részecskére)
- A magstabilitás függ a protonok és neutronok számának párosságától: páros-páros>páratlan-páros>páratlan-páratlan (a stabilitás csökken) párkölcsönhatás!
- A magerók bármilyen nukleonpárosítás esetén azonosak
Kísérleti bizonyíték:

$$\Delta W({}_1^3\text{H}) - \Delta W({}_2^3\text{He}) = \frac{e^2}{\delta} = 0.75\text{MeV}$$



Ez éppen két szomszédos proton Coulomb-taszítás miatti potenciális energiája.

A magspin

A nukleonok pálya- és saját impulzusmomentumának összege!

Nukleon spin: \underline{s}

Nukleon pályamomentum: \underline{l}

A teljes impulzusmomentum: $\underline{j} = \underline{s} + \underline{l}$

A magspin:
$$\underline{I} = \sum_i \underline{j}_i = \sum_i \underline{s}_i + \sum_i \underline{l}_i$$
$$\begin{array}{ccc} & \uparrow & \uparrow \\ & \underline{S} & \underline{L} \end{array}$$

Bármelyikük abszolút értéke:

$$|X| = \hbar \sqrt{X(X+1)} \quad \hbar = \frac{h}{2\pi}$$

A mag állapotának leírásához mindhárom érték megadandó!

Betű szerinti jelölések (mint az atomszerkezetnél) L :

$$L = 0, 1, 2, 3, \dots$$
$$S, P, D, F, G, H, \dots$$

A mag teljes állapota:

$$^{2S+1}L_I$$

Példa:

$$\left. \begin{array}{l} S = 1/2 \\ L = 2 \\ I = 7/2 \end{array} \right\} \rightarrow {}^2D_{7/2}$$

Néhány egyszerű szabály a magspin értékére alapállapotban a nukleonok párossága szerint:

p-p : nulla

plan-plan: 1, 2, 3,

p-plan: 1/2, 3/2, 5/2,

A mágneses dipólusmomentum

$$\mu = g_I I \mu_N$$

g_I : giromágneses faktor

μ_N : mag magneton

$$\longrightarrow \mu_N = \frac{e\hbar}{2m_p} = 0.5051 \times 10^{-26} \text{ J / T}$$

Jóval kisebb a Bohr-magnetonnál!

A neutronnak is van mágneses momentuma...

A mag elektromos dipólusmomentuma

Nem figyelhető meg.

A mag és az elektronok kölcsönhatásának leírása

(a mag töltése az elektronok által létrehozott potenciáltérben)

$$E_C = \int \rho_{\text{mag}}(\mathbf{r}) V_{\text{el.}}(\mathbf{r}) d\tau$$

$V_{\text{el.}}$ Taylor-sorfejtésével:

$$E_C \approx V_0 \int \rho(\mathbf{r}) d\tau + \sum_{i=1}^3 \left(\frac{\partial V}{\partial x_i} \right)_0 \int \rho(\mathbf{r}) x_i d\tau + \frac{1}{2} \sum_{i,j=1}^3 \left(\frac{\partial^2 V}{\partial x_i \partial x_j} \right)_0 \int \rho(\mathbf{r}) x_i x_j d\tau$$

magtöltés
dipólusmomentum

Ebben a kifejezésben az első tag a kölcsönhatás ponttöltés közelítését írja le, az integrál maga a magtöltés.

A második tag zérus, mivel a magnak a paritás-megmaradás miatt nem lehet dipólusmomentuma.

A harmadik tag a kvadrupóluskölcsönhatást írja le.

A koordinátarendszer alkalmas elforgatásával V második deriváltját, az elektromostérgradiens-tenzort diagonalizáljuk. Ekkor E_C harmadik tagja:

$$E_3 = \frac{1}{2} \sum_{i=1}^3 \left(\frac{\partial^2 V}{\partial x_i^2} \right)_0 \int \rho(\mathbf{r}) x_i^2 d\tau \equiv \frac{1}{2} \sum_{i=1}^3 V_{ii} \int \rho(\mathbf{r}) x_i^2 d\tau$$

Ebben a kifejezésben a három térbeli koordináta tetszés szerint változik. Célszerű azonban mesterségesen elkülöníteni egy olyan tagot, amelyben a három koordináta egyenrangú, ami nem jelent mást, mint a kölcsönhatás göbbszimmetrikus részének a leválasztását. Ezt megtéve, felhasználva azt, hogy a koordináták egyenrangúsága esetén

$$r^2 = \sum_{i=1}^3 x_i^2 = 3x^2$$

$$E_3 = \frac{1}{2} \sum_{i=1}^3 V_{ii} \int \rho(\mathbf{r}) \frac{r^2}{3} d\tau + \frac{1}{6} \sum_{i=1}^3 V_{ii} \int \rho(\mathbf{r}) (3x_i^2 - r^2) d\tau$$

Mag-kvadrupólusmomentum

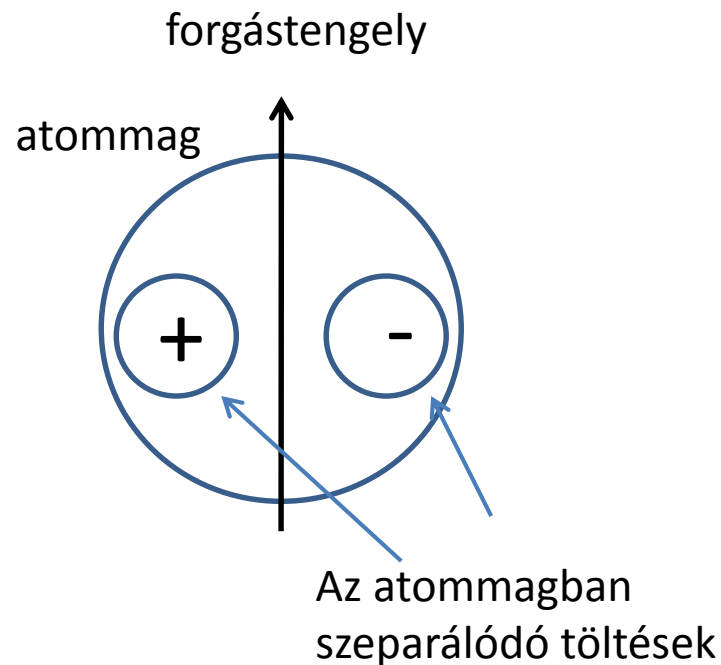
A mag göbbszimmetrikus töltéseloszlás-járuléka

Miért nincs dipólusmomentum?

Korpuszkuláris modell:

Coulomb erő: $F = k \frac{Q_1 Q_2}{r^2}$

Centrifugális erő $F = 4m\pi^2 f^2 r$



$$f = \sqrt{\frac{kQ^2}{4mr^3\pi^2}}$$

$$k \approx 8,988 \cdot 10^9 \text{ Nm}^2\text{C}^{-2}$$

$$Q = 1,602 \cdot 10^{-19} \text{ C (e}^-)$$

$$r = 5 \times 10^{-15} \text{ m}$$

$$m = 9,1 \times 10^{-31} \text{ kg (e}^-)$$

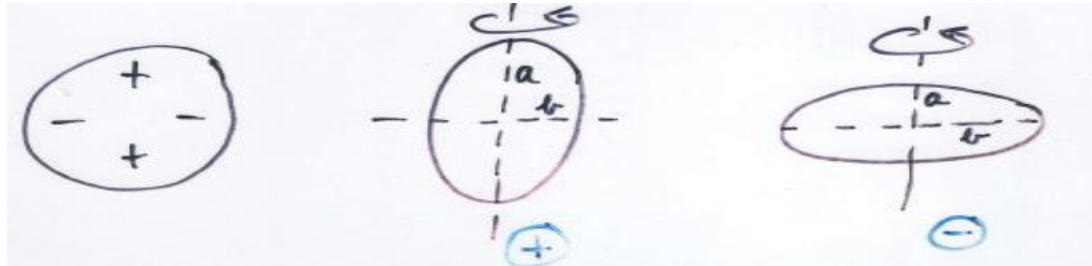
$$f = 7,2 \times 10^{21} \text{ Hz}$$

Észlelhetetlenül nagy frekvencia!

A mag kvadrupólusmomentuma

Megmutatható, hogy forgásellipszoid alakú magra:

$$\longrightarrow Q = \frac{2}{5} Z(a^2 - b^2)$$



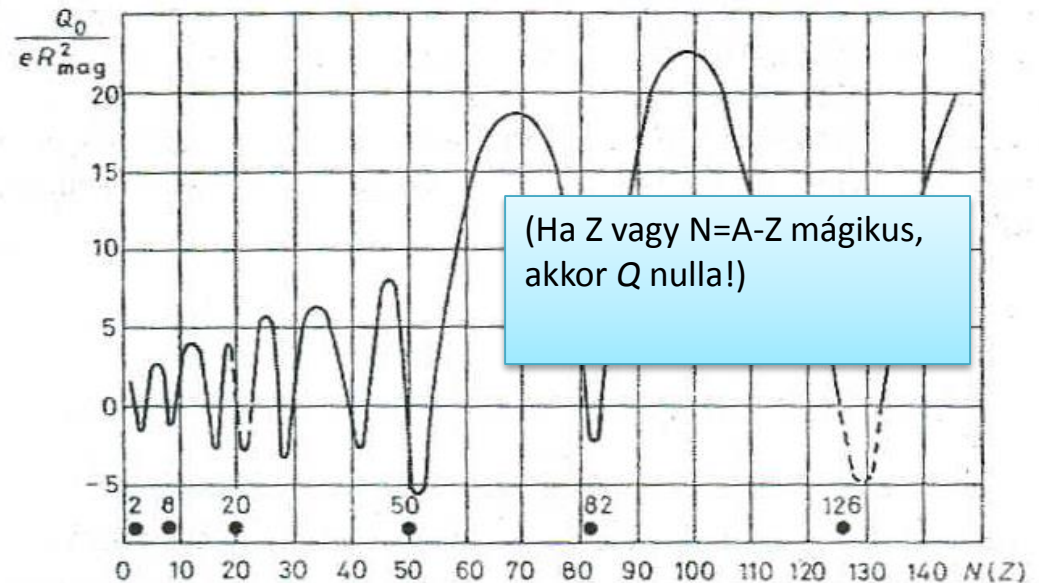
„prolát”

„oblát”

Saját kvadrupólusmomentum

Megfigyelhető
kvadrupólusmomentum

(A kettő között a magspin és a mag forgásához rendelhető impulzusmomentum teremt kapcsolatot.)



Paritás

$$P = +1 \text{ vagy } -1$$

Pozitív paritás →

$$\psi(x, y, z) = \psi(-x, -y, -z)$$

Negatív paritás →

$$\psi(x, y, z) = -\psi(-x, -y, -z)$$

A mag stabilitása:

Kvalitatív megfontolások:

neutronok száma

protonok száma

protonok és neutronok számaránya

Weizsäcker szemiempirikus formulája:

$$\Delta W = \alpha A - \beta A^{2/3} - \gamma \frac{Z^2}{A^{1/3}} - \xi \frac{(A/2 - Z)^2}{A} \pm \delta A^{-3/4}$$

Magerők a magon belül

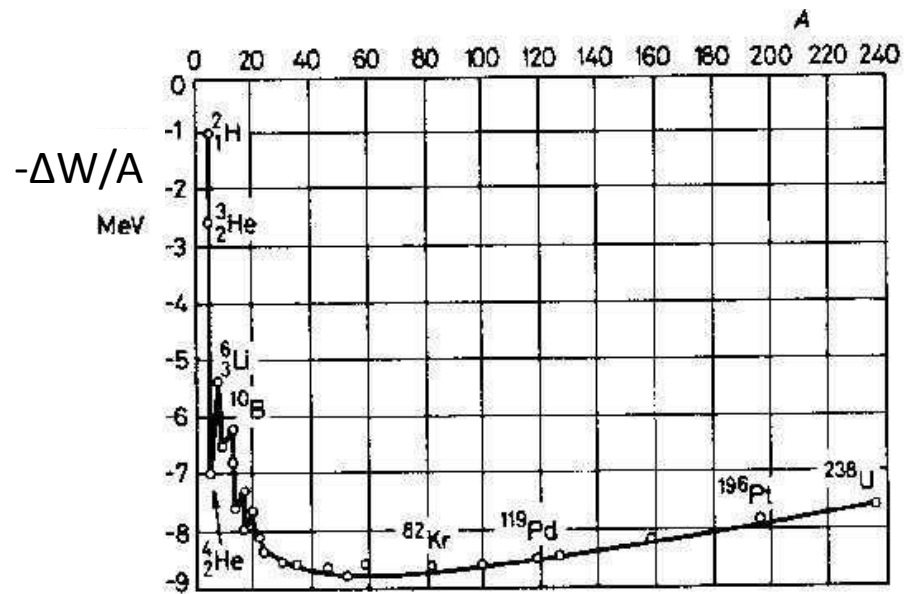
Kompenzálatlan magerők a mag felszínén

Coulomb-taszítás

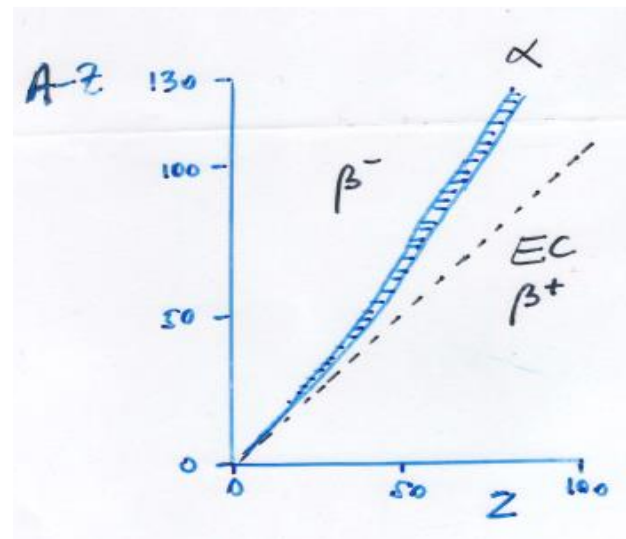
Nem egyenlő számú proton és neutron

Párkölcönhatás(p-p esetén pozitív, plan-plan esetén negatív)

Egy nukleonra jutó kötési energia ($\alpha = \Delta W/A$)



(A-Z) - Z diagram vázlatosan:

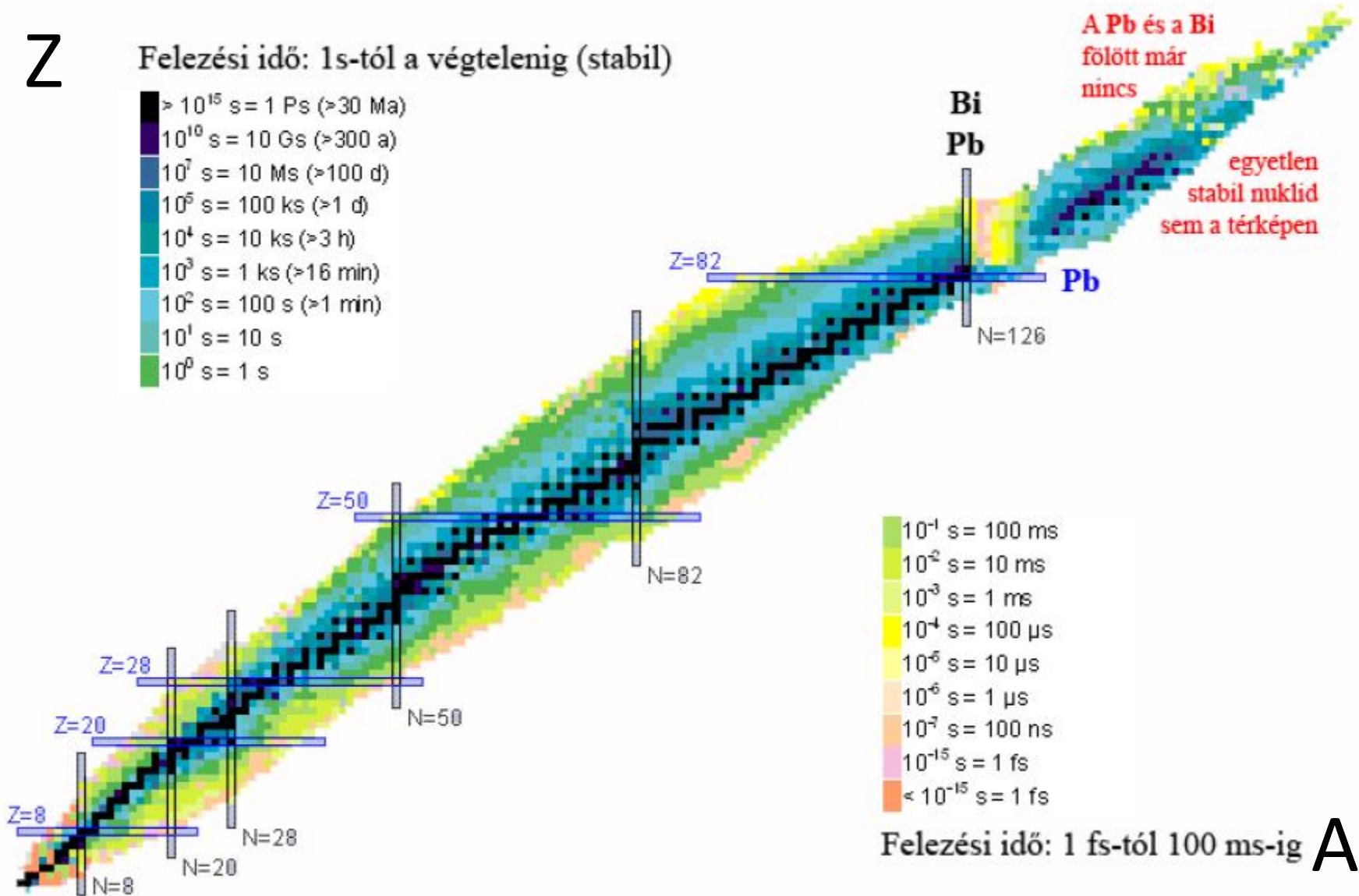


Z- A-Z diagram egy kicsit részletesebben:

Z

Felezési idő: 1s-tól a végtelenig (stabil)

- > 10^{15} s = 1 Ps (>30 Ma)
- 10^{10} s = 10 Gs (>300 a)
- 10^7 s = 10 Ms (>100 d)
- 10^5 s = 100 ks (>1 d)
- 10^4 s = 10 ks (>3 h)
- 10^3 s = 1 ks (>16 min)
- 10^2 s = 100 s (>1 min)
- 10^1 s = 10 s
- 10^0 s = 1 s

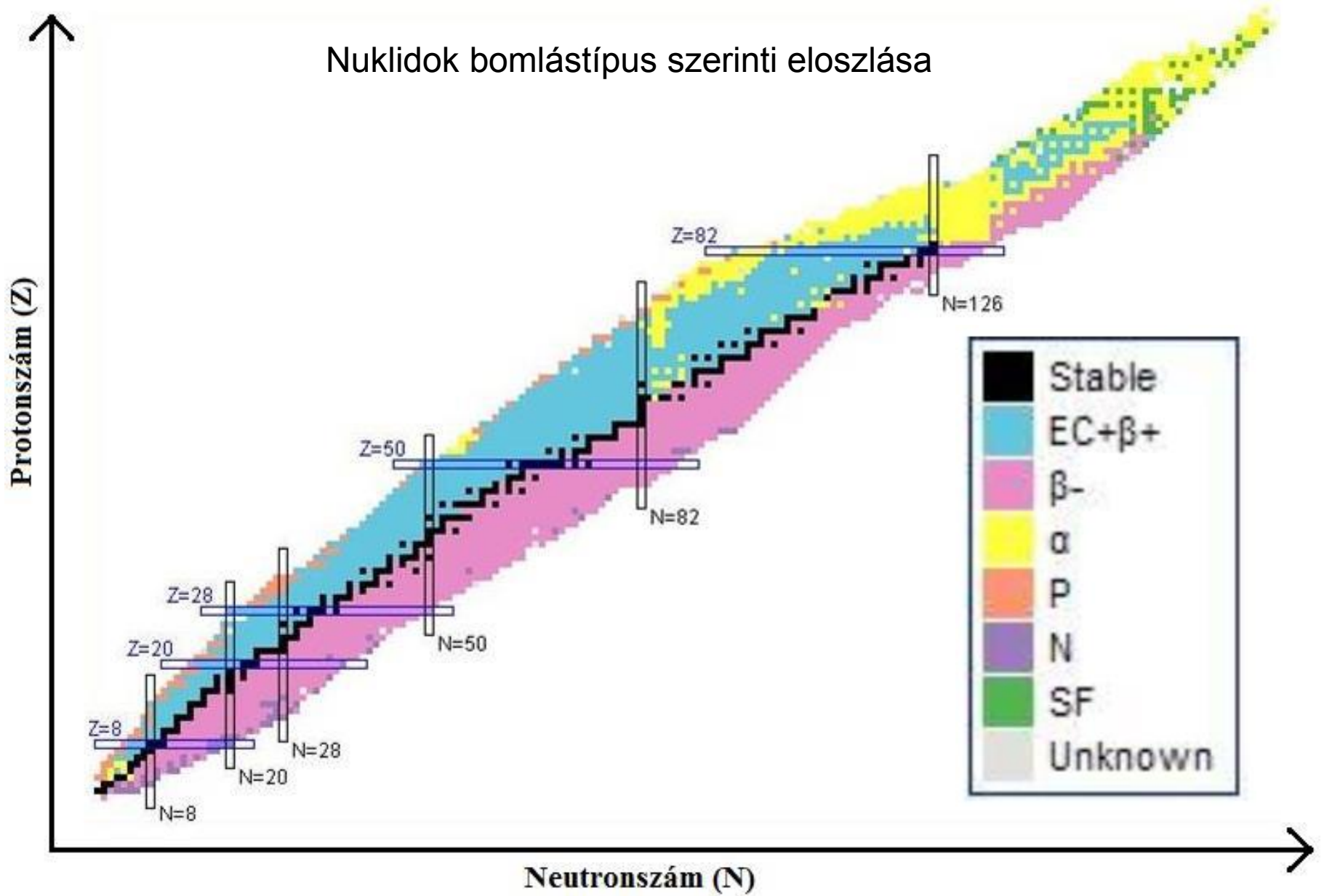


A Pb és a Bi fölé már nincs

egyetlen stabil nuklid sem a térképen

Felezési idő: 1 fs-től 100 ms-ig A-Z

Nuklidok bomlástípus szerinti eloszlása



Magmodellek:

1. A cseppmodell

Ezt támasztják alá:

- Konstans sűrűség
- A maghasadás jelensége
- $\Delta W/A$ nagyjából konstans (a könnyű nuklidok kivételek)

2. A héjmodell

Ezt támasztják alá:

- Mágikus számok (2, 8, 20, 28, 50, 82)
- A kvadrupólusmomentum értékei, változása (pl. mágikus számoknál nulla)

3. Kevert modellek....

A radioaktív bomlás

(Becquerel, 1896)

α -bomlás



Atomi elektron

Bomlási energia (Q)

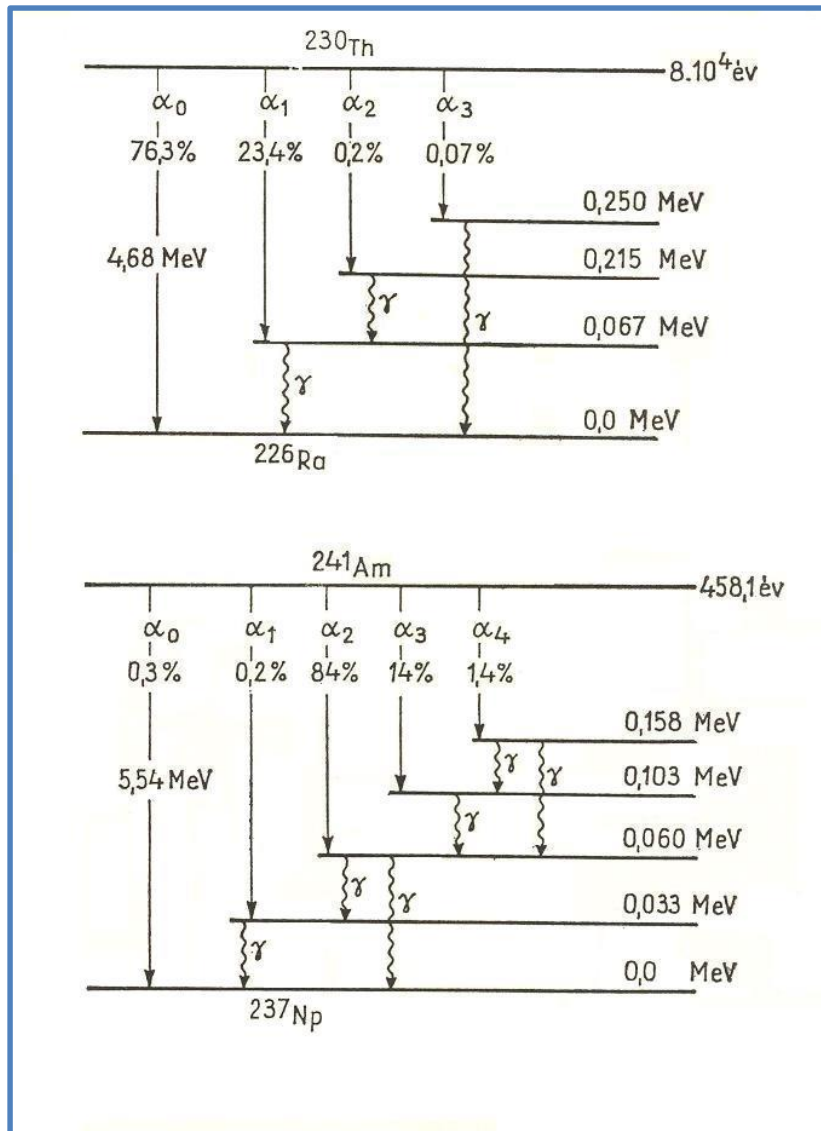
$$Q = \Delta A_r \times 931.5 \text{ (MeV)} \quad (A_r: \text{relatív atomtömeg})$$

- Alagúthatás
- Geiger-Nuttal-szabály
- Diszkrét spektrum

$$\lg \lambda = a + b \lg R_1$$

Hatótávolság levegőben

Tipikus α -bomlási sémák:



β -bomlás

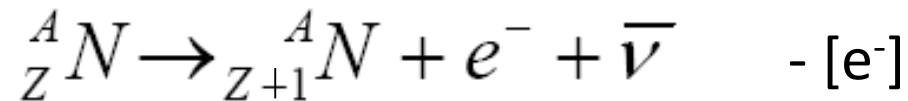
3 altípusa létezik:

β^+

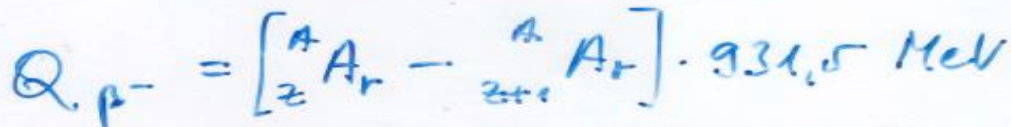
β^-

EC (elektronbefogás)

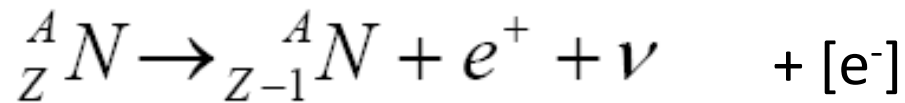
Negatív bétabomlás:



2017.Apr 7.


$$Q_{\beta^-} = \left[{}^A_Z A_r - {}^A_{Z+1} A_r \right] \cdot 931,5 \text{ MeV}$$

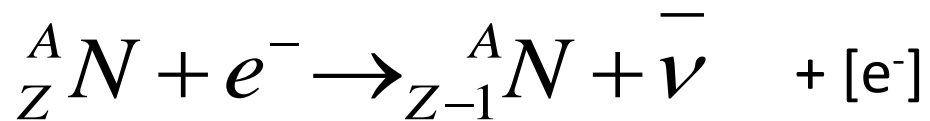
Pozitív bétabomlás



$$Q_{\beta^+} = [{}^A_Z Ar - {}^A_{Z-1} Ar] \cdot 931,5 - \underline{1,02} \text{ MeV}$$

2 elektron nyugalmi tömege

Elektronbefogás

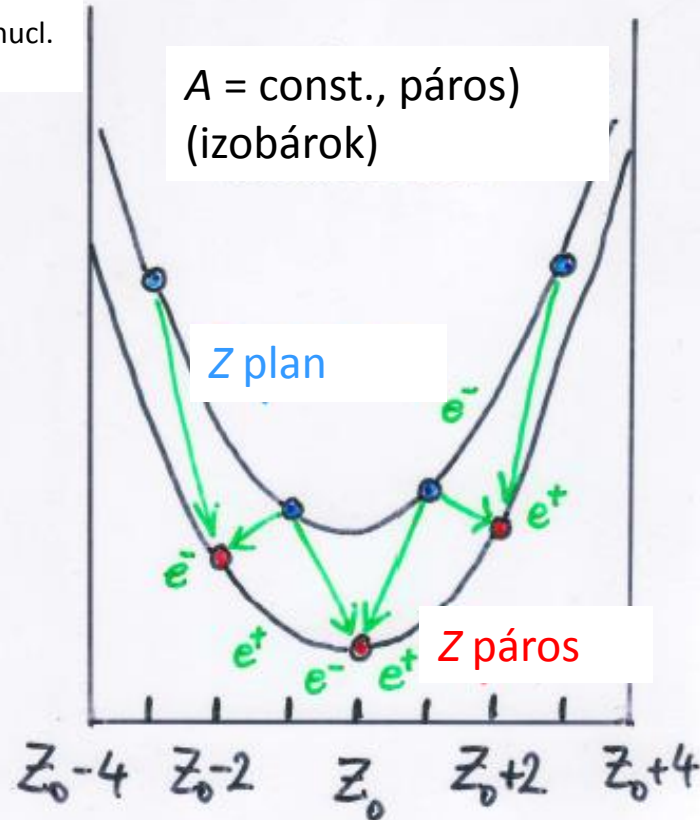


$$Q_{EC} = [{}^A_Z Ar - {}^A_{Z-1} Ar] \cdot 931,5 \text{ MeV}$$

Miért nem csak az elektronbefogás megy végbe?

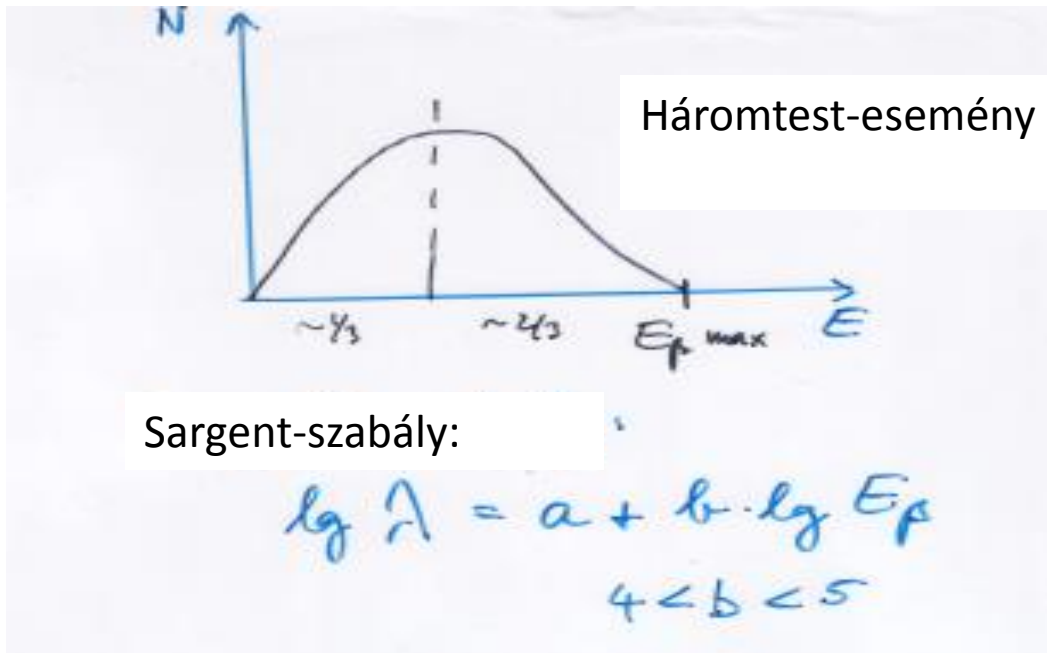
$M_{\text{nucl.}}$

$A = \text{const., páros}$
(izobárok)



$$M = Z \cdot m_{p^+} + (A - Z) m_n - \alpha A + \beta A^{2/3} + \gamma \frac{Z^2}{A^{4/3}} + \delta \frac{(A/2 - Z)^2}{A} - \left[\begin{array}{c} \delta \\ \delta \end{array} \right] A^{-3/4}$$

A neutrínó létezésének bizonyítéka:



Proton- és neutron-bomlás

Csak magasan gerjesztett atommagok produkálják (pl. hasadás után).

2016 apr 8

Spontán hasadás

$$Q_{fission} = 0.18A^{2/3} \left(5.2 - 0.117 \frac{Z^2}{A} \right) \quad (\text{MeV})$$

Végbemehet, ha $Z^2/A > 44.5$

Izomer átmenet

Gerjesztett atommagok legerjesztődése gamma kvantum kibocsátásával

- Analóg az atomi folyamatokkal, amikor elektronok gerjesztett állapota szűnik meg (UV, látható, röntgen)
- A felezési idők általában nagyon rövidek
– van néhány kivétel (^{119m}Sn)

- Belső konverzió (hullámjelenség!) $\alpha = \frac{P_{electron}}{P_{gamma}}$



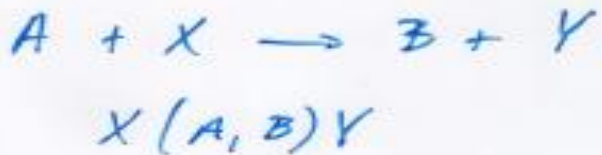
Magreakciók

neutronokkal

Töltött részecskékkel

γ -fotonokkal

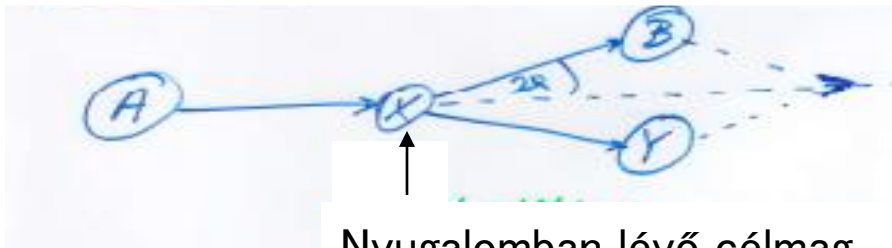
Jelölések:



Példa:



A magreakciók energiája (Q):



Nyugalomban lévő célmag

$$E_A + Q = E_B + E_Y \quad \leftarrow \text{Energiamegmaradás}$$

$$p_Y^2 = p_A^2 + p_B^2 - 2p_A p_B \cos \gamma \quad \leftarrow \text{Impulzusmegmaradás}$$

$$Q = \left(1 + \frac{m_B}{m_Y}\right) E_B - \left(1 - \frac{m_A}{m_Y}\right) E_A - 2 \frac{\sqrt{m_B m_A E_B E_A}}{m_Y} \cos \vartheta$$

Jelentősége: A részecskék tömege jól meghatározható. Az energiákat Wilson-kamra segítségével mérik.

Néhány egyéb megmaradási törvény, amely figyelembe veendő:

Impulzusmomentum

Elektromos töltés

Bariontöltés (nukleonok száma)

Paritás (magerők és elektromágneses kölcsönhatás esetén)

Reakciógátak

Visszalökődési gát



$$E_A + Q = E_{AX}$$

$$E_A m_A = E_{AX} (m_A + m_X)$$

$$Q = E_A \left(1 - \frac{m_A}{m_A + m_X} \right) \quad \text{Tehát } E_A \text{ nagyobb kell, hogy legyen, mint } Q!$$

Elektrosztatikus gát

$$V = \frac{Z_A Z_X e^2}{r} \quad (r = R_A + R_X)$$

Centrifugális gát



$$\frac{L_A^2}{2\Theta_A} = \frac{\hbar^2 (l+1)l}{2m_A d^2} \xrightarrow{l=1} \frac{\hbar^2}{m_A (R_A + R_X)^2}$$

Magreakciók mechanizmusai

Direkt reakciók

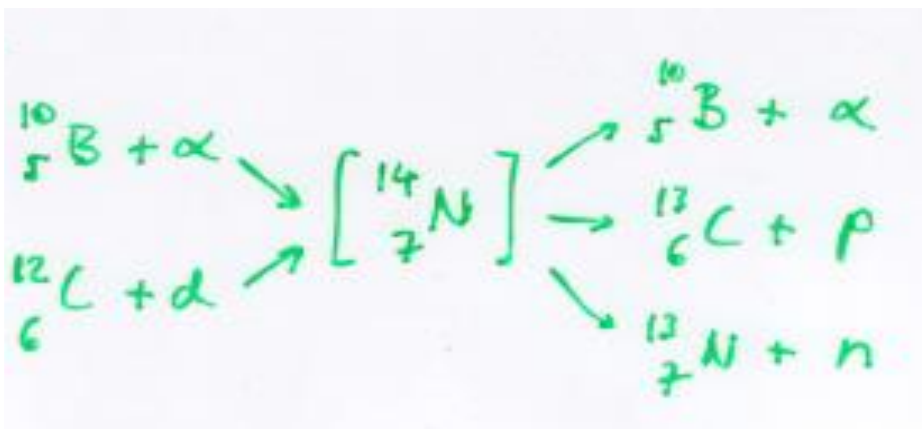
$$E_A > 50 \text{ MeV}$$

Átmeneti mag képződésével járó reakciók

$$E_A < 50 \text{ MeV}$$

Hogyan különböztethetők meg?

- Termékek szögeloszlása
- Reakcióutak összehasonlítása

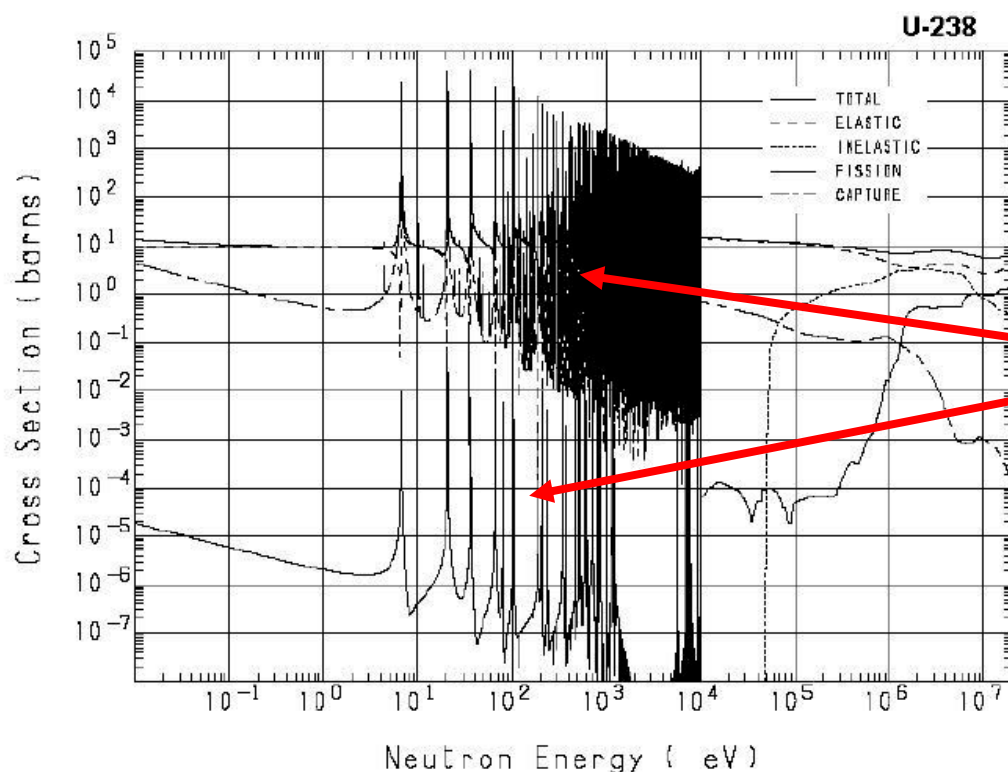


Magreakciók típusai

Neutronokkal kiváltott reakciók

Nincs elektrosztatikus gát! → Termikus reakciók

1/v törvény (minél hosszabb ideig tartózkodik a neutron a magban, annál nagyobb a reakció valószínűsége)



↳ Korpuzkuláris jelenség!

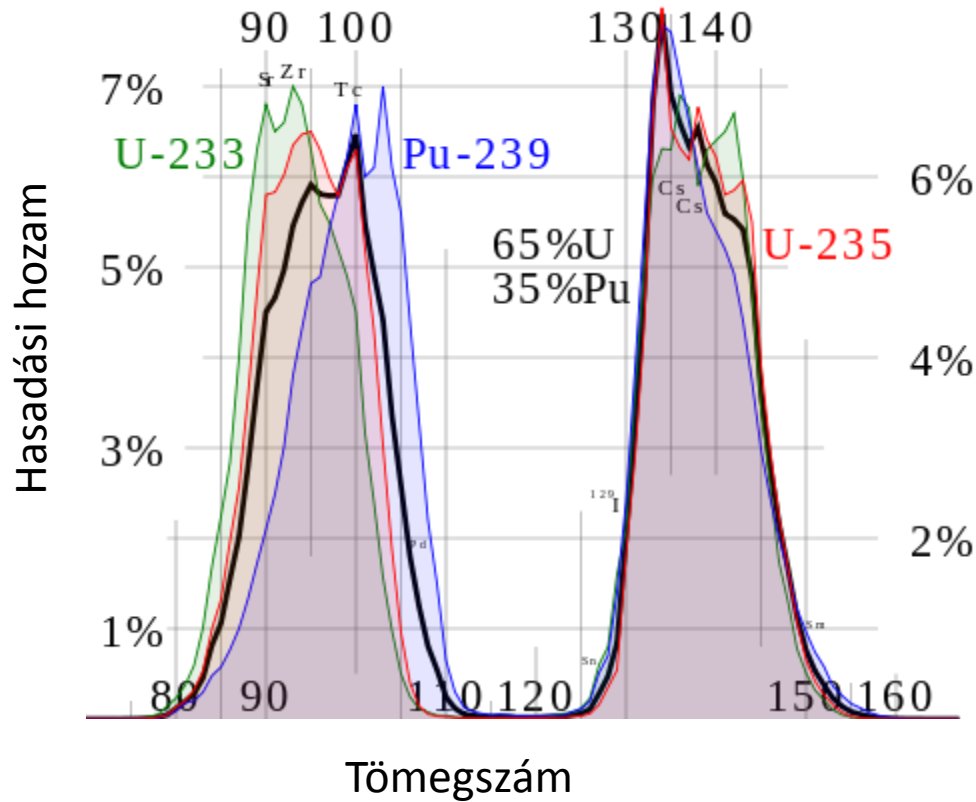
Az erős rezonanciák hullámtermészetű események!

forrás:
<https://netfiles.uiuc.edu/mragheb/www/NPRE%20402%20ME%20405%20Nuclear%20Power%20Engineering/Neutron%20Cross%20Sections.pdf>

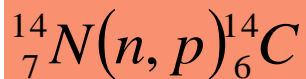
(n;γ) reakciók

A neutronaktivációs analízisnél van jelentősége

(n; fission)

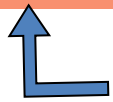


Forrás: Wikipedia



C-14 képződése a felső légkörben

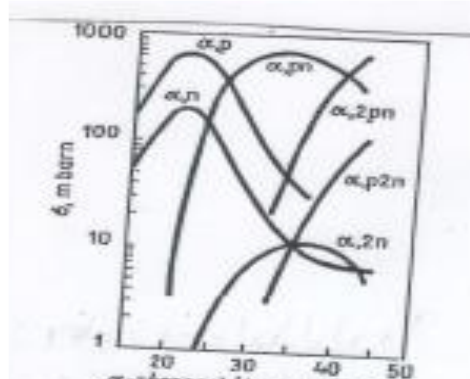
2017 április 20



Nagy energiájú kozmikus protonok reakcióiból (100 GeV fölött!)

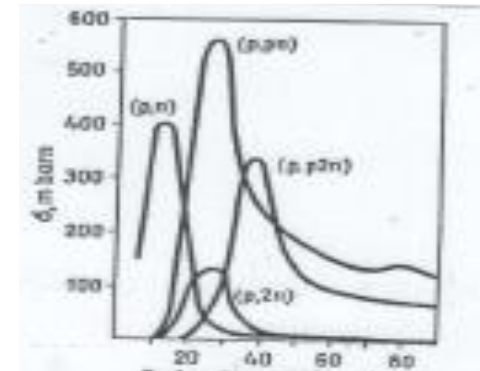
Reakciók töltött részecskékkel

α -részecskékkel:



Energy (MeV)

protonokkal:



Energy (MeV)

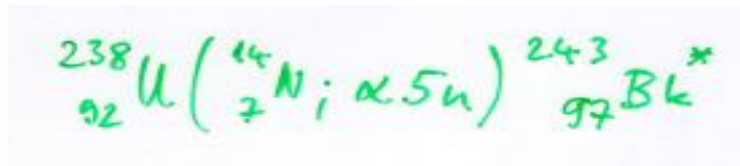
deuteronokkal:

Phillips-Oppenheimer mechanizmus (mára cáfolták....)

Nehéz ionokkal:

Transzuránok előállítása

Pl:

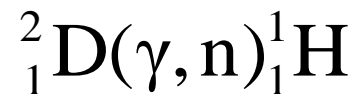


Reakciók γ -fotonokkal

Tipikusan 10 MeV fölött!

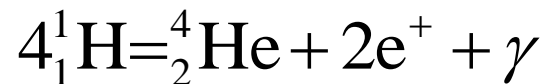
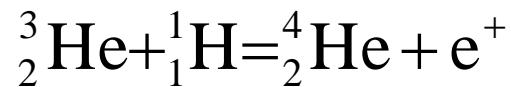
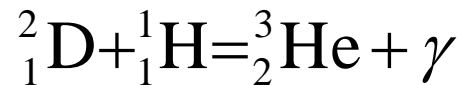
Természetes gammasugárzók nem aktiválják a besugárzott anyagokat, azaz nem teszik azokat radioaktívvá!

Egy ritka kivétel:



(A ${}^{228}\text{Th}$ 2.6 MeV-es γ -sugárzásával. A neutronok aktiválhatják a mátrixot csekély mértékben.)

Termonukleáris reakciók



+ 25 MeV!

A radioaktív bomlás kinetikája

Cél: A még el nem bomlott nuklidok számának kiszámítása tetszőleges időre.

Legyen annak valószínűsége, hogy egy nuklid Δt idő alatt elbomlik p :

$$p = \lambda \Delta t$$

↙
Bomlási állandó

Annak valószínűsége, hogy ugyanezen idő alatt a nuklid nem bomlik el:

$$1 - p = 1 - \lambda \Delta t$$

$t = n \Delta t$ egymást követő időintervallumokra a független valószínűségek alapján:

$$p(t) = (1 - p)^n = \left(1 - \lambda \frac{t}{n}\right)^n$$

Végtelenül sűrű felosztás esetén (n végtelen):

$$\lim_{n \rightarrow \infty} \left(1 - \frac{t\lambda}{n} \right)^n = \exp(-\lambda t)$$

Tetszőleges N_0 számú nukliból kiindulva így:

$$N_t = N_0 \exp(-\lambda t)$$

A monomolekulás reakciók szokásos elsőrendű kinetikájával operálva ugyanezt az eredményt kapjuk:

$$\begin{aligned} -\frac{dN}{dt} &= \lambda N \\ \frac{dN}{N} &= -\lambda dt \\ \int_{N_0}^N \frac{1}{N} dN &= -\lambda \int_0^t dt \\ [\ln N]_{N_0}^N &= -\lambda t \\ \ln N - \ln N_0 &= -\lambda t \\ \ln \frac{N}{N_0} &= -\lambda t \\ N &= N_0 e^{-\lambda t} \end{aligned}$$

Vigyázat! Ez a sebességi állandó nem írható fel a termikus folyamatokra megszokott módon!

2015 apr 21

A bomlás sebessége:

$$-\frac{dN}{dt} = \lambda N = N_0 \lambda \exp(-\lambda t)$$

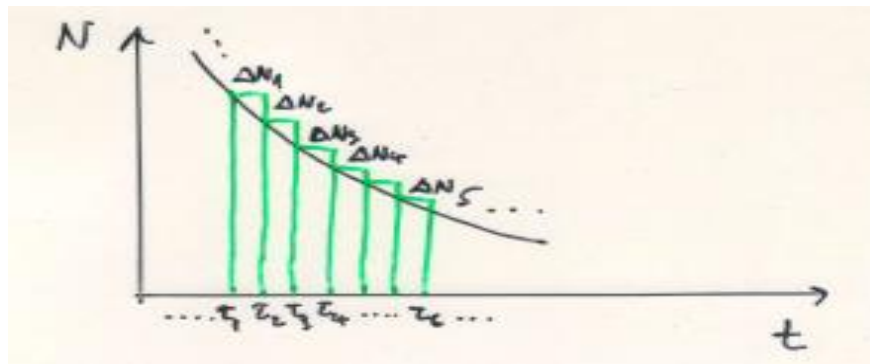
Ezt nevezük **abszolút aktivitásnak** (időegységenként bekövetkező bomlások száma)

SI egység: 1 becquerel (1Bq) - 1 bomlás per 1 másodperc (s^{-1})

Felezési idő ($t_{1/2}$):

$$\frac{N_0}{2} = N_0 e^{-\lambda t_{1/2}} \quad \longrightarrow \quad \lambda = \frac{\ln 2}{t_{1/2}}$$

Átlagos élettartam:



$$\bar{\tau} = \frac{\tau_1 \Delta N_1 + \tau_2 \Delta N_2 + \dots + \tau_n \Delta N_n + \dots}{\underbrace{\sum \Delta N_n}_{N_0}}$$

$$\bar{\tau} = \frac{1}{N_0} \cdot \sum_{n=0}^{\infty} \tau_n \Delta N_n \xrightarrow{\Delta N \rightarrow 0} \frac{1}{N_0} \int_{N_0}^0 \tau dN$$

Mivel:

$$\frac{dN}{dt} = -\lambda N \quad \text{és így} \quad dN = -\lambda N dt = -\lambda N_0 e^{-\lambda t} dt,$$

végül:

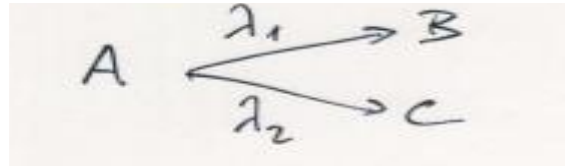
$$\bar{\tau} = -\frac{1}{N_0} \int_{\tau=0}^{\tau=\infty} \lambda N_0 \tau e^{-\lambda \tau} d\tau = -\lambda \int_0^{\infty} \tau e^{-\lambda \tau} d\tau$$

↓
Az integrált táblázatból kikeresve:

$$\bar{\tau} = \int_0^{\infty} \frac{t \lambda N dt}{N_0} = \int_0^{\infty} t \lambda e^{-\lambda t} dt = \lambda \left[\frac{e^{-\lambda t}}{\lambda^2} (-\lambda t - 1) \right]_0^{\infty} = \frac{1}{\lambda}$$

A bomlások speciális esetei:

Elágazó bomlás:



Az A nuklid bomlása:

$$-\frac{dN}{dt} = (\lambda_1 + \lambda_2)N$$

Ebből:

$$\frac{dN}{N} = -(\lambda_1 + \lambda_2)dt$$

Így ha 0 időpontban N_0 mennyiség volt A-ból:

$$N = N_0 e^{-(\lambda_1 + \lambda_2)t}$$

Bármely időpillanatra igaz, hogy a két leányelem mennyiségének összege megegyezik az elbomlott magok számával:

$$N_B + N_C = N_0 - N = N_0 \left(1 - e^{-(\lambda_1 + \lambda_2)t}\right)$$

A leányelemek keletkezésének sebessége:

$$\frac{dB}{dt} = \lambda_1 N = \lambda_1 N_0 e^{-(\lambda_1 + \lambda_2)t}$$

$$\frac{dC}{dt} = \lambda_2 N = \lambda_2 N_0 e^{-(\lambda_1 + \lambda_2)t}$$

Integrálva $t=0$ és $t=\infty$ között:

$$B = \left[-\frac{\lambda_1}{\lambda_1 + \lambda_2} N_0 e^{-(\lambda_1 + \lambda_2)t} \right]_0^\infty$$

$$C = \left[-\frac{\lambda_2}{\lambda_1 + \lambda_2} N_0 e^{-(\lambda_1 + \lambda_2)t} \right]_0^\infty$$

Amiből:

$$B = \frac{\lambda_1}{\lambda_1 + \lambda_2} N_0$$

illetve:

$$C = \frac{\lambda_2}{\lambda_1 + \lambda_2} N_0$$

Így a logikusan is elvárható:

$$\frac{B}{C} = \frac{\lambda_1}{\lambda_2}$$

Eredmény adódik.

Konszekutív bomlás:



A kérdés A és B aktivitása.

Az A aktivitása egyszerűen számítható, hiszen csak saját bomlásáról van szó:

$$A_A = \lambda_1 N_A = \lambda_1 N_{0,A} e^{-\lambda_1 t}$$

A B aktivitása már kissé komplikáltabb, mivel keletkezik A-ból, miközben önmaga bomlik:

$$\frac{dN_B}{dt} = \lambda_1 N_A - \lambda_2 N_B$$

Behelyettesítve:

$$\frac{dN_B}{dt} = \lambda_1 N_{0,A} e^{-\lambda_1 t} - \lambda_2 N_B$$

Lineáris inhomogén elsőrendű differenciálegyenlet

Lásd megoldóképlet táblázatból....

$$N_B = \frac{\lambda_1}{\lambda_2 - \lambda_1} N_{0,A} \left[e^{-\lambda_1 t} - e^{-\lambda_2 t} \right]$$

Aktivitásokkal felírva:

$$A_B = N_B \lambda_2 = \frac{\lambda_2 \lambda_1}{\lambda_2 - \lambda_1} N_{0,A} \left[e^{-\lambda_1 t} - e^{-\lambda_2 t} \right]$$

A leányelem aktivitásának mindig lesz egy maximuma, ez akkor következik be, amikor matematikailag:

$$\frac{dN_B}{dt} = -\frac{\lambda_1 \lambda_1}{\lambda_2 - \lambda_1} N_{0,A} e^{-\lambda_1 t} + \frac{\lambda_1 \lambda_2}{\lambda_2 - \lambda_1} N_{0,A} e^{-\lambda_2 t} = 0$$

Ebből:

$$t_{\max} = \frac{1}{\lambda_1 - \lambda_2} \ln \frac{\lambda_1}{\lambda_2}$$



A bomlási állandók arányától függően radiokatív egyensúlyok alakulhatnak ki.

Mozgó (tranzien) egyensúly.

Feltétel:

$$\lambda_1 < \lambda_2$$

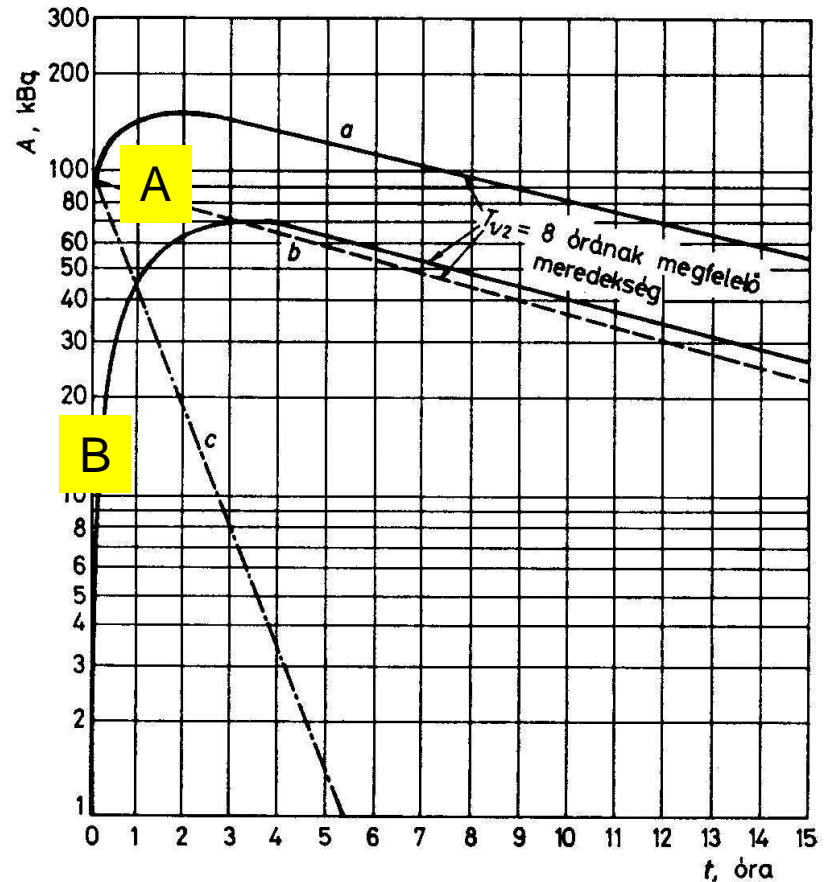
Ekkor bizonyos t idő eltelte után:

$$N_B \cong \frac{\lambda_1}{\lambda_2 - \lambda_1} N_{0,A} e^{-\lambda_1 t}$$

$$N_B = \frac{\lambda_1}{\lambda_2 - \lambda_1} N_A$$

$$A_B = \frac{\lambda_2}{\lambda_2 - \lambda_1} A_A$$

Az aktivitások aránya állandó!



Örök (szekuláris) egyensúly.

Feltétel:

$$\lambda_1 \ll \lambda_2$$

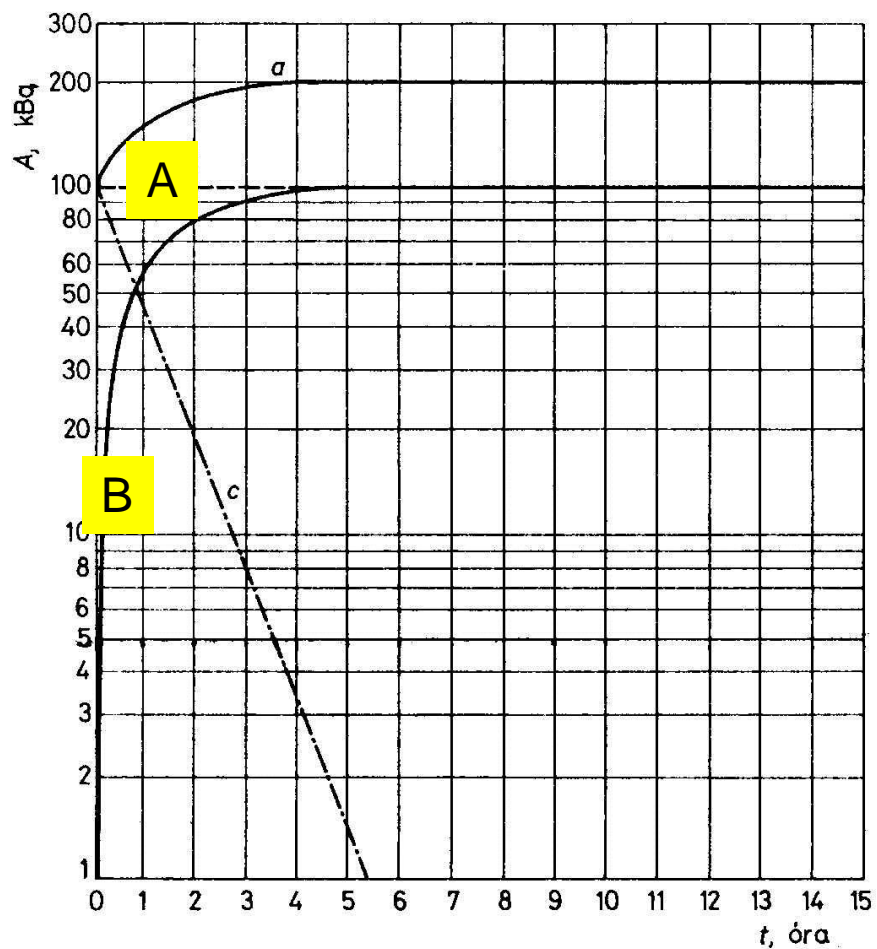
Ekkor bizonyos t idő eltelte után:

$$N_B = \frac{\lambda_1}{\lambda_2} N_{0,A} e^{-\lambda_2 t}$$

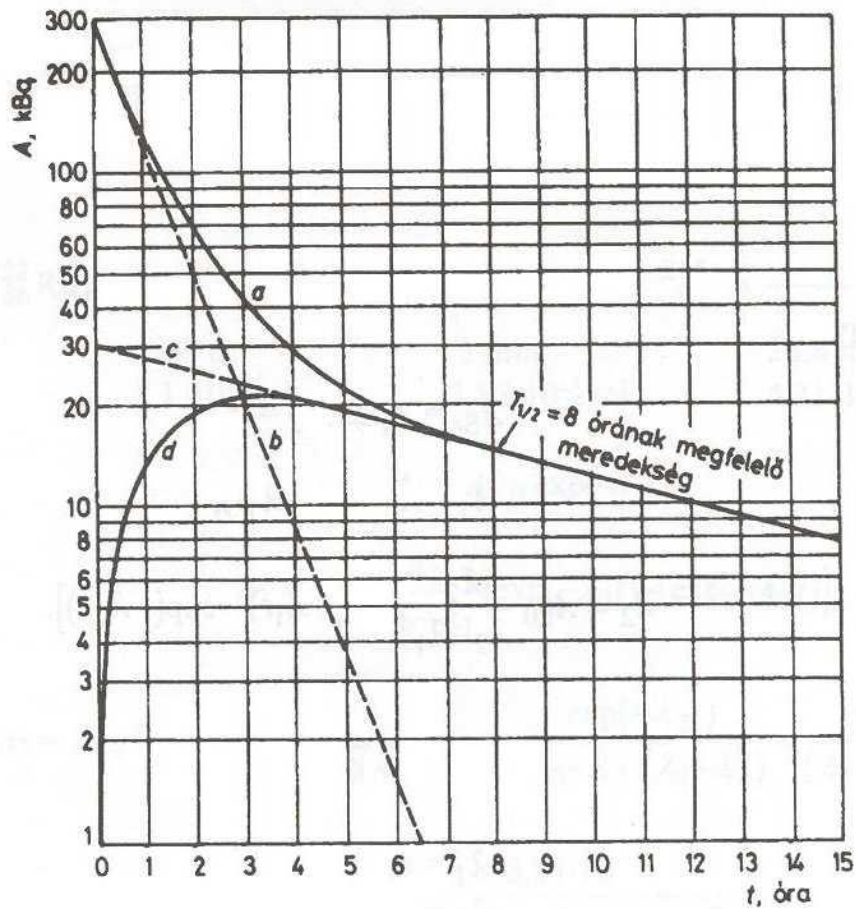
$$N_B \lambda_2 = N_A \lambda_1$$

Az aktivitások azonosak!

2016 apr 12

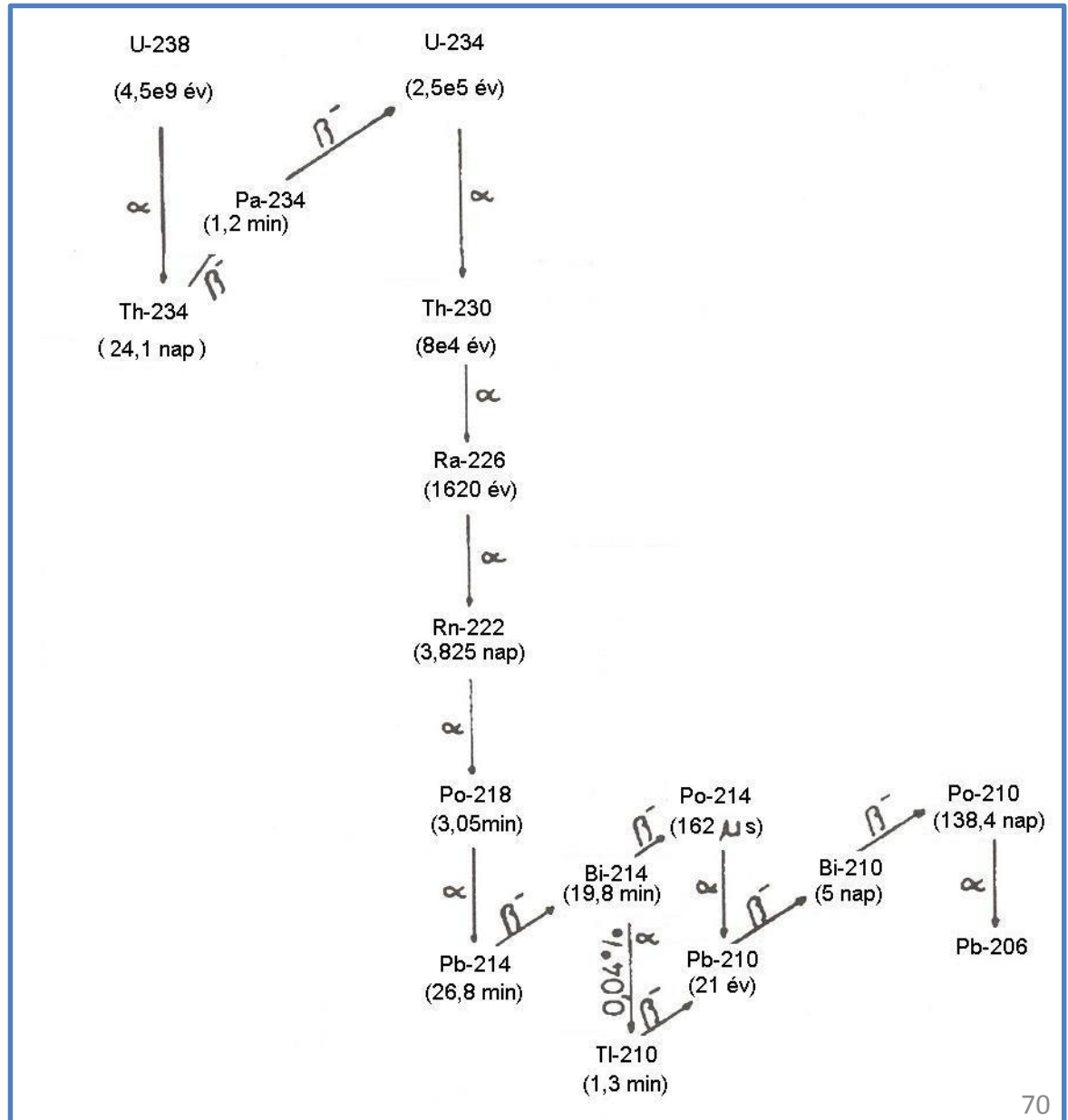


Ha $\lambda_1 > \lambda_2$ nincs egyensúly

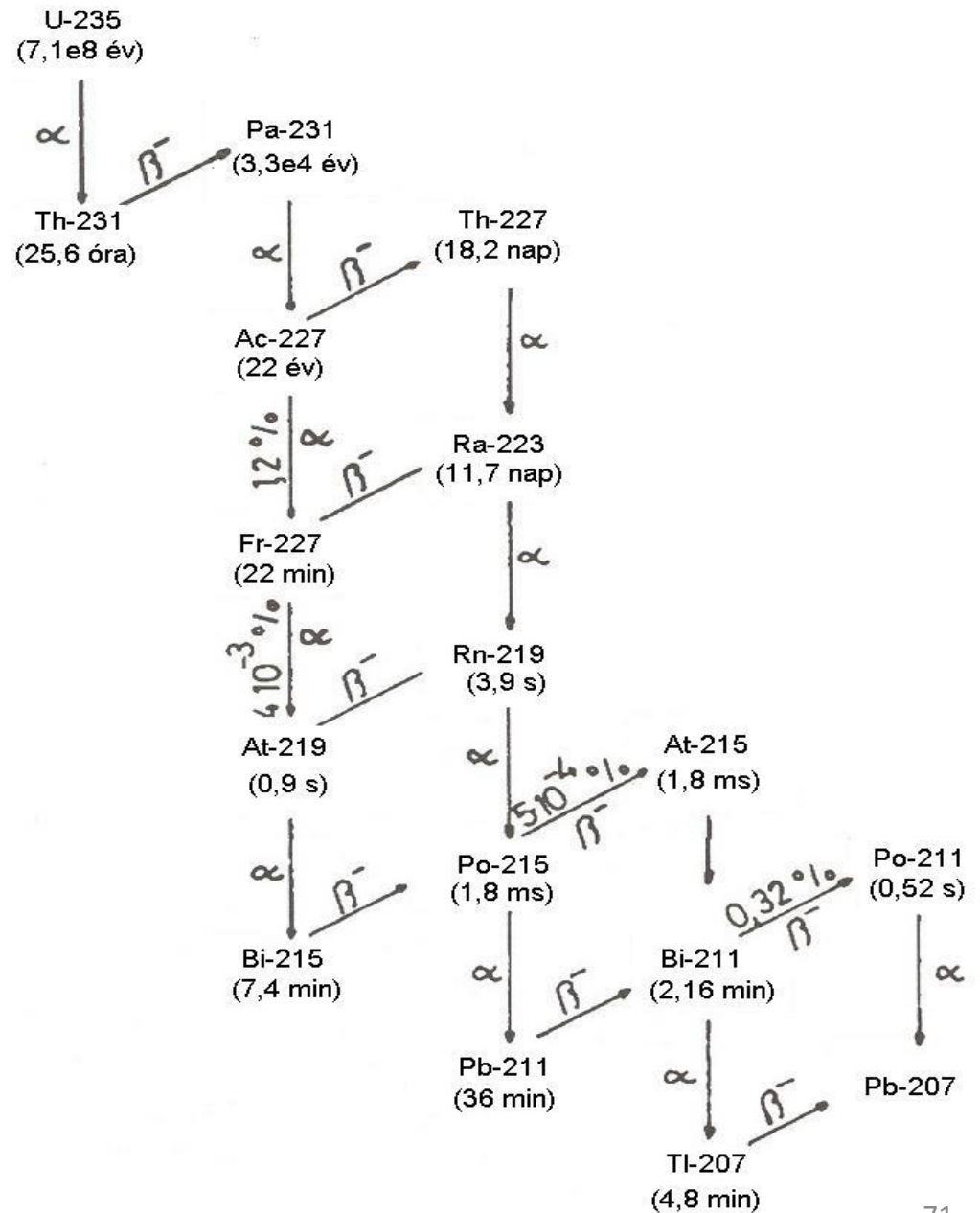


Természetes bomlási sorok

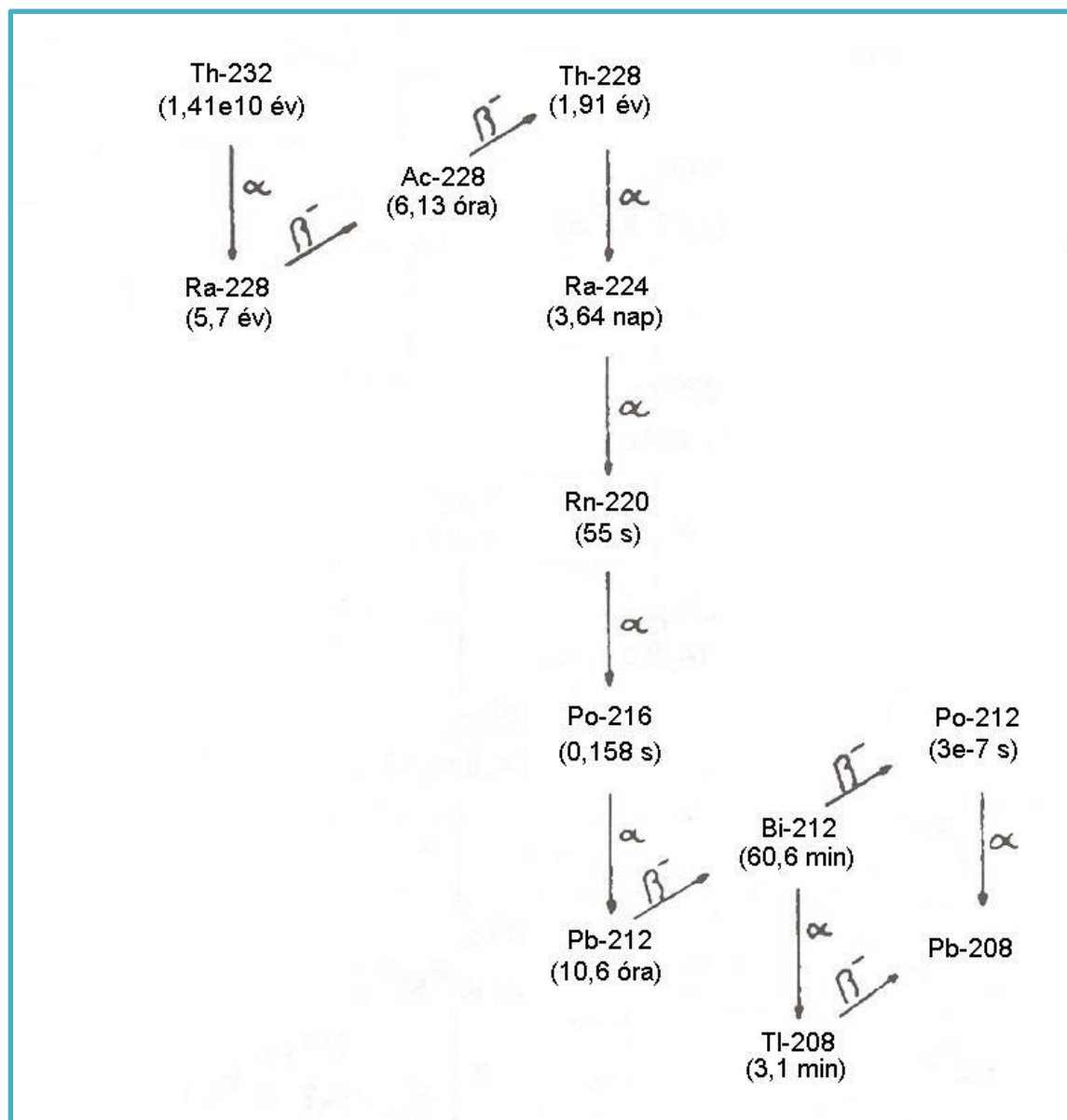
Az U-238 bomlási sora



Az U-235 bomlási sora



A Th-232 bomlási sora



Kormeghatározás radioaktív bomlás alapján:

Geológiai időskálán:



$$N_{206} = N_{238,0} - N_{238}(t) = N_{238,0} [1 - e^{-\lambda t}]$$

Így:

$$\frac{N_{206}(t)}{N_{238}(t)} = \frac{N_{238,0} (1 - e^{-\lambda t})}{N_{238,0} \cdot e^{-\lambda t}} = e^{\lambda t} - 1$$

Ugynezt felhasználva az



bomlási sorra:

$$\frac{N_{207}}{N_{206}} = \frac{1}{139} \left(\frac{e^{\lambda_{235} t} - 1}{e^{\lambda_{238} t} - 1} \right)$$

Archeológiai időskálán:

^{14}C felhasználásával felezési idő: 5730 év

2017 apr 22

1. feladat:

Bizonyítsuk be, hogy az alábbi konszekutív bomlásban a leányelem felezési idejének eltelte után annak aktivitása az anyaelem kezdeti aktivitásának a fele lesz, amennyiben $\lambda_1 \ll \lambda_2$.



a kezdeti aktivitás:

$$\lambda_1 \cdot N_{A,0}$$

t idő múlva::

$$A_B(t) = \lambda_2 N_B(t) = \frac{\lambda_2 \lambda_1}{\lambda_2 - \lambda_1} N_{A,0} \left(e^{-\lambda_1 t} - e^{-\lambda_2 t} \right)$$

τ_2 idő elteltével:

$$\tau_2 \equiv \tau_{1/2, B}$$

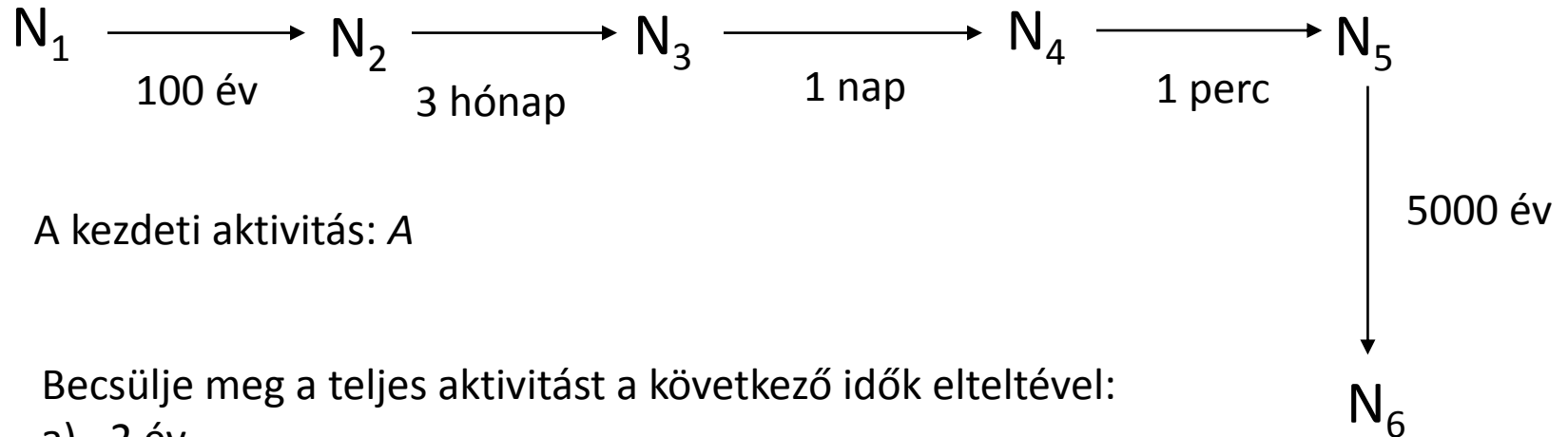
$$A_B(t = \tau_2) = \frac{N_{A,0} \lambda_2 \lambda_1}{\lambda_2 - \lambda_1} \cdot \left(e^{-\frac{\ln 2}{\tau_1} \tau_2} - e^{-\frac{\ln 2}{\tau_2} \tau_2} \right) =$$

$b \approx \lambda_2$ $b \approx 1$ $b = \frac{1}{2}$

$$\approx \underline{\underline{\frac{1}{2} \lambda_1 N_{A,0}}}$$

2. feladat:

Adott a következő hipotetikus bomlási sor a feltüntetett felezési időkkel:



A kezdeti aktivitás: A

Becsülje meg a teljes aktivitást a következő idők elteltével:

- a) 2 év
- b) 3 hónap
- c) 200 év!

($4A$, $2,5 A$, A)

Nukleáris mérések statisztikája, speciális matematikai konstrukciók

Matematikai (valószínűesszámítási) emlékeztető....

Diszkrét változós

Folytonos változós

Várható érték:

$$E(X) \equiv \sum_{\forall i} x_i p_i$$

$$E(X) \equiv \int_{-\infty}^{+\infty} x f(x) dx$$

Integrális eloszlásfüggvény:

$$F(x) \equiv \sum_{\forall i: x_i < x} p_i$$

$$F(x) \equiv \int_{-\infty}^x f(u) du$$

Differenciális eloszlásfüggvény (sűrűségfüggvény):

$$f(x) = \frac{dF(x)}{dx}$$

Átlag/várható érték:

$$\langle x \rangle = \frac{\int_{-\infty}^{+\infty} x g(x) dx}{\int_{-\infty}^{+\infty} g(x) dx}$$

Szórásnégyzet/variancia:

$$D^2(X) \equiv E((X - \mu)^2)$$

$(\mu = E(X))$

Szórás/standard deviáció:

$$D(X) \equiv \sqrt{D^2(X)}$$

A gyakorlatban becslésekre szorítkozunk, ezért:

Empirikus várható érték:

$$\bar{X} \equiv \frac{1}{n} \sum_{k=1}^n X_k$$

Empirikus szórásnégyzet:

$$s^2 \equiv \frac{1}{n} \sum_{k=1}^n (X_k - \mu)^2$$

Mi a valószínűsége annak, hogy adott idő alatt n atommagból éppen x bomlik el, ha egy atom elbomlási valószínűsége p ?

Binomiális eloszlás

$$P(X = x; n, p) = \binom{n}{x} p^x q^{n-x} \quad (x = 0, 1, \dots, n) \quad \dots q = 1 - p$$

Várható érték: .. $\mu \equiv np$

Variancia: $npq = \mu q$

Mi a valószínűsége annak, hogy adott idő alatt n atommagból éppen x bomlik el, ha egy atom elbomlási valószínűsége p úgy, hogy n lényegesen nagyobb x -nél?

Poisson-eloszlás

$$P(X = x; \mu) = \frac{\mu^x}{x!} e^{-\mu} \quad (x = 0, 1, 2, \dots)$$

Várható érték: μ

Variancia: μ

Milyen lesz a bomló atomok élettartam-eloszlása?

Exponenciális eloszlás

Sűrűségfüggvény:..... $f(t) = \begin{cases} \lambda e^{-\lambda t} & \text{ha } t > 0 \\ 0 & \text{ha } t \leq 0 \end{cases}$

Eloszlásfüggvény:..... $F(t) = 1 - e^{-\lambda t}$

Várható érték: $\tau \equiv \frac{1}{\lambda}$

Variancia: $\frac{1}{\lambda^2}$

Miért kell nekünk mindez?

A nukleáris mérések során általában eseményeket számolunk.

Igen nagy számú atomsokaság véletlenszerűen bomlik.....



Poisson-eloszlás

A gyakorlatban adott ideig mérünk egy „beütésszámot”, (ami arányos az aktivitással): N

Ennek „hibája”: \sqrt{N}

Mindig szükséges a háttér korrekciója (levonása). Ilyenkor mekkora lesz a hiba?

Gauss-hibaterjedés

$$D^2(f) \approx \sum_{i=1}^n \left[\left(\frac{\partial f}{\partial x_i} \right)_{\mathbf{x}=\boldsymbol{\mu}}^2 D^2(x_i) \right]$$

Független valószínűségi változók esetén használható, de ez általában teljesül.

A háttérrel korrigált beütésszám-függvény: $F(N, Nh) = N - Nh$

Poisson miatt: $D^2(N) = N$ $D^2(Nh) = Nh$

mivel $\frac{\partial F}{\partial N} = 1$ $\frac{\partial F}{\partial Nh} = -1$

Ezért az eredő hiba: $\sqrt{N + Nh}$

A módszer bármilyen függvénykapcsolatra használható, de mivel csak első deriváltakat tartalmaz (lineáris közelítés), csak kis hibák esetén ad jó becslést!

Nukleáris spektrumok mérésénél a detektorok általában nem kellően szűk intervallumban mérik a spektrum egy pontját, hanem a detektorra is egy detektálási hatásfok-eloszlásfüggvény adható meg.

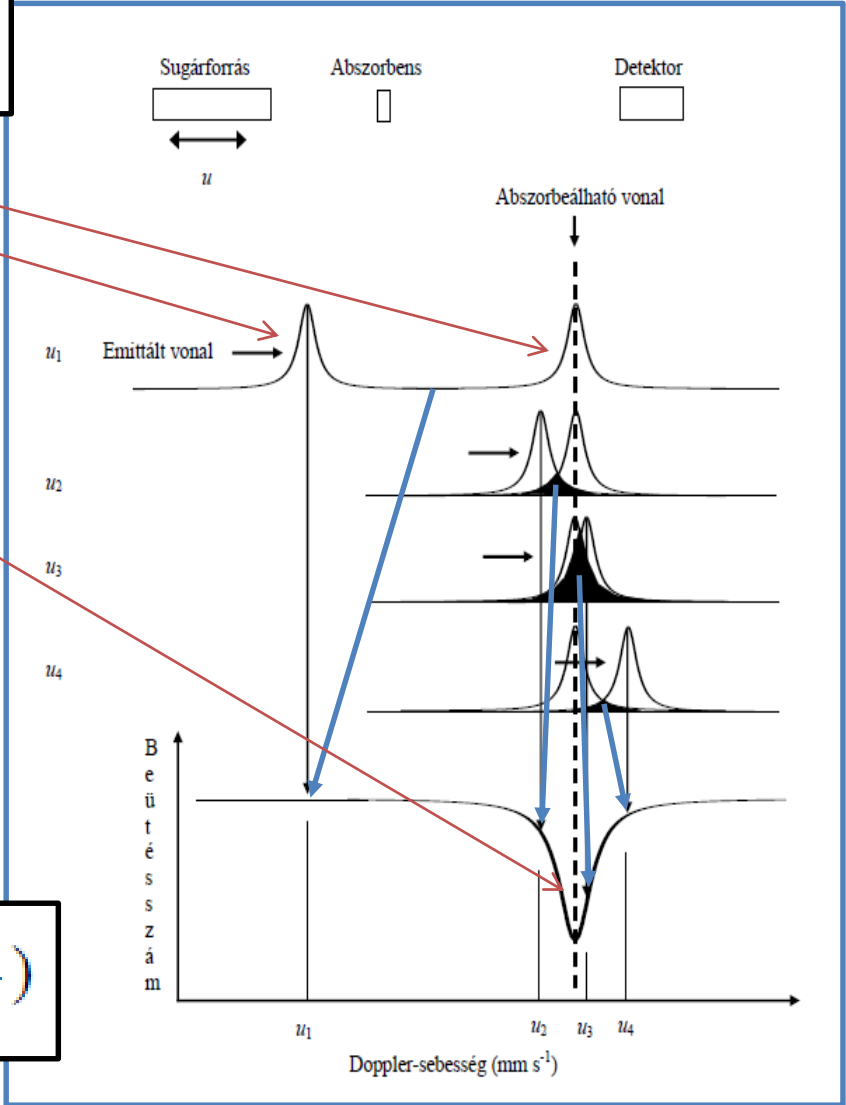
A mérés eredménye a detektorfüggvény és a mérendő célfüggvény konvolúciója:

$$f_{X+Y}(z) = f_X * f_Y(z) \equiv \int_{-\infty}^{+\infty} f_X(z-u) f_Y(u) du$$

$$f_{X+Y}(z) = f_X * f_Y(z) \equiv \int_{-\infty}^{+\infty} f_X(z-u) f_Y(u) du$$

Ha szükséges a célfüggvény előállítása a mért függvényből, az dekonvoulúcióval érhető el, kihasználva, hogy Fourier-transzformokra (φ) teljesül a következő:

$$\varphi(f_{X+Y}) = \varphi(f_X * f_Y) = \varphi(f_X) \varphi(f_Y)$$



Fourier-transzformáció

$$f(t) = \frac{1}{\sqrt{2\pi}} \int_{-\infty}^{\infty} F(j\omega) e^{j\omega t} d\omega$$

Inverz Fourier-transzformáció

$$F(j\omega) = \frac{1}{\sqrt{2\pi}} \int_{-\infty}^{\infty} f(t) e^{-j\omega t} dt$$

időfüggés



frekvenciafüggés

Mérési kondíció: Idő domén

Energia domén

Pl. impulzusüzemű szinkrotronnál

„otthon a laborban”

Taylor-sorfejtés

$$T(x) = \sum_{n=0}^{\infty} \frac{f^{(n)}(a)}{n!} (x - a)^n$$

Mag-elektron-kölcsönhatás (lásd korábban is)

$$E_C \approx V_0 \int \rho(\mathbf{r}) d\tau + \sum_{i=1}^3 \left(\frac{\partial V}{\partial x_i} \right)_0 \int \rho(\mathbf{r}) x_i d\tau + \frac{1}{2} \sum_{i,j=1}^3 \left(\frac{\partial^2 V}{\partial x_i \partial x_j} \right)_0 \int \rho(\mathbf{r}) x_i x_j d\tau$$

magtöltés dipólusmomentum

$$E_3 = \frac{1}{2} \sum_{i=1}^3 V_{ii} \int \rho(\mathbf{r}) \frac{r^2}{3} d\tau + \frac{1}{6} \sum_{i=1}^3 V_{ii} \int \rho(\mathbf{r}) (3x_i^2 - r^2) d\tau$$

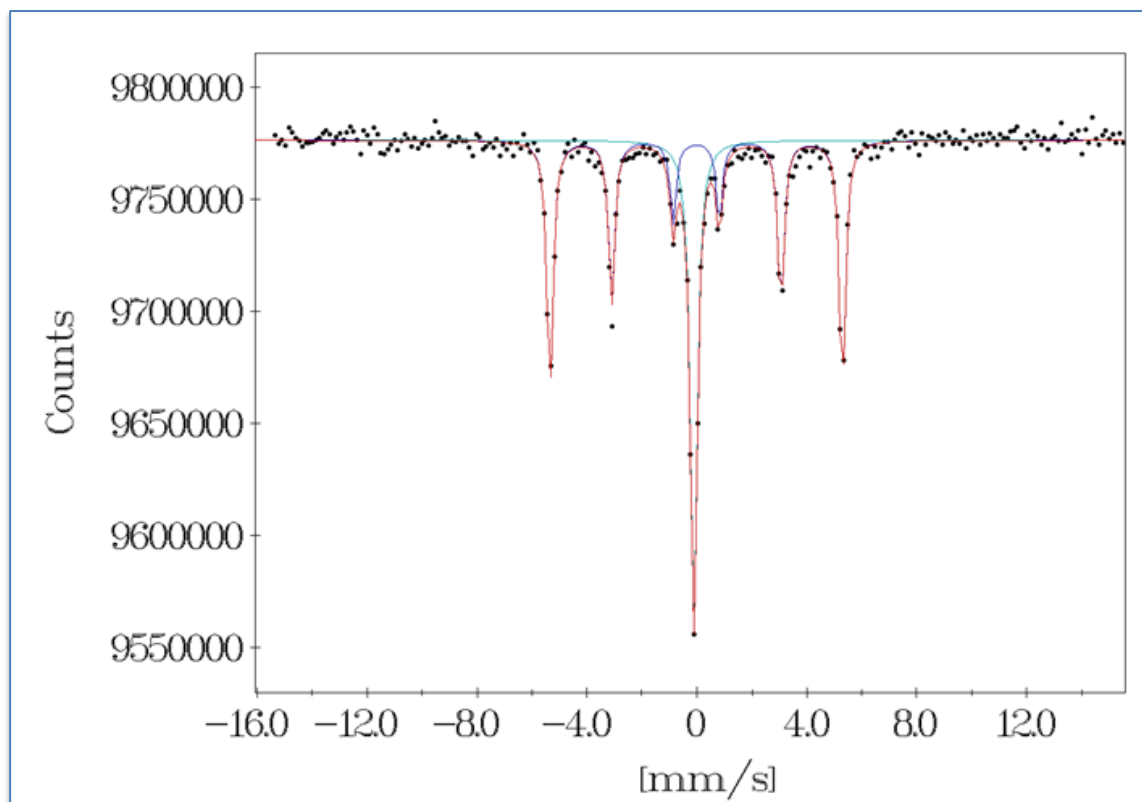
kvadrupólusmomentum

Khi-négyzet próba

Az illesztett modell jóságának a vizsgálata.
(Az elméleti és a tényleges szórás aránya.)

$$\chi^2(\underline{v}) = \sum_{i=1}^h \frac{(W_i - f_i(\underline{v}))^2}{W_i}$$

Példa: Mössbauer-spektrum



A sugárzások és az anyag kölcsönhatása

A kölcsönhatások mindig kétoldalúak....

Mi történhet az anyaggal?

- Elektrongerjesztés
- Mággerjesztés
- Ionizáció
- Magreakció

Mi történhet a sugárzással?

- ❖ Szóródás (irányváltozás, jelentős energiaátadás nélkül)
- ❖ Ütközéses fékeződés
- ❖ Sugárzásos energiavesztés
- ❖ Abszorpció
- ❖ Konverzió más részecskévé

Az α -sugárzás és az anyag közötti kölcsönhatás

A kölcsönhatásban résztvevő anyagrész	A bekövetkezett változás	
	sugárzásban	anyagban
Héjelektron	fékeződés, abszorpció	gerjesztés, ionizáció, kémiai változás
Az atommag erőtere	szóródás, fékeződés,	
Az atommag	abszorpció magreakció	új nuklid keletkezése

Az α -részecskék ütközéses energiavesztése (fékeződése)

Csak az elektronokkal való kölcsönhatást tekintjük!

Az átadott impulzusok:

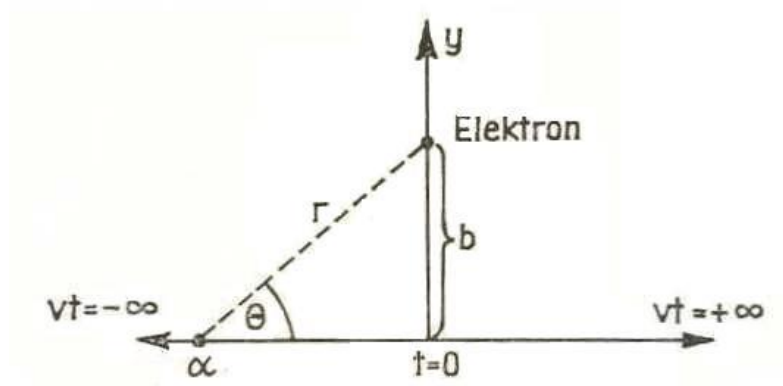
$$p_x = \int_{-\infty}^{+\infty} F_x dt \quad p_y = \int_{-\infty}^{+\infty} F_y dt$$

A fellépő Coulomb-erők:

$$F_x = \frac{Ze^2}{r^2} \cos \Theta \quad F_y = \frac{Ze^2}{r^2} \sin \Theta$$

mivel $r = \frac{b}{\sin \Theta}$

$$F_x = \frac{Ze^2}{b^2} \sin^2 \Theta \cos \Theta \quad \text{illetve} \quad F_y = \frac{Ze^2}{b^2} \sin^3 \Theta$$



Az idő szerinti integrált a következő módon alakíthatjuk át szög szerinti integrállá:

$$\operatorname{tg} \Theta = -\frac{b}{v_{\alpha} t} \quad \longrightarrow \quad t = -\frac{b}{v_{\alpha}} \operatorname{ctg} \Theta \quad \longrightarrow \quad dt = \frac{b}{v_{\alpha}} \frac{1}{\sin^2 \Theta} d\Theta$$

Behelyettesítésekkel adódik az impulzusokra, hogy:

$$p_x = \int_0^{\pi} \frac{Ze^2}{bv_{\alpha}} \cos \Theta d\Theta = \frac{Ze^2}{bv_{\alpha}} [\sin \Theta]_0^{\pi} = 0$$

$$p_y = \int_0^{\pi} \frac{Ze^2}{bv_{\alpha}} \sin \Theta d\Theta = \frac{Ze^2}{bv_{\alpha}} [-\cos \Theta]_0^{\pi} = \frac{Ze^2}{bv_{\alpha}} (-1 - 1) = -\frac{2Ze^2}{bv_{\alpha}}$$

Így az elektronnak átadott kinetikus energia:

$$E_e = \frac{p_y^2}{2m_e} = \frac{2Z^2 e^4}{m_e b^2 v_{\alpha}^2}$$

Az α -részecskét a dx úton előrehaladva a térben hengeres héj veszi körül, melynek térfogata $2\pi b \cdot db \cdot dx$. Ha egységnyi térfogatban n számú Z' rendszámú atom található, akkor az abban foglalt elektronoknak átadott energia:

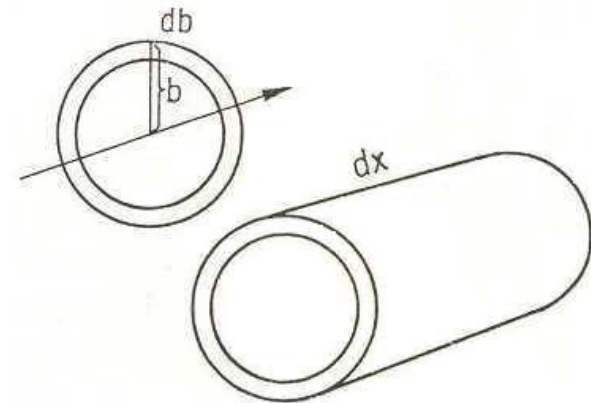
$$-dE = E_e n Z' 2\pi b db dx = \frac{4\pi Z^2 e^4}{m_e v_\alpha^2} n Z' \frac{1}{b} db dx$$



$$-\frac{dE}{dx} = \frac{4\pi Z^2 e^4}{m_e v_\alpha^2} n Z' \int_{b_{\min}}^{b_{\max}} \frac{db}{b}$$



$$-\frac{dE}{dx} = \frac{4\pi Z^2 e^4 n}{m_e v_\alpha^2} Z' \ln \frac{b_{\max}}{b_{\min}}$$



Mit válasszunk b_{\min} és b_{\max} -ra?

b_{\min} esetén a legnagyobb Coulomb erőnek kell hatnia és ekkor a legnagyobb az átadott energia.

Utóbbi klasszikus mechanikus rugalmas ütközésből számítva:

Impulzusmegmaradás::

$$m_{\alpha} v_{\alpha} = m_{\alpha} v'_{\alpha} + m_e v_e$$

Energiamegmaradás::

$$\frac{m_{\alpha} v_{\alpha}^2}{2} = \frac{m_{\alpha} v'_{\alpha}{}^2}{2} + \frac{m_e v_e^2}{2}$$

amiből: $v_e = \frac{2v_{\alpha}}{1 + \frac{m_e}{m_{\alpha}}} \approx 2v_{\alpha}$ \rightarrow $E_{\max} = 2m_e v_{\alpha}^2$

Behelyettesítve az átadott energia egyenletébe:

$$\rightarrow b_{\min} = \frac{Ze^2}{m_e v_{\alpha}^2}$$

Egyéb megfontolások alapján:

$$\rightarrow b_{\max} = \frac{Ze^2}{aI}$$

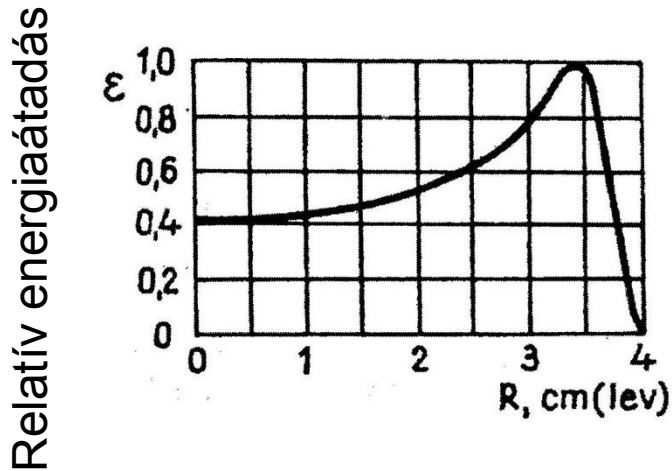
Végül:

$$\frac{dE}{dx} = \frac{4Z^2 e^4 \pi n}{m_e v_{\alpha}^2} Z' \ln \frac{m_e v_{\alpha}^2}{aI}$$

Relativisztikus esetben: (Bethe-Bloch)

$$\frac{dE}{dx} = \frac{4Z^2 e^4 \pi n}{m_e v_\alpha^2} Z' \left[\ln \frac{2m_e v_\alpha^2}{I} - \ln \left(1 - \frac{v^2}{c^2} \right) - \frac{v^2}{c^2} \right]$$

Bragg-görbe:



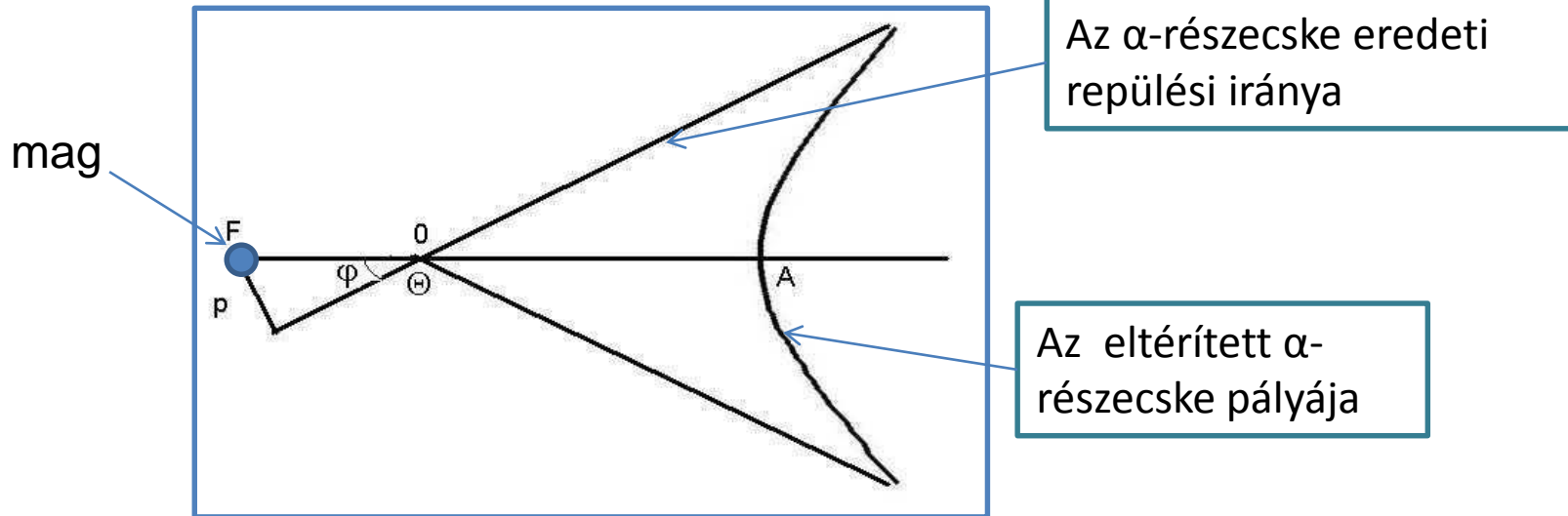
Tipikus hatótávolság levegőben: 1 cm/MeV

Fő tanulság: minél nagyobb az alfa-energia, annál kisebb az egységnyi úton átadott energia! (kb. 500 keV fölött)

Az α -sugárzás energiája (MeV)	Ionpár levegőben
0,2	40 000
0,5	56 000
1,0	54 000
1,5	46 000
2,0	41 000
3,0	32 000
4,0	26 000
5,0	22 000
10	13 000
14	10 300
25	6 500
70	2 900
100	2 200
1000	400
10000	210

Az α -részecskék szóródása

Az alfa-részecskék a magot közelítve hiperbola-pályára kényszerülnek:



Energiamegmaradás:

$$\frac{1}{2} m_{\alpha} v_0^2 = \frac{1}{2} m_{\alpha} v^2 + \frac{Ze * 2e}{q}$$

Impulzusmomentum-megmaradás:

$$m_{\alpha} v_0 p = m_{\alpha} v q$$

m_{α} az alfa-részecske tömege,
 v_0 a kezdeti sebessége,
 v az A pontban meglévő sebessége,
 q a FA távolság,
 Ze az atommag töltése,
 $2e$ az alfa-részecske töltése,
 p az atommagnak az alfa-részecske eredeti pályavonalától való távolsága.



A két megmaradási tétel alapján és a hiperbola egyenletét felhasználva::

$$\operatorname{ctg} \frac{\varphi}{2} = \frac{pMv_{\alpha}^2}{2Ze^2}$$

N kezdeti α -fluxus és n atommag-sűrűség esetén az összefüggés a φ irányban szórt α -részecskék, a φ szög és a kezdeti α -energia között:

$$N_{\varphi} = \frac{NndZ^2e^4}{\sin^4 \frac{\varphi}{2} m_{\alpha}^2 v_0^4}$$

Az eddigiekben az atommagokat rögzítettnek tekintettük (csak szórás, elhanyagolható energiaátadás).

Visszalökődésre képes atommag esetén (pl. gáz, folyadék):

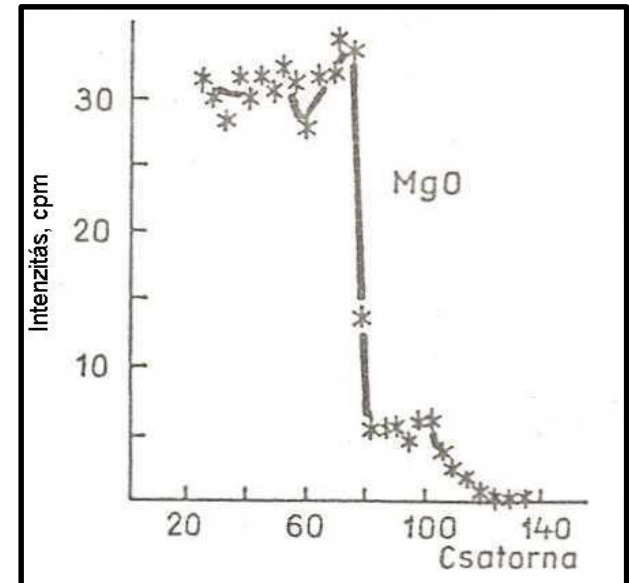
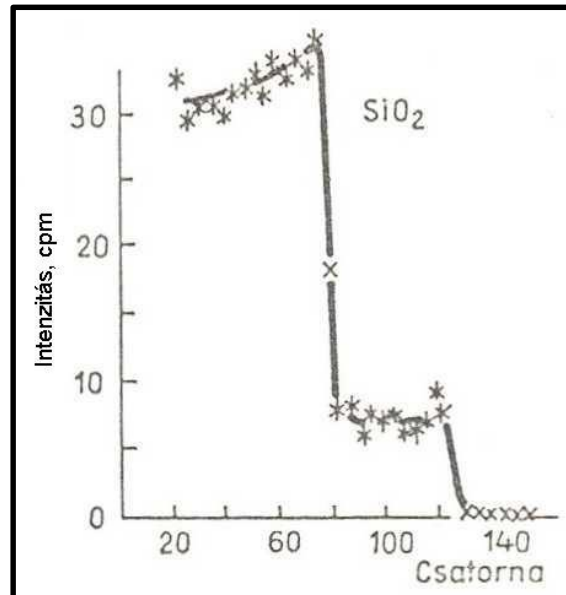
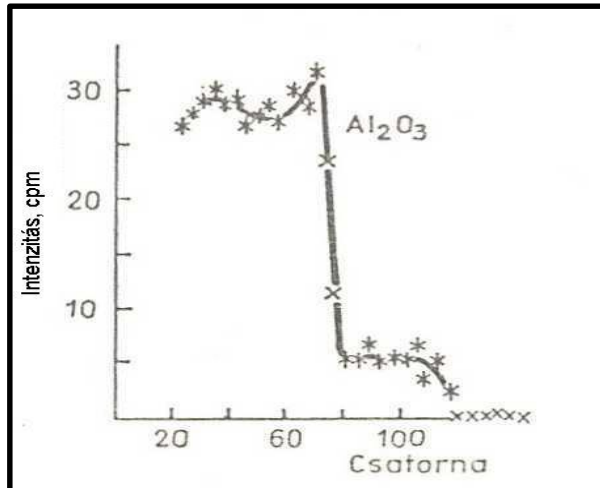
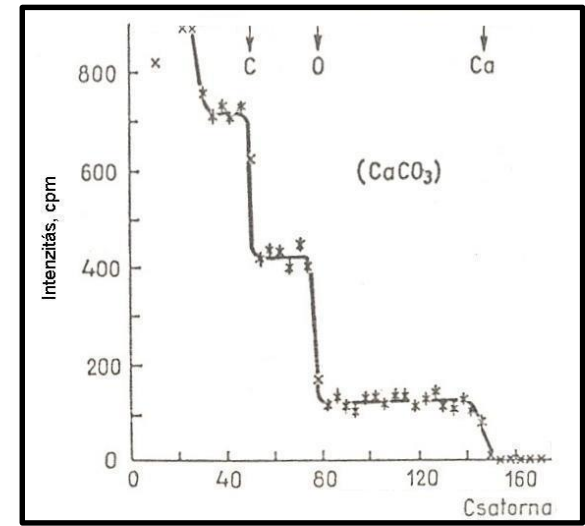
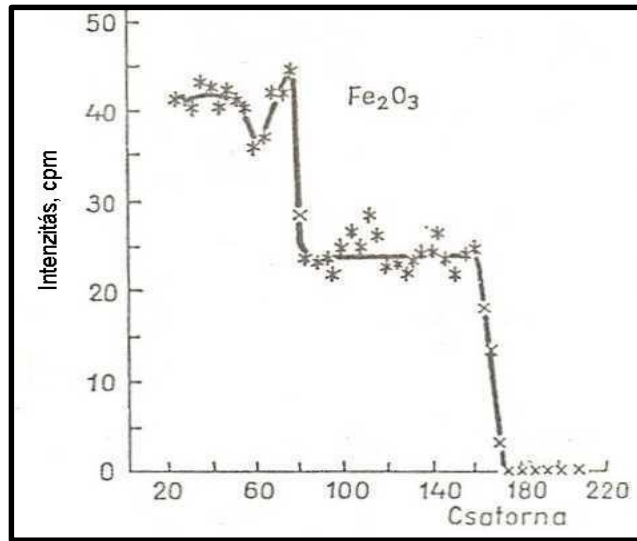
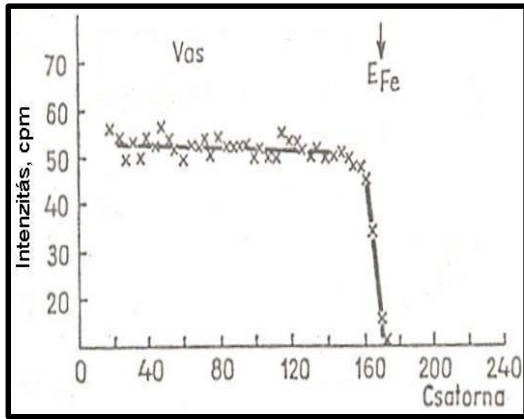
Összefüggés a szög, a szórt α -részecske energiája és a tömegszám között!



Elemanalízis!

$$E_{\varphi} = E_0 \left(\frac{\frac{4}{A} \cos \varphi + \sqrt{1 - \left(\frac{4}{A}\right)^2 \sin^2 \varphi}}{1 + \frac{4}{A}} \right)^2$$

Példák:



A β -sugárzás és az anyag közötti kölcsönhatás

A kölcsönhatásban résztvevő anyagi rész	A bekövetkezett változás	
	a sugárzásban	az anyagban
Héjelektronok	fékeződés, szóródás	gerjesztés, ionizáció, kémiai változás
Az atommag erőtere	fékeződés, szóródás, abszorpció	
Atommag	Nem lépnek kölcsönhatásba	

Az α -sugárzás esetében látott levezetéshez hasonlóan:

$$-\left(\frac{dE}{dx}\right)_{ion} = \frac{4\pi e^4 n}{m_e v_\beta^2} Z \ln \frac{1,66 m_e v_\beta^2}{2I}$$

Ha $E_\beta < m_e c^2$

$$-\left(\frac{dE}{dx}\right)_{ion} = \frac{2\pi e^4 n}{m_e c^2} Z \ln \left(\frac{E^3}{2m_e c^2 I^2} + \frac{1}{8} \right)$$

Ha $E_\beta > m_e c^2$

(relativisztikus eset)

Ütközéses
kinetikusenergia-
átadás!

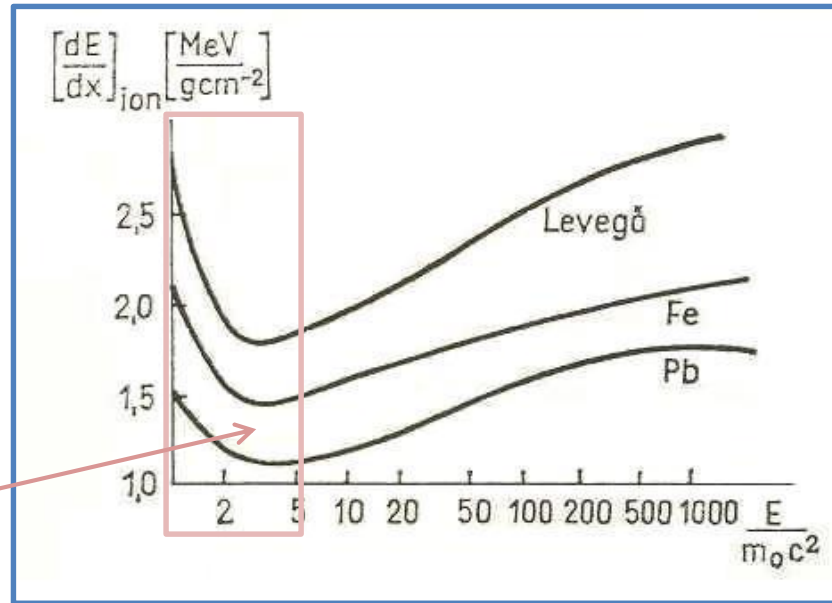
$$-\left(\frac{dE}{dx}\right)_r = \frac{4ne^2 Z^2}{137m_e^2 c^4} (E + m_e c^2) \left[\ln \frac{2(E + m_e c^2)}{m_e c^2} - \frac{1}{3} \right]$$

Energiavesztés
fékezési
röntgensugárzás
kibocsátásával!

2017 apr. 27

Kísérleti eredmény az ionizációs energiavesztésre:

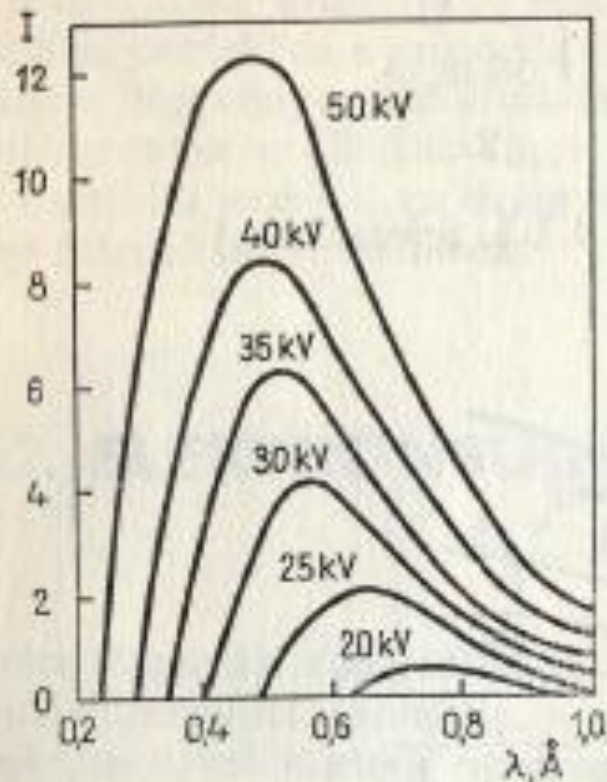
A természetes béta-sugárzás energiatartománya



A kétféle energiavesztési mechanizmus aránya rendszámfüggő:

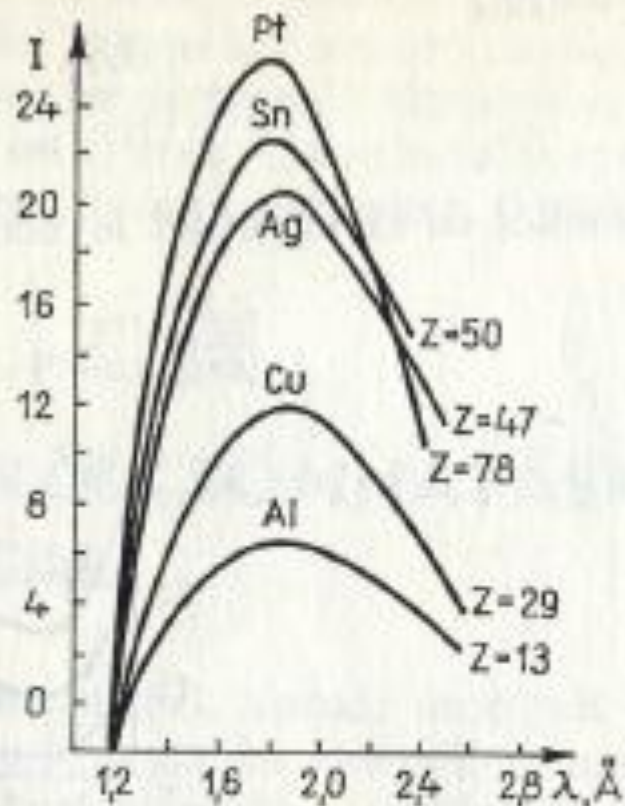
$$\frac{\left(\frac{dE}{dx}\right)_{rtg}}{\left(\frac{dE}{dx}\right)_{ion}} \approx \frac{EZ}{800}$$

Nagy rendszámú anyagok esetén a béta-sugárzás elnyelése mellett annál sokkal egészségkárosítóbb röntgensugárzás keletkezik!

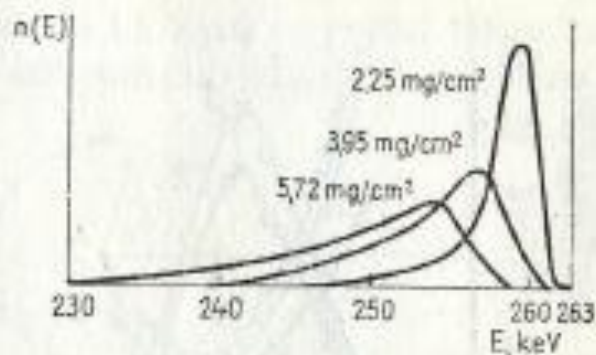


4.18a ábra. A különböző gyorsítófeszültséggel felgyorsított (különböző energiájú) elektronok fékezési röntgensugárzásának energiaspektruma

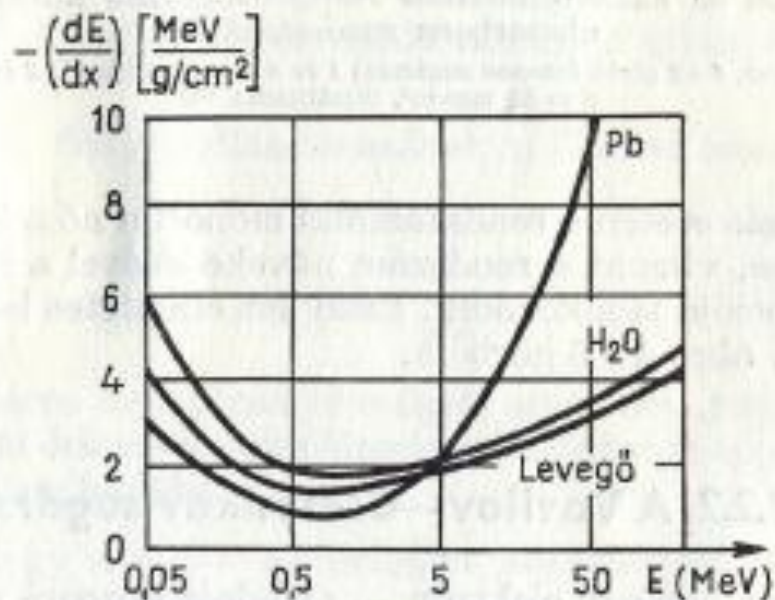
(Az abszcisszán a röntgenfotonok hullámhossza szerepel; $\frac{12,4}{\lambda[\text{Å}]} = E[\text{keV}]$)



4.18b ábra. Monoenergetikus elektronsugárzás által keltett fékezési röntgensugárzás energiaspektruma különböző abszorbensek esetén

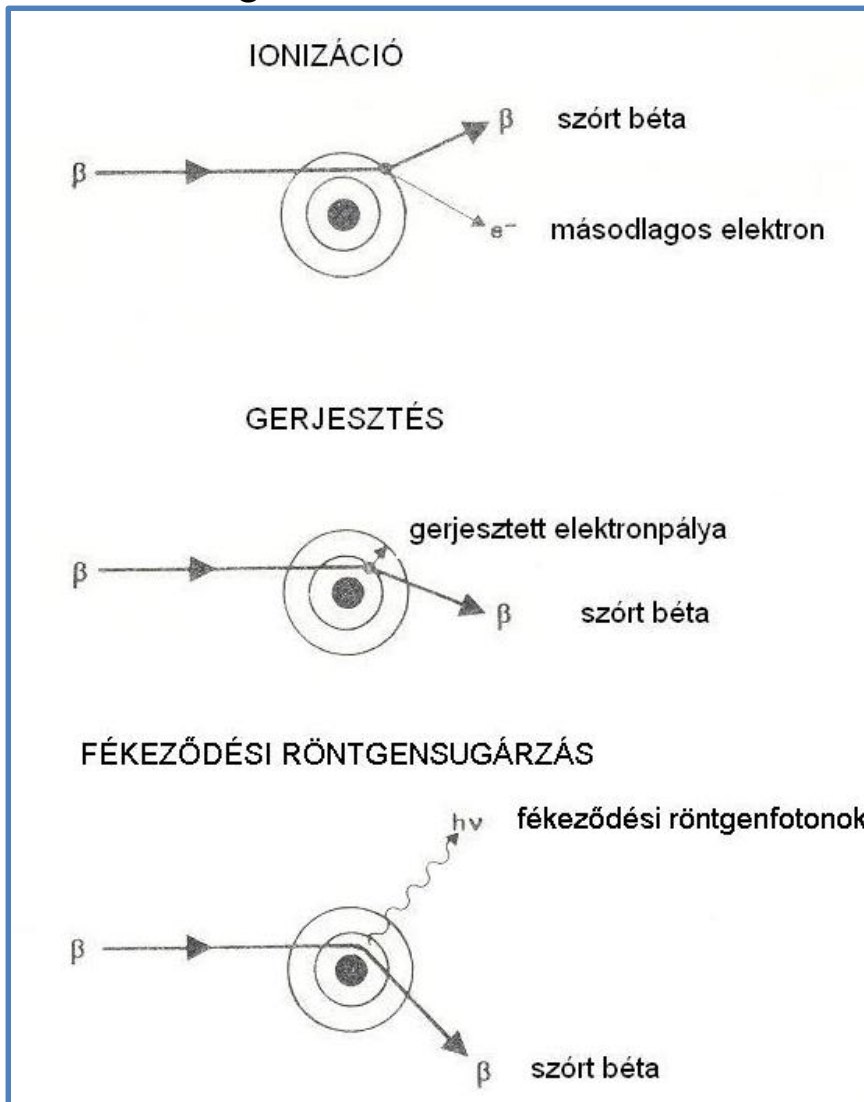


4.19. ábra. $E = 263$ keV energiájú monoenergetikus elektron-sugárnyaláb energiaspektroma különböző rétegvastagságú anyagrégeken történő áthaladás után



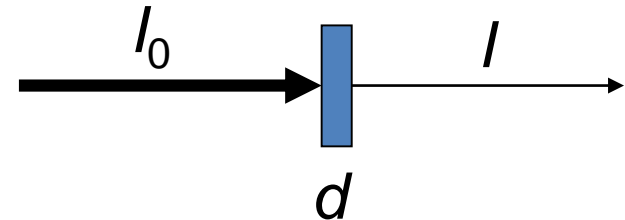
4.20. ábra. Az elektronsugárzás teljes energiaveszteségének energiafüggése

Összefoglalva:



Ezek a fő folyamatok végül a bétaelektron elnyelődéséhez vezetnek.

Az abszorpció fenomenológiai leírása:



Lambert-Beer közelítés

Tömegabszorpciós tényező
Felületi sűrűség

$$I = I_0 \exp(-\mu d) = I_0 \exp\left(-\frac{\mu}{\rho} d \rho\right) = I_0 \exp(-\mu_m d_s)$$

A formula közelítő, mert:

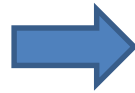
- A lassuló elektron többször lép kölcsönhatásba az anyaggal, nem csak egyszer egy azonnali abszorpcióval
- Az ütközések során lassul, és ezáltal változik a tömegabszorpciós tényező nagysága
- Az esetlegesen kiszóródott béta részecske (a detektor számára „eltűnt”, abszorbeálódott) visszaszóródhat.

A tömegabszorpciós együtthatónak a maximális béta-energiától ($E_{\beta\max}$ -tól) és az abszorbens rendszámától (Z) való függését a fenti okok miatt főképp empirikus egyenletekkel lehet leírni.

$$\mu = \frac{35Z}{M_a E_{\beta\max}^{1,14}} \quad Z < 13$$

$$\mu = \frac{7,7Z^{0,31}}{E_{\beta\max}^{1,14}} \quad Z > 13$$

A Lambert-Beer leírásból nem is következik, de definiálnak β -hatótávolságot energiatartományok szerint változó empirikus formulákkal. Pl:



$$E_{\max} < 0,2 \text{ MeV} \text{ esetén: } R = \frac{1}{1,500} E_{\max}^{\frac{5}{3}}$$

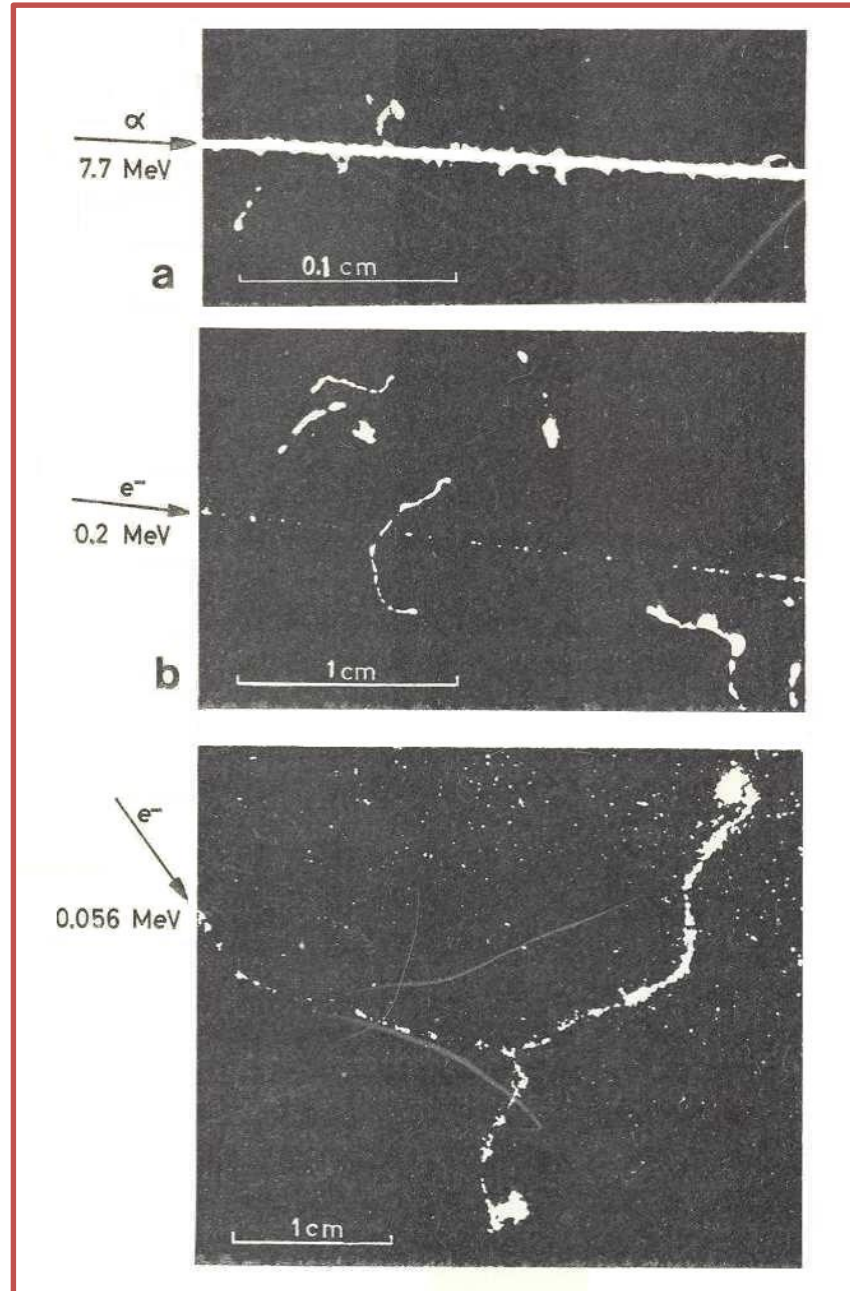
$$E_{\max} > 1 \text{ MeV} \text{ esetén: } R = 0,571 E_{\max} - 0,161$$

Az R hatótávolság g/cm²-ben, az energia MeV-ben értendő.

Néhány β -sugárzó izotóp abszorpciós jellemzői

Izotóp	Maximális energia, E_{\max} MeV	Tömegabszorpciós együttható, μ cm^2/g	Felezési rétegvastagság, $d_{1/2}$ g/cm^2	Hatótávolság, R g/cm^2
^{14}C	0,165	261	0,0025	0,031
^{35}S	0,167	243	0,0028	0,033
^{45}Ca	0,254	128	0,0051	0,062
^{65}Zn	0,325	96	0,0072	0,086
^{204}Tl	0,765	32	0,022	0,280
^{32}P	1,718	10,7	0,065	0,795
^{90}Y	2,25	7,5	0,093	1,090

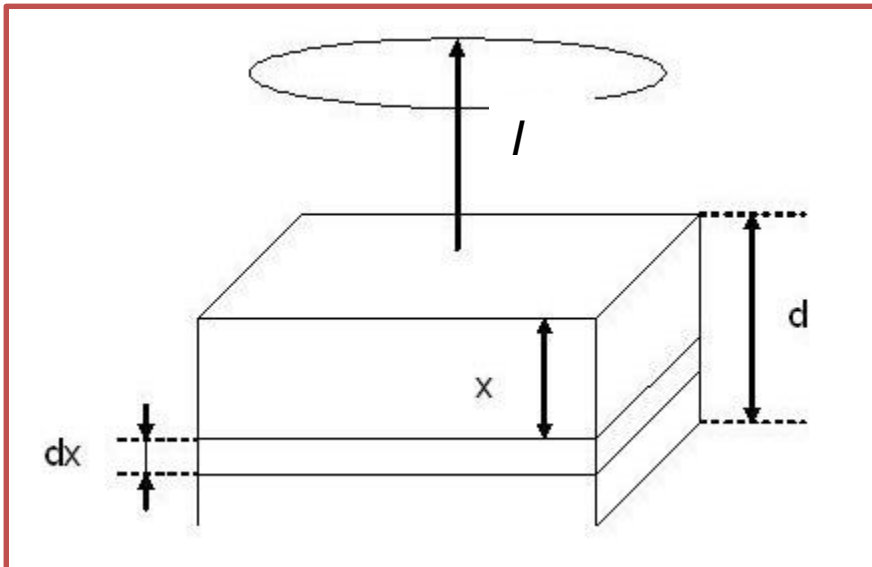
Ködkamra-felvételek alfa- és béta-sugárzásról:



A béta-sugarak önabszorpciója

Miért kell erről beszélni? →

Egy többnyire szilárd halmazállapotú béta-forrásból nem tud maradéktalanul emittálódni minden béta-részecske, mivel a hatótávolság csekély (legfeljebb mm-ek)



$$dI = \frac{I_0}{d} \exp(-\mu x) dx$$

(Integrálás 0-tól d -ig)

$$I = \frac{I_0}{\mu d} [1 - \exp(-\mu d)]$$

Ebben a gondolatmenetben impliciten **állandó összes aktivitást** tételeztünk fel (I_0 állandó), amely változó d rétegvastagság esetén szolgáltatja a kiszámított kilépő intenzitást.

Amennyiben **állandó fajlagos aktivitású** ($I_{0,f}$) mintából készítünk egyre vastagabb réteget, a kilépő intenzitás számítása a következőképp alakul:

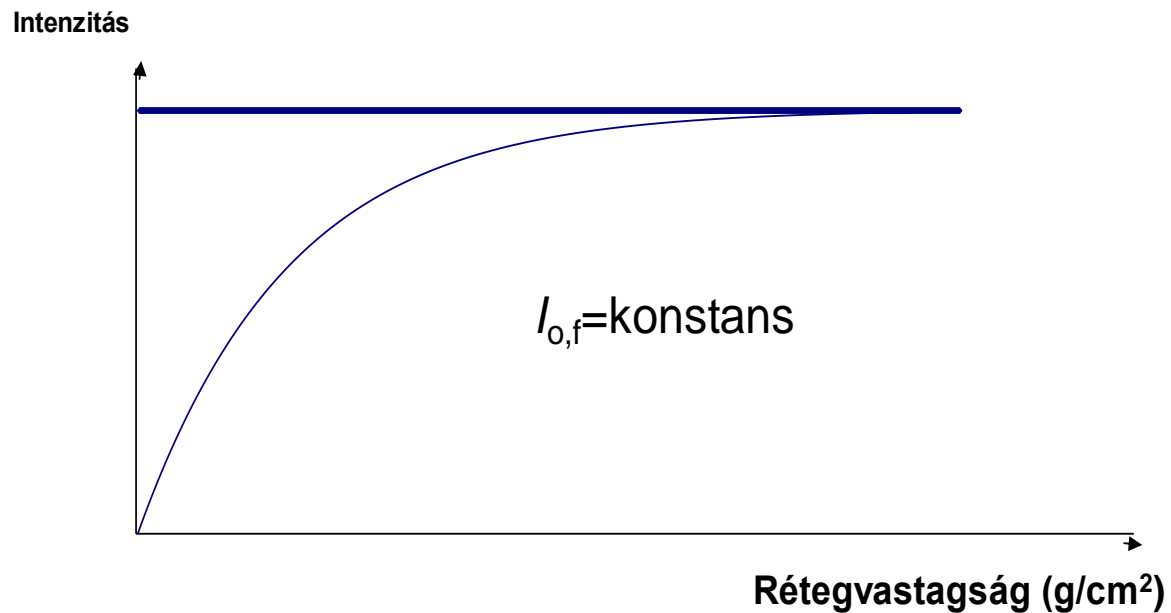
$$dI = I_{0,f} \exp(-\mu x) dx$$

$$I = \int_0^d I_{0,f} \exp(-\mu x) dx = \frac{I_{0,f}}{\mu} [1 - \exp(-\mu d)]$$

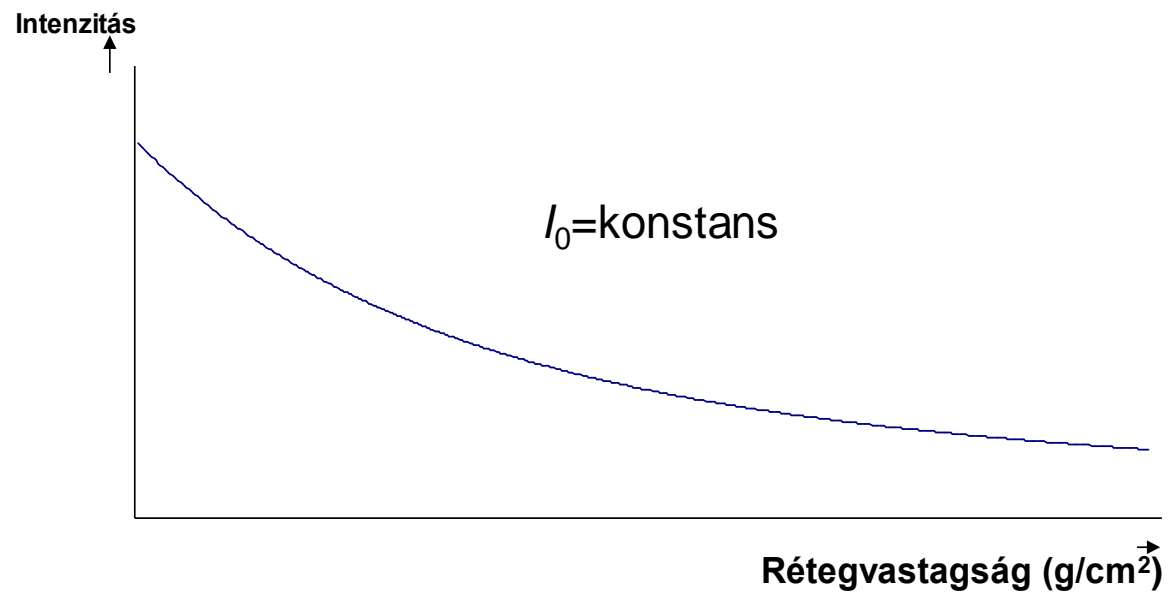
Mivel $I_{0,f}/\mu$ állandó, és végtelen d esetén éppen ehhez tart az intenzitás, a szokásos írásmód:

$$I = I_{\infty} [1 - \exp(-\mu d)]$$

Állandó fajlagos
aktivitás esete:



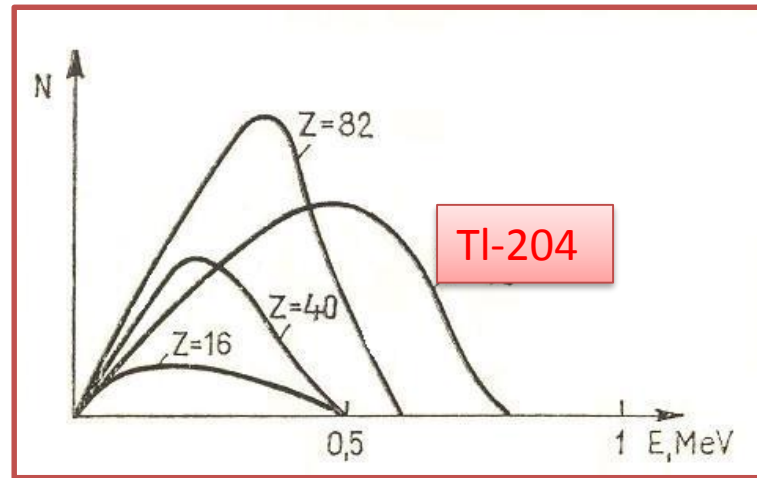
Állandó összes
aktivitás esete:



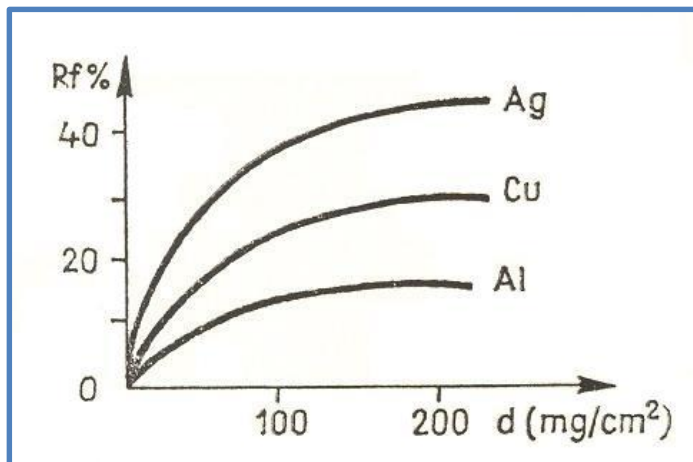
A béta-sugarak visszaszóródása

Figyelembe veendő mind az elektronhéjról, mind a mag erőteréről történő visszaszóródás.

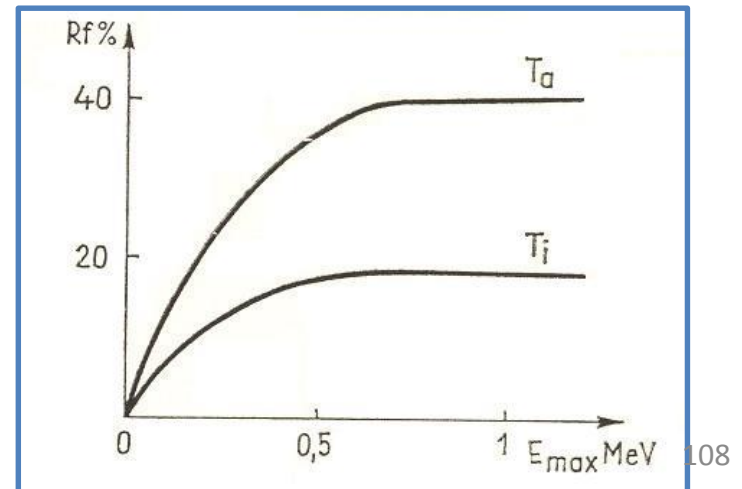
A **TI-204** béta-spektruma, valamint a különböző rendszámú anyagokról visszaszórt sugárzás spektruma:



Rendszámfüggés:



Energiafüggés:



A visszaszórt intenzitás számítása:

Az x mélységig behatoló sugárintenzitás:

$$I_x = I_0 \exp(-\mu x)$$

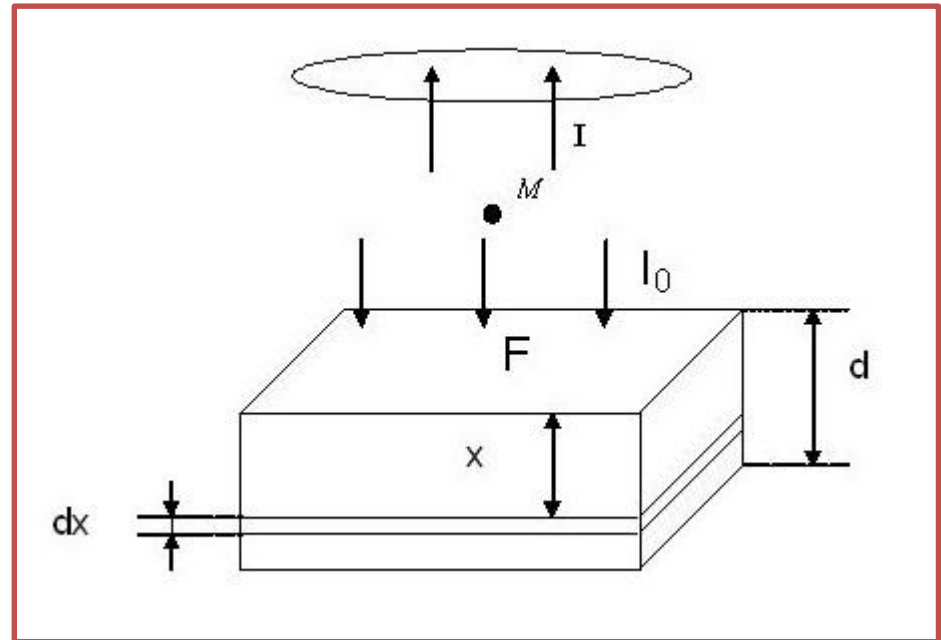
Az dx mélységből visszaszórt intenzitás, ha a 180 fokban szórt hányad ν . (Az intenzitás ugyanazon az úton ismét abszorpciót szenved.):

$$dI_x = \nu I_0 \exp(-\mu x) \exp(-\mu x) dx = \nu I_0 \exp(-2\mu x) dx$$

d vastagságra integrálva:

(telítési jelleg)

$$I = \int_0^d dI_x = \frac{\nu}{2\mu} I_0 [1 - e^{-2\mu d}]$$



Végtelen rétegvastagság esetén:

$$I_{\infty} = I_0 \frac{\nu}{2\mu}$$

A többszörös szóródás során μ folyamatosan változik, ezért ez a formula durva közelítés!

A rendszámfüggés komplikált, ezért empirikus formulákat alkalmaznak:

$$R = \frac{I_{\infty}}{I_0} = \frac{\text{A vizsgálandó anyag végtelen vastag rétegeről visszaszóródó elektronok száma}}{\text{a vizsgálandó anyagra beeső összes elektronok száma}}$$

Müller szerint: $R = aZ + b$, ahol:

Periódus	Z	a	b	R
II.	2-10	1,2311	-2,157	0,3-10,2
III.	10-18	0,96731	0,476	10,2-17,9
IV.	18-36	0,68582	5,556	17,9-30,3
V.	36-54	0,34988	17,664	30,3-36,6
VI.	54-86	0,26225	22,396	36,6-45

Korlátozott
érvényesség!

Pl. Vértes Attila
szerint a hidrogénhez
hipotetikus 7,434
rendszámot kell
hozzárendelni.

Különleges β -anyag kölcsönhatások:

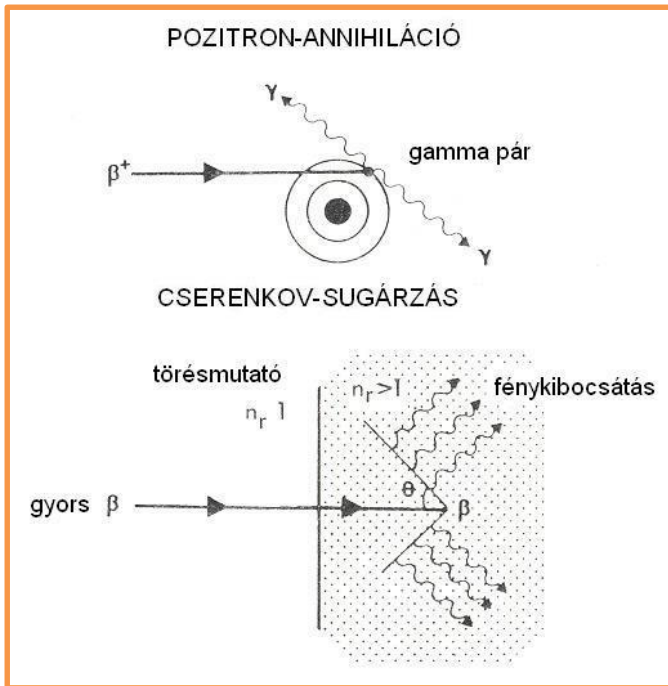
A pozitronannihiláció

Pozitív béta-sugárzás esetén - lévén a pozitron antianyag - mindig bekövetkezik annihilációja:



A szétsugárzódás szöge 180 fok.

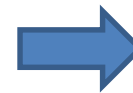
(Ritkán: 1 γ vagy 3 γ annihiláció)



Élettartam: 10^{-10} s

nov14

Kétgamma annihiláció esetén az észlelt gammaenergia mindig 511 keV!



A pozitron csak termalizálódás után annihilálódhat egy elektronnal.

Egzotikus atom keletkezhet: pozitroniumatom.

Vavilov–Cserenkov-sugárzás

Adott közegben a fénysebességnél gyorsabban mozgó töltött részecskék sugárzással veszítenek energiát.



Ez béta elektronokra vízben gyakran teljesül (0,26 MeV fölött)!

Miért lehetséges?

Amennyiben végbemegy, teljesülnie kell, hogy:

$$\left(\frac{dE}{dp} \right)_{\text{részecske}} = \left(\frac{dE}{dp} \right)_{\text{sugárzás}}$$



Részecskére:

$$\left(\frac{dE}{dp}\right)_{\text{részecske}} = \frac{d\sqrt{m_0^2 c^4 + p^2 c^2}}{dp} = \frac{pc^2}{E} = \beta c = v$$

A sugárzásra::

$$\left(\frac{dE}{dp}\right)_{\text{sugárzás}} = \frac{dpc}{dp} = c$$

Vákuumban e kettő egyszerre nem teljesülhet, mivel a vákuumbeli fénysebességet nyugalmi tömeggel rendelkező részecske nem érheti el.

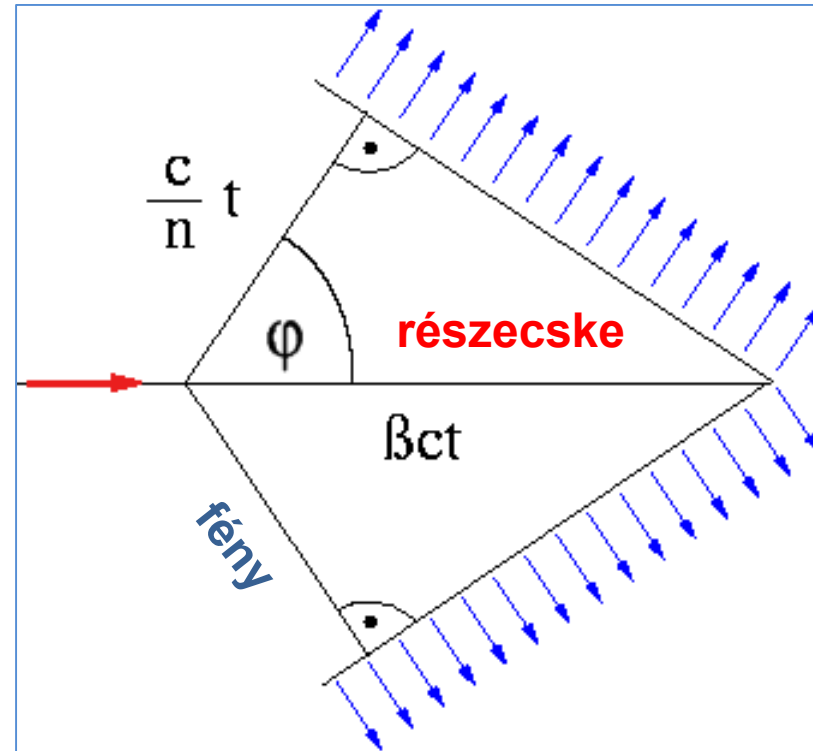
n törésmutatójú közegben lehetséges, hogy:

$$v \geq c' = c/n$$

Ilyenkor az impulzusmegmaradás törvénye következtében az elektron repülési irányától eltérően, φ szögben történik fényemisszió:

$$\varphi = \arccos(c/nv)$$

A felrajzolt geometriának megfelelően a 0 és t időpontban kilépő fotonok (φ szögben) 0 útkülönbséggel rendelkeznek, így interferálnak.



A frekvencia és az intenzitás
Összefüggése:

$$I(\nu) = \frac{2\pi e^2}{c^2} \nu \left[1 - \frac{c^2}{n^2 \nu^2} \right] f$$

(A frekvenciával való növekedés miatt kékeslila a Cserenkov-fény.)

A γ -sugárzás és az anyag közötti kölcsönhatás

A kölcsönhatásba lépő anyag	Abszorpció	Szóródás	
		Rugalmas	Rugalmatlan
Héjelektronok	Fotoeffektus $\sigma \sim Z^4$	Rayleigh-szóródás $\sigma \sim Z^2$	Compton-szóródás $\sigma \sim Z$
		Thomson-szóródás $\sigma \sim Z$	
Coulomb-tér	Pároképződés $\sigma \sim Z^2$		
Atommagok	Fotomagreakciók (magfotoeffektus) (γ, n); (γ, p) $\sigma \sim Z$	(γ, γ) magreakció $\sigma \sim Z$	(γ, γ') magreakció
	Rezonancia-abszorpció Mössbauer-effektus		

A Compton-szóródás

Gamma-sugarak rugalmatlan^a szóródása szabad^b elektronokon

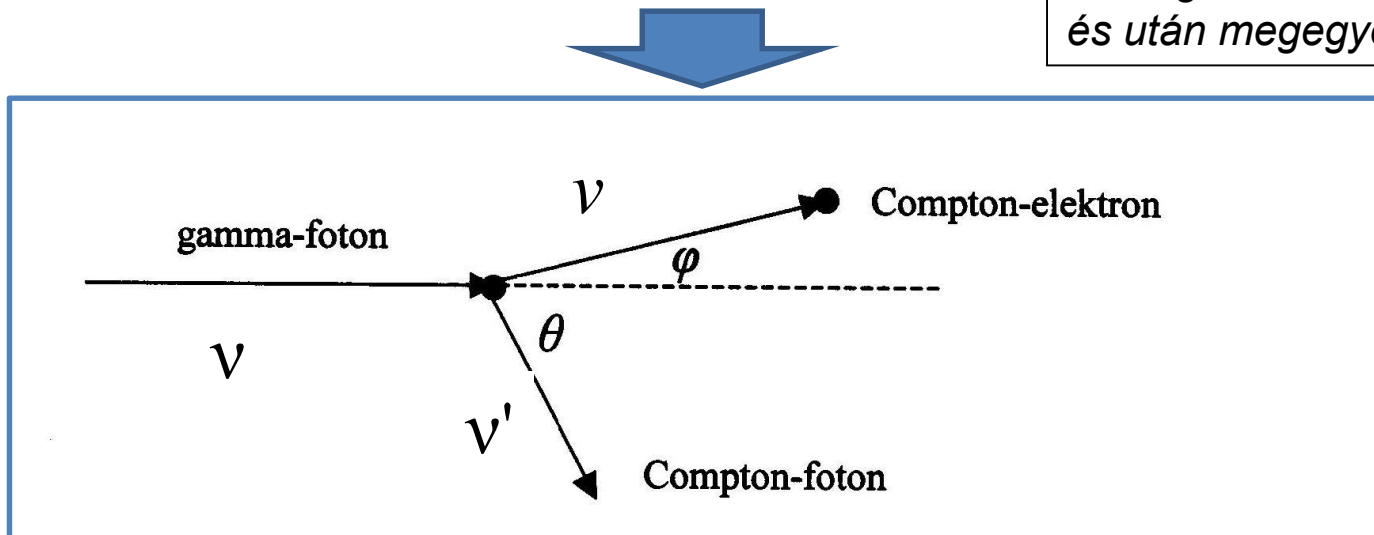
^aA sugárzás frekvenciája csökken a szórás után.

^bÉrtsd: nincs jelentősége annak, hogy az elektron kötött (csak kötött elektron van a környezetünkben...)

Fontos: ebben a kölcsönhatás-típusban az elektron és a foton is **részecskeként viselkedik (korpuzkuláris jelenség)**

Modell: merev golyók rugalmas^c ütközése

^cA kinetikus energiák összege a szórás előtt és után megegyezik.



Mekkora a közegnek (a meglökött elektronnak) átadott energia?

Energiamegmaradás:

$$h\nu_0 = h\nu + E_c$$

Impulzusmegmaradás:

$$\frac{h\nu_0}{c} = \frac{h\nu}{c} \cos \vartheta + p_e \cos \varphi$$

$$0 = \frac{h\nu}{c} \sin \vartheta - p_e \sin \varphi$$

Kénytelenek vagyunk relativisztikus képletekkel számolni a gamma-foton miatt...

Így a Compton-elektron kinetikus energiája és impulzusa:

$$E_c = m_0 c^2 \left(\frac{1}{\sqrt{1 - \frac{v^2}{c^2}}} - 1 \right) \quad p_e = mv = \frac{m_0 v}{\sqrt{1 - \frac{v^2}{c^2}}}$$

Az impulzusmegmaradást leíró két egyenletből a φ szöveget kiejtve az elektron impulzusnégyzete:

$$p_e^2 = \left(\frac{h\nu_0}{c}\right)^2 + \left(\frac{h\nu}{c}\right)^2 - 2\left(\frac{h\nu_0}{c}\right)\left(\frac{h\nu}{c}\right)\cos\vartheta$$

Az energiamegmaradást és a relativisztikus impulzust felhasználva:

$$\left(\frac{h\nu_0}{m_0c^2} - \frac{h\nu}{m_0c^2} + 1\right) - 1 = \left(\frac{h\nu_0}{m_0c^2}\right) + \left(\frac{h\nu}{m_0c^2}\right) - 2\frac{h\nu_0h\nu}{(m_0c^2)^2}\cos\vartheta$$

Ebből a foton frekvenciájának csökkenése:

$$\nu_0 - \nu = \frac{h\nu_0\nu}{m_0c^2}(1 - \cos\vartheta)$$

Energiává konvertálva:

$$h\nu_0 - h\nu = \frac{h\nu_0h\nu}{m_0c^2}(1 - \cos\vartheta) = E_0 - E = \frac{E_0E}{0,51}(1 - \cos\vartheta)$$

Ebből az energiaveszteség:

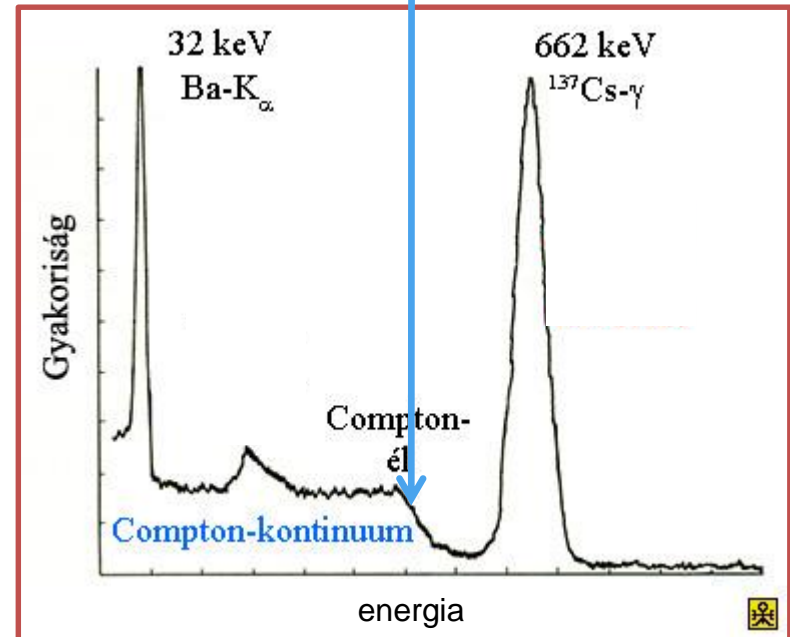
$$\Delta E = \frac{E_0^2 (1 - \cos \vartheta)}{E_0 (1 - \cos \vartheta) + 0,51}$$

Ebből következően van egy **maximálisan átadható energia** (180 fokos visszaszórásnál):

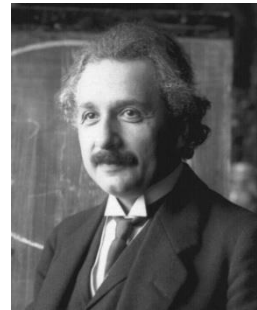
$$\Delta E_{\max} = \frac{E_0^2}{E_0 + 0,255}$$

A hatáskeresztmetszet:

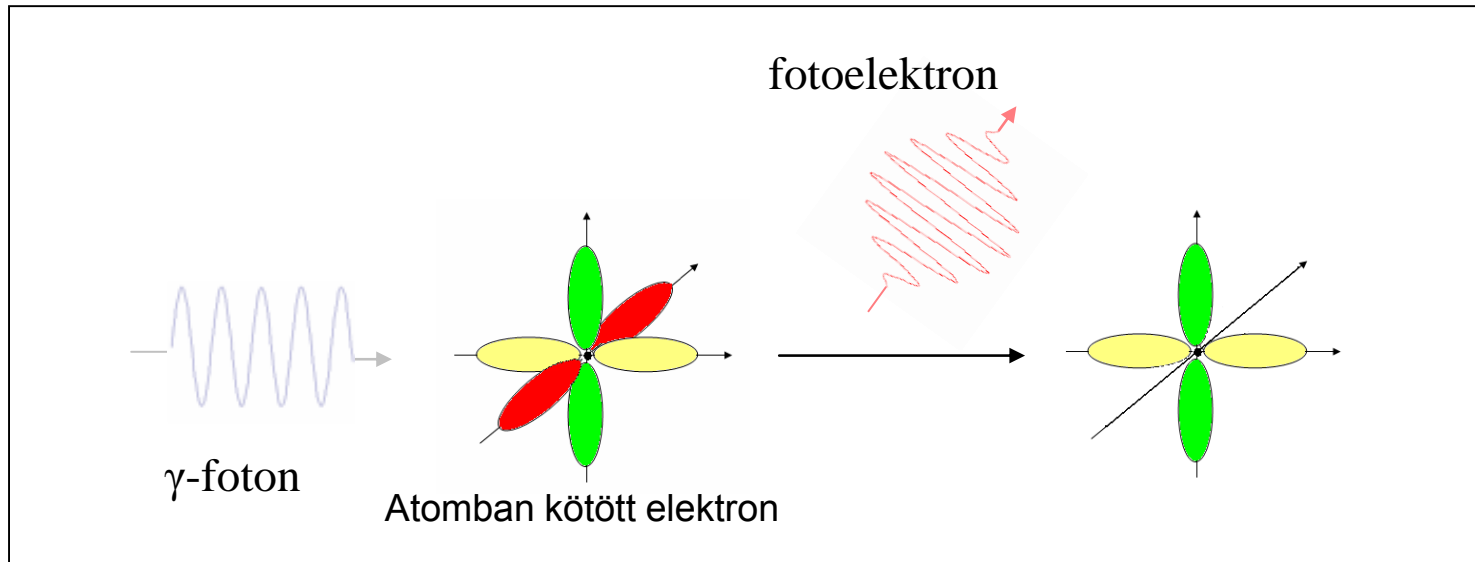
- rendszámfüggés (**egyenes arányosság**, mivel az anyagban lévő elektronok koncentrációja közelítőleg arányos a rendszámmal)
- energiafüggés (**erősen csökkenő** – ez nem következik az iménti levezetésből, csak abból az általános korpuzkuláris folyamatokra alkalmazható elvből vezethető le, hogy az energia/sebesség növekedésével csökken az ütköző objektumok egymás közelében töltött ideje, ami arányos a reakció megvalósulásának valószínűségével)



A fotoeffektus



Gamma-sugarak abszorpciója kötött elektronokon



A γ -foton a kölcsönhatás során teljes energiáját átadja.

$$\text{Energiamérleg: } E_{\text{fotoelektron}} = E_{\gamma} - E_{\text{köt}}$$

($E_{\text{köt}}$ az elektron kötési energiája)

Fontos: ebben a kölcsönhatás-típusban **az elektron és a foton is hullámként viselkedik** (a γ -foton rezonanciába kerül az atommag erőterében kötött elektronnal - "atomi antenna")

2017 apr 28

A kölcsönhatás valószínűsége empirikus alapon:

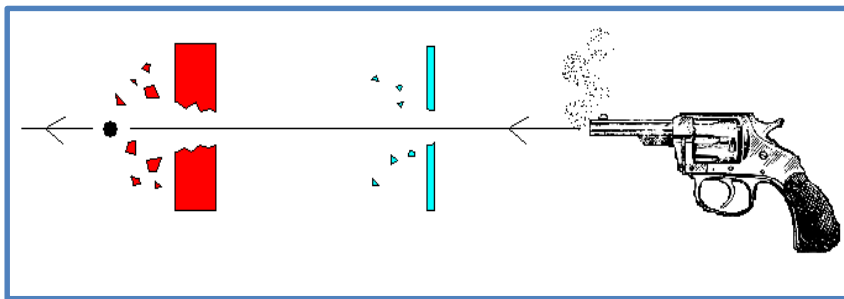
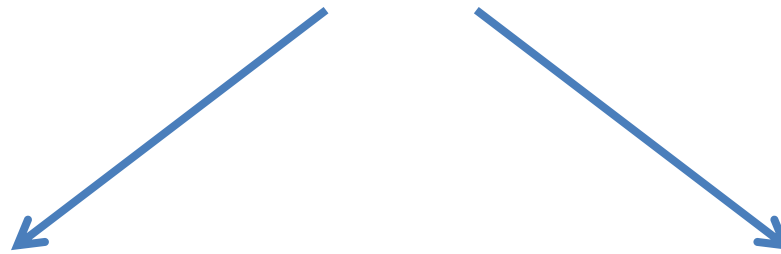
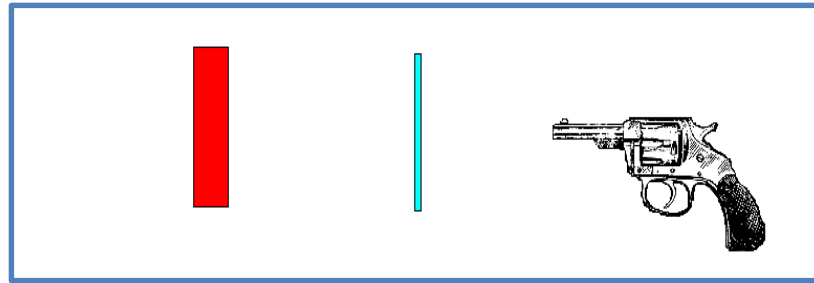
$$\mu_{m,f} = 8,9 * 10^{-6} \frac{Z^{4,1}}{A_r} \lambda^n$$

$\mu_{m,f}$ a tömegabszorpciós tényező (g/cm²-ben),
Z az atom rendszáma, amiben az elektron kötve van
 A_r a relatív atomtömeg,
 λ pedig a sugárzás hullámhossza nm-ben.
 $n \approx 3$.

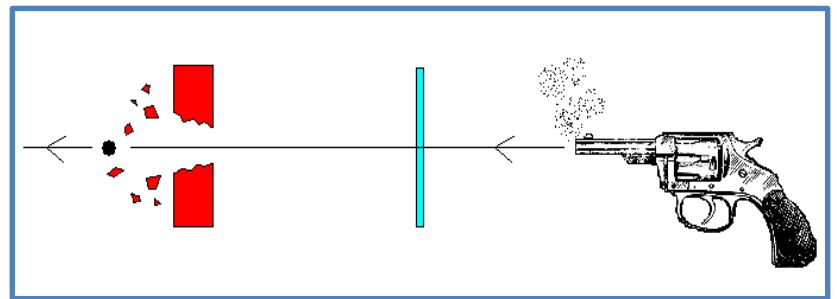
Energiafüggés: A kölcsönhatás valószínűsége a γ -energia csökkenésével meredeken nő, mivel az általában nagy energiájú γ -sugarak itt érik el az atomi elektronok kötési energiáit. Ebből az is következik, hogy a fotoeffektus (γ -sugarakkal) a legbelső elektronokon játszódik le előbb.

Rendszámfüggés: mivel az elektronok kötési energiái a rendszámmal nagy mértékben emelkednek, az általában nagy energiájú γ -sugarak fotoeffektusának valószínűsége a rendszámmal meredeken nő.

Hogy a gamma-fotonok az erősebben kötött elektronokon szenvednek fotoeffektust, alapvetően a jelenség hullámtermészetének a következménye....

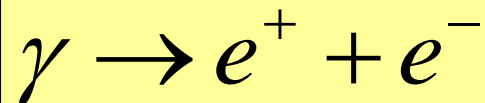


„korpuzkuláris jelenség”



„hullámjelenség”

A párkeltés



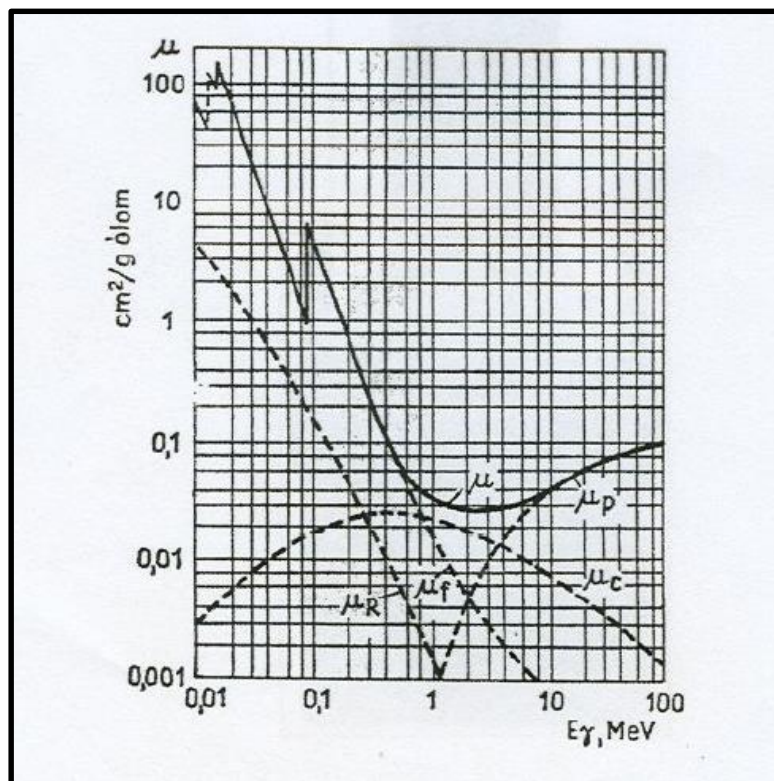
Az annihiláció megfordítottja

Energiaküszöb: 1,02 MeV (két elektron tömegének megfelelő ekvivalens energia)

A hatáskeresztmetszet a rendszám négyzetével arányos.

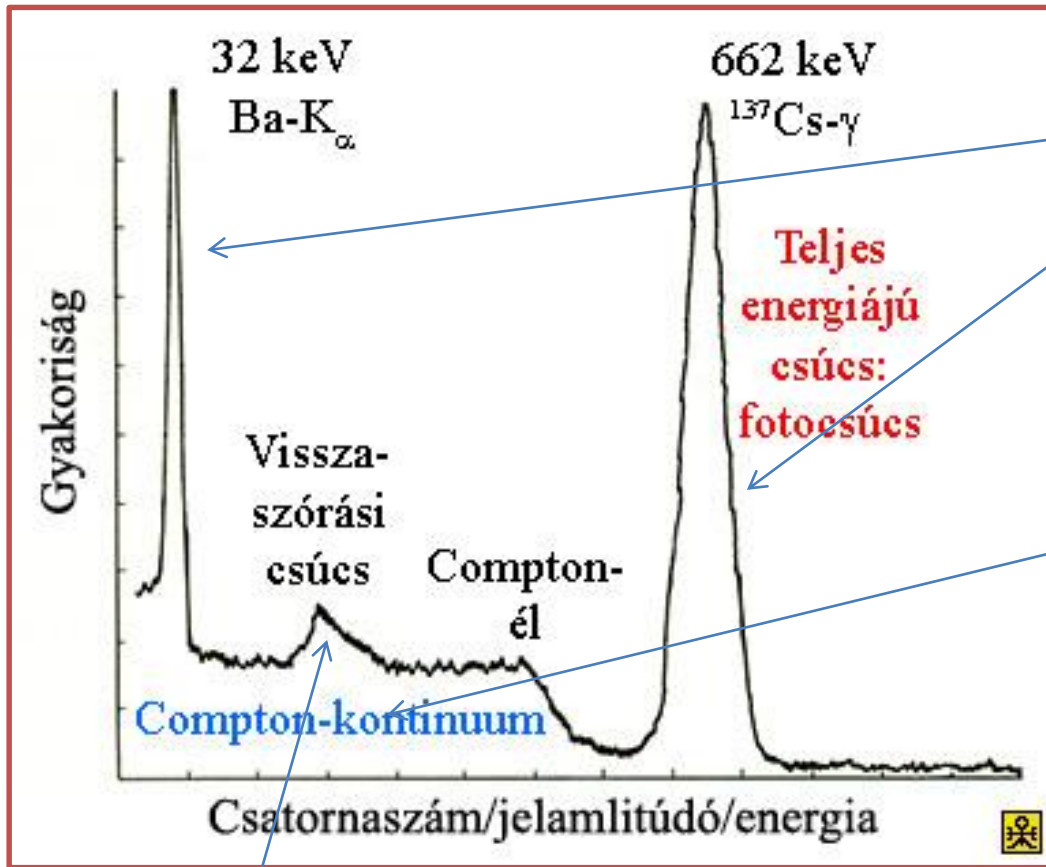
$$\sigma_p = KZ^2 f(E_\gamma)$$

A három kölcsönhatás megjelenése pl. ólom esetén:



Nov. 21

Tipikus spektrum párképződés nélkül:



A fotoeffektus miatt

Compton-szórás miatt

Másodlagos effektusok következménye



Másodlagos kölcsönhatások

Fékezési röntgensugárzás

elektronok /pozitronok fékeződése Coulomb-térben

Karakterisztikus röntgensugárzás

elektronvakancia betöltődésekor egy másik héjról

Belső konverzió

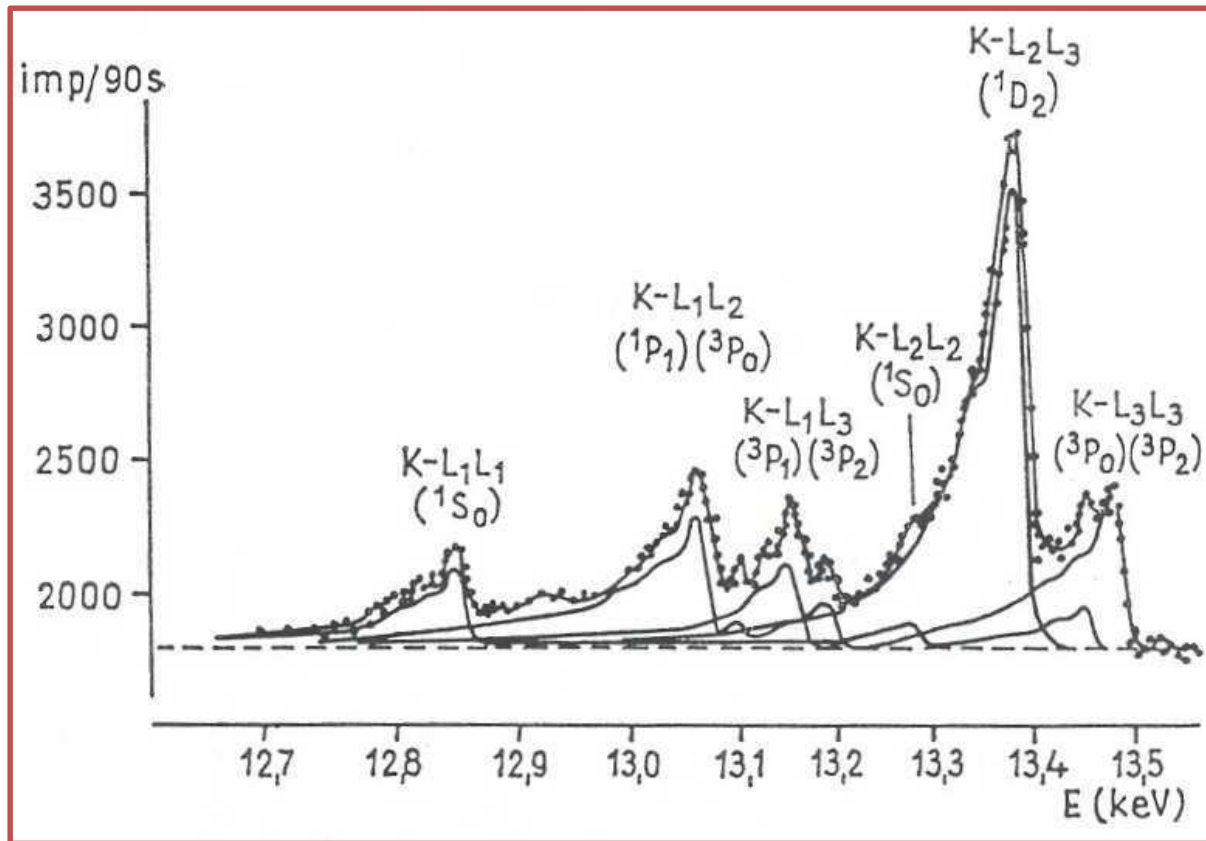
a magból kilépő gamma kvantum helyett egy héjelektron lép ki („belső fotoeffektus”)

Konverziós tényező:
$$\alpha = \frac{n_{elektron}}{n_{gamma}}$$

Auger-effektus

egy karakterisztikusröntgen-kvantum helyett egy héjelektron lép ki („belső fotoeffektus”)

A cirkónium KLL Auger-elektronjainak energiaspektruma.



Az Auger-effektus általában kaszkádszerűen megy végbe, mivel a kilépni szándékozó karakterisztikus röntgen fotonok egyre kisebb energiájúak és a fotoeffektussal analóg módon könnyen rezonanciába kerülnek valamelyik gyengén kötött elektronnal.

A KLL átmenet azt jelenti, hogy a fotoeffektus következtében a K-héjban létrejött elektronhiány az L-héjról töltődik fel, ugyanakkor az Auger-elektron távozása is az L-héjról történik. Az 1-3 indexek az L-héj alhéjait jelentik

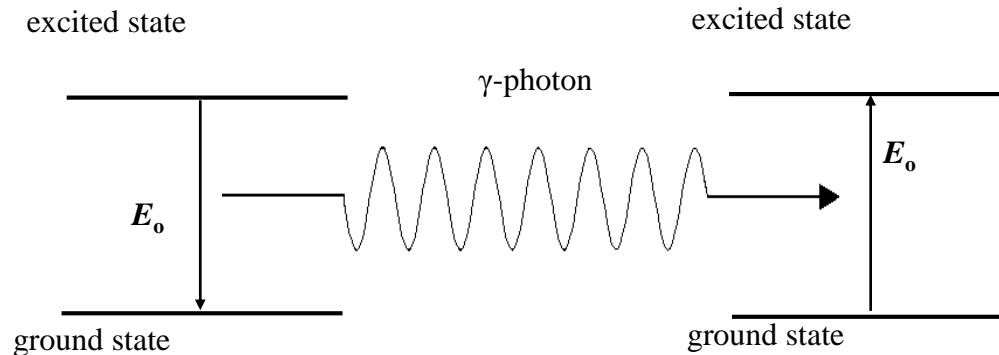
2016 apr 21

Gamma-sugarak magrezonancia-abszorpciója

A gammasugarak nagy energiájuk ellenére hihetetlenül kis energiabizonytalansággal rendelkeznek!

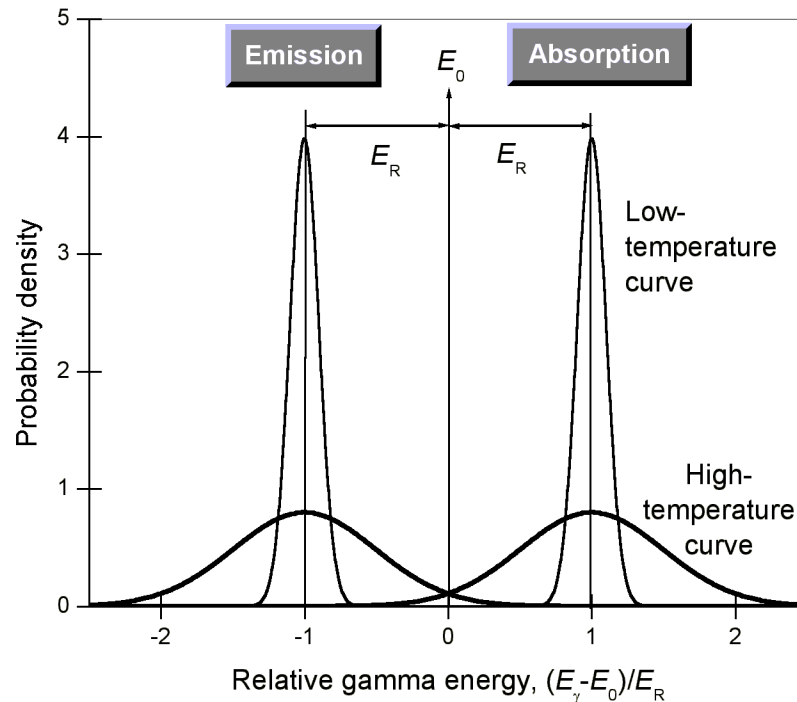
$$\Gamma \tau = \frac{h}{2\pi}$$

Példa: ^{57}Fe , energia, $E_\gamma = 14400 \text{ eV}$,
vonalszélesség: $\Gamma \sim 0,000000001 \text{ eV}$



Probléma: visszalökődési energia, E_R

	E_γ (eV)	Γ (eV)	E_R (eV)
Közönséges fény:	~ 1	$\sim 10^{-5}$	$\sim 10^{-11}$
Gamma-sugárzás (^{57}Fe , 14,4 keV)	$\sim 10^4$	$\sim 10^{-9}$	$\sim 10^{-3}$



Mössbauer-effektus

A „trükk”:

Ha a gamma-kvantumot kibocsájtó mag /atom egy kristályrác része, akkor a visszalökődési energia két módon jelenhet meg.

Átadódhat **rezgési energiaként**, azaz fonont kelthet.



E_R a szabad atom által átvett energiával összemérhető.

Ha a kvantáltság ezt nem engedi meg, akkor a kristályrác egésze, mint merev test veszi fel azt **kinetikus energiaként**.



E_R még a természetes vonalszélességhez képest is elhanyagolható.

A Mössbauer-effektus lényege, hogy a gamma-kvantum kibocsátása/elnyelése során a kristályrács rezgésállapota nem változik meg.



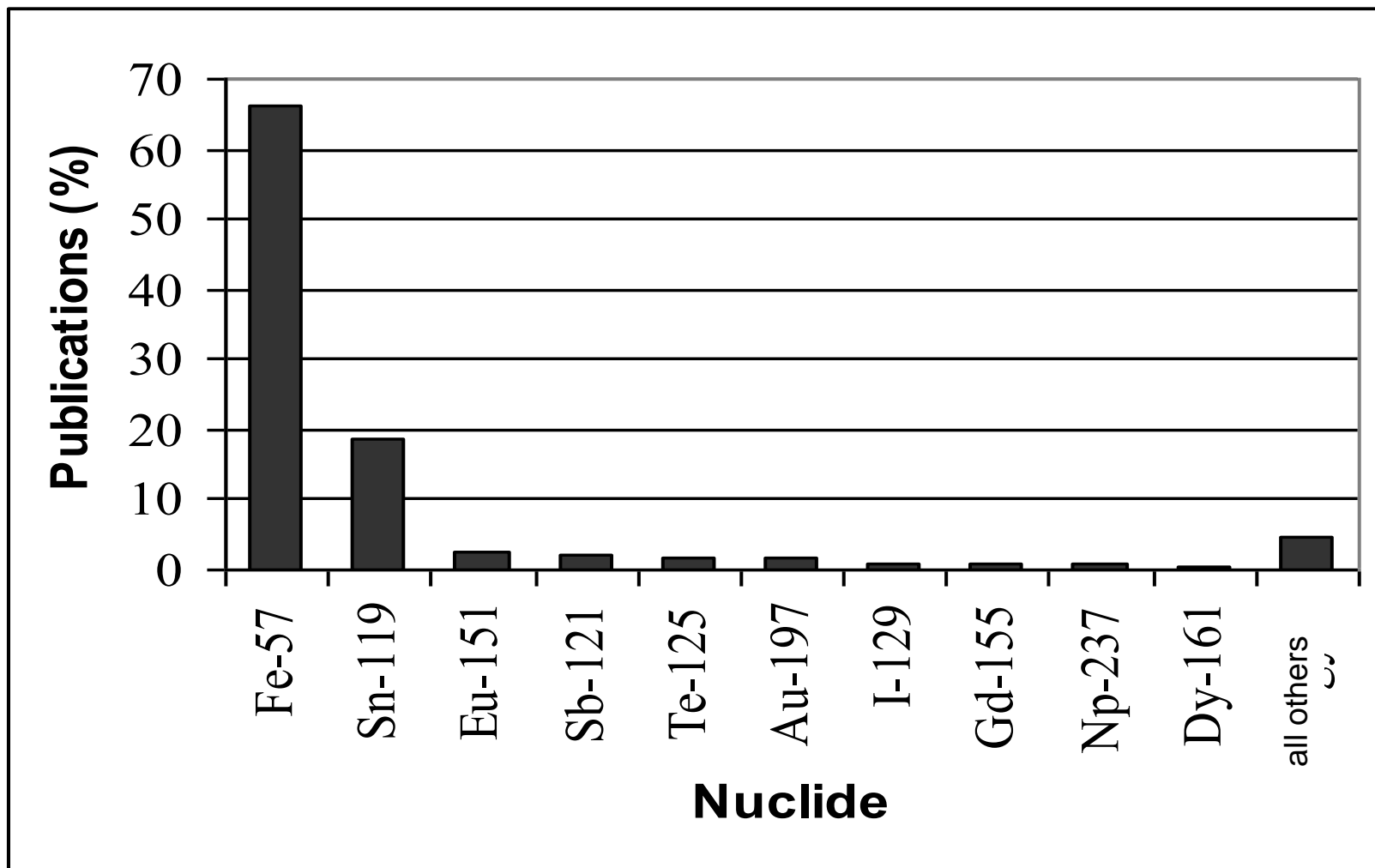
„visszalökődés-mentes” magrezonancia-abszorpció/emisszió

A visszalökődésmentesség valószínűsége a Debye-modell segítségével felírható. „Mössbauer-Lamb faktor”:

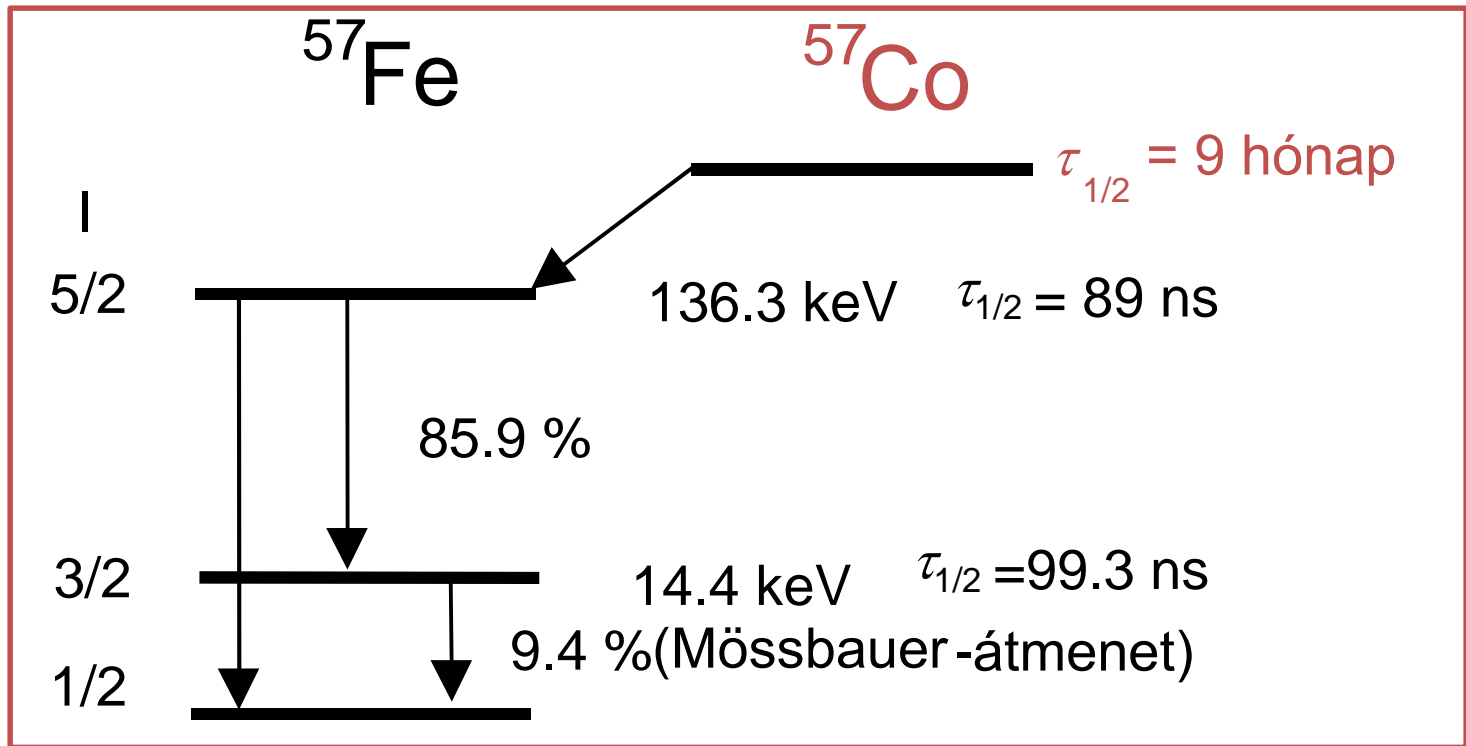
$$f(T) = \exp \left\{ -\frac{6E_R}{k\theta_D} \left(\frac{1}{4} + \left(\frac{T}{\theta_D} \right)^2 \int_0^{\theta_D/T} \frac{x}{e^x - 1} dx \right) \right\}$$

E_R : visszalökődési energia; θ_D : Debye-hőmérséklet; T : hőmérséklet

Spektroszkópiai módszer kidolgozására alkalmas nuklidok:



A „vas-sugárforrás”:



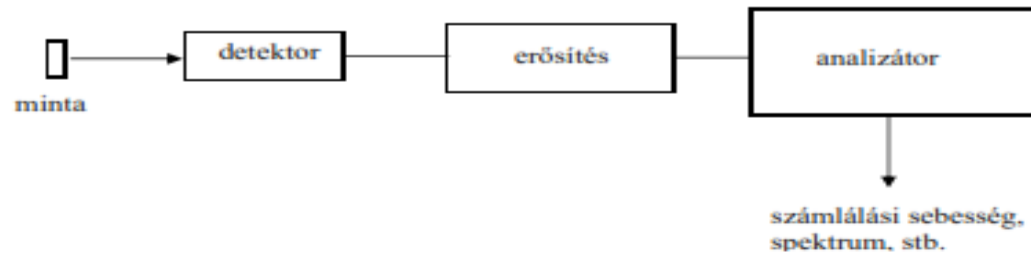
Mire jó a Mössbauer-spektroszkópia?

Kémiai információk szerzése a Mössbauer-nuklidot tartalmazó mátrixról:

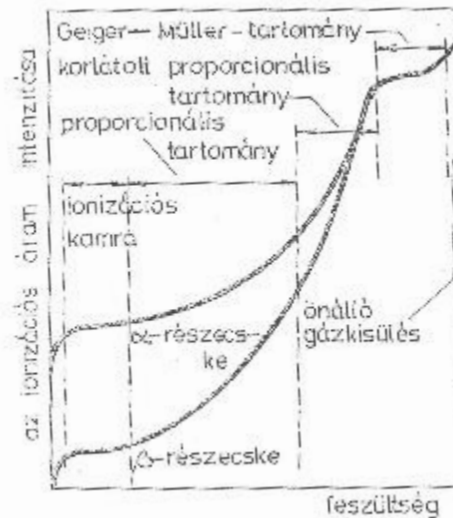
- A Mössbauer-nuklid vegyértékállapota
- Spinállapota
- Elektronszerkezetének részletei (elektronsűrűség a mag helyén, az elektronsűrűség eloszlása)
- Mágneses tulajdonságai (belső mágneses tér, mágnesség jellege, pl. szuperparamágnesség)
- A kristályrács rezgési sajátságai (Debye-hőmérséklet)



A sugárzások detektálása



Gázionizációs elven működő detektorok:



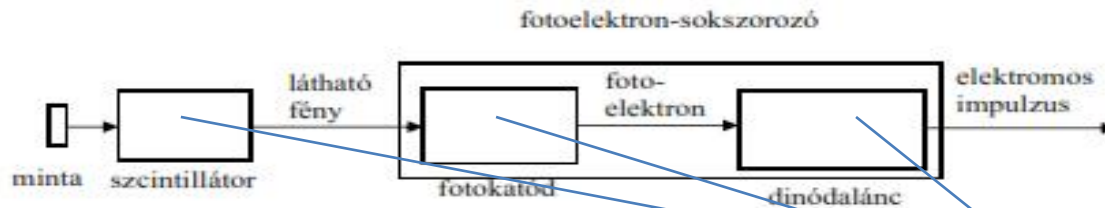
Ionizációs kamra (a sugárzás energiájára érzékeny, de kis jelet ad)

Proporcionális számláló (a sugárzás energiájára érzékeny, de drága, mert nagyon stabil tápfeszültséget igényel)

Geiger-Müller számláló (a sugárzás energiájára érzéketlen, de olcsó, nem igényel erősítő egységet, γ -dózismérésre kiváló)

Szcintillációs módszerek

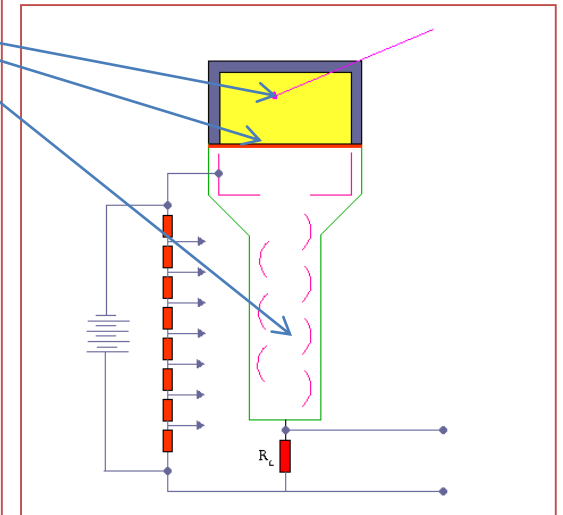
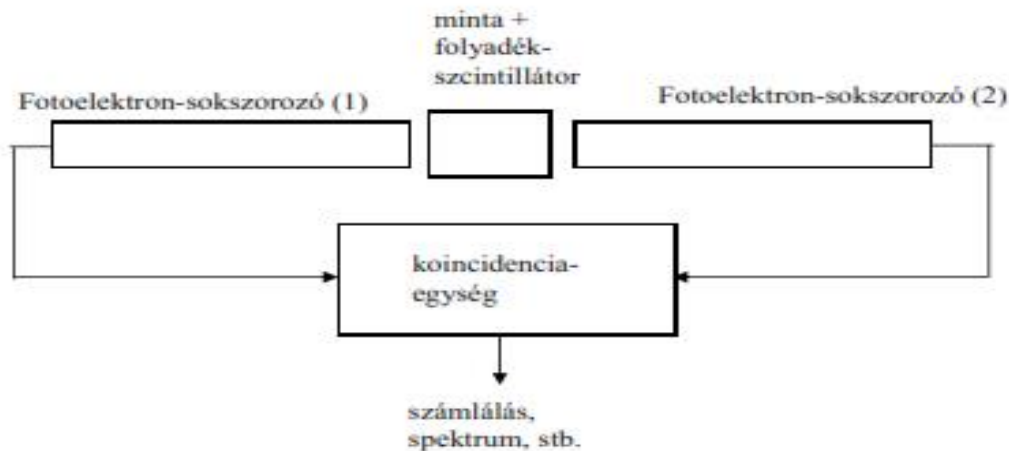
Szcintilláció = fényfelvillanás



Szcintillátorok:

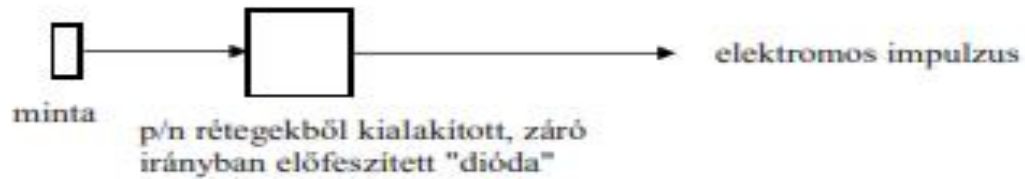
- NaI(Tl), BaF₂ (γ -sugárzáshoz)
- ZnS (α -sugárzáshoz)
- "plasztik" szcintillátorok (könnyű elemekből, β -sugárzáshoz)
- ⁷LiI (speciális szcintillációs n -detektor)
- folyadékszscintillátorok (többnyire szerves kondenzált policiklusos aromások, kis energiájú β -sugárzók mérésére)

Speciális eset: folyadékszscintillációs technika kis aktivitású gyenge β -sugárzók mérésére (pl. ¹⁴C, ³T)

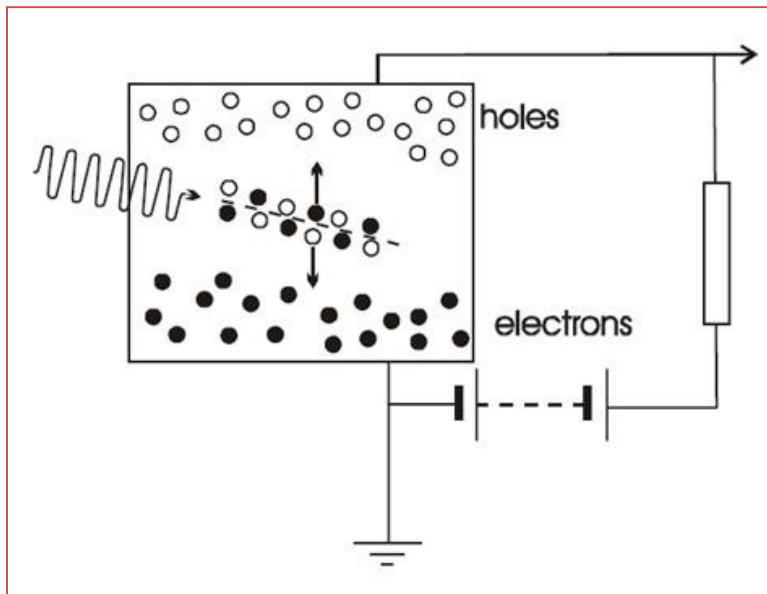


Forrás: Wikipedia)

Félvezető-detektorok



Elsősorban γ -spektroszkópiai célra (nagy felbontás)
pl.: Si(Li), HPGe (mérésakor hűtést igényel)

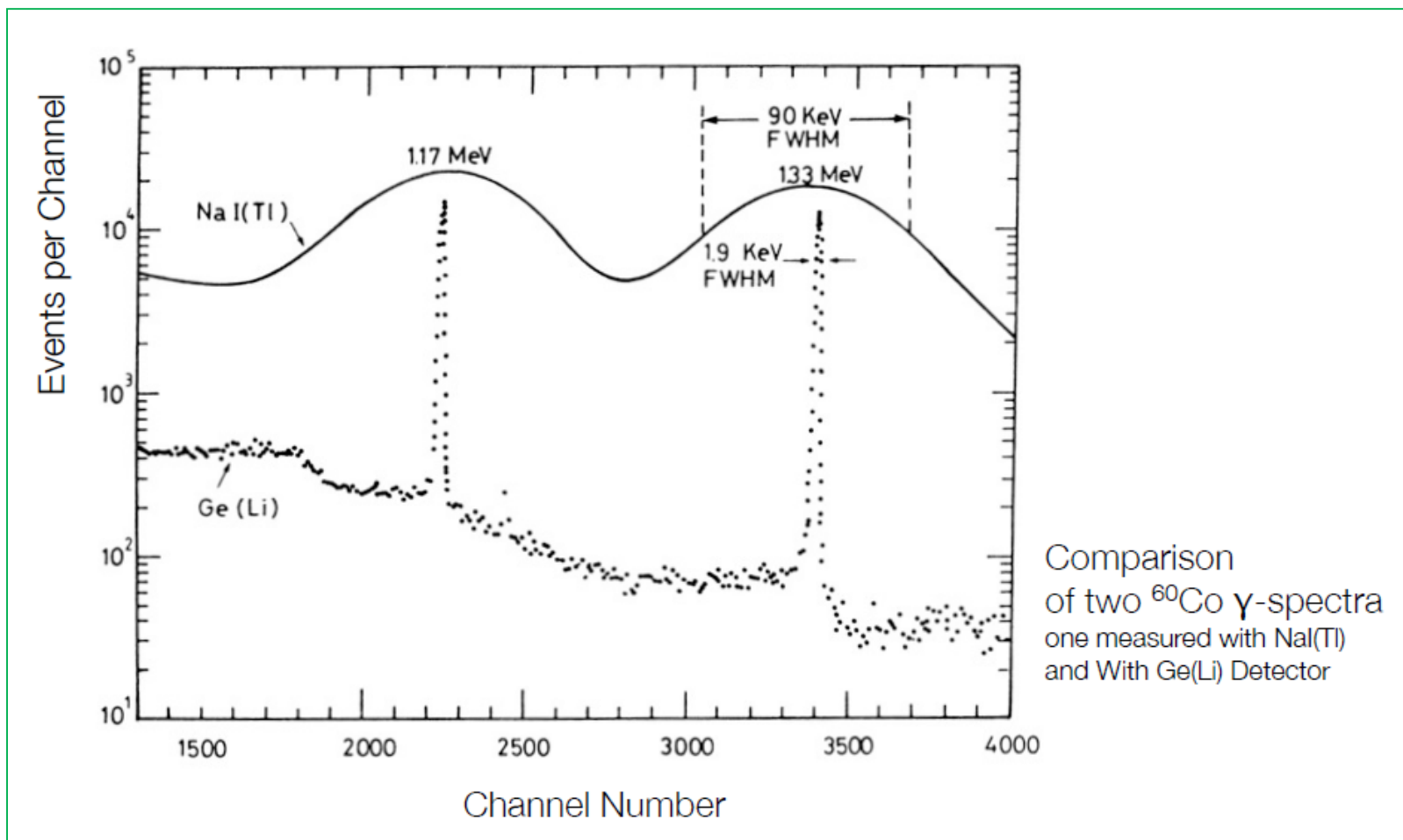


Germanium Detectors



A
CANBERRA

Szcintillációs és félvezető detektorok összehasonlítása:



Nov. 28.

Sugárkémia

Célgia: ionizáló sugárzás hatására bekövetkező kémiai változások tanulmányozása

Alapfogalmak:

LET-érték (Linear Energy Transfer)

$$LET = dE/dx$$

Egységnyi úton a közegnek átadott energia

Meghatározza a sugárzási nyom (spur, trace) szerkezetét, sűrűségét és kiterjedését.

Sugárkémiai hozam

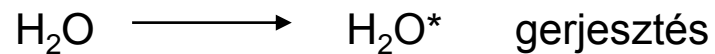
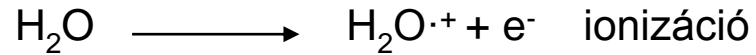
$$G = dn/dE$$

, ahol $dE \equiv 100 \text{ eV}$

100 eV elnyelt energia hatására keletkező specieszek száma (gyökök, ionok, bármiféle kémiai termékek)

A víz radiolízise

Primer folyamatok:

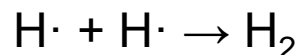
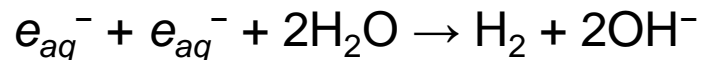
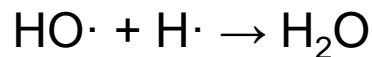
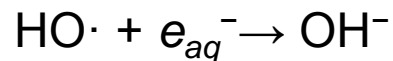


- ionizációs küszöbenergia: ~ 13 eV)
- gerjesztési küszöbenergia: ~ 7,4 eV)

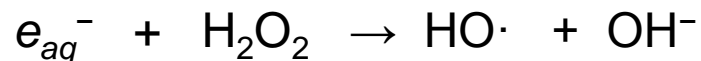
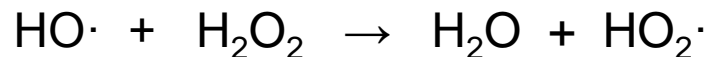
Primer specieszek, figyelembe véve a gerjesztett állapot homolitikus bomlását hidrogén és hidroxil gyökre:



Tipikus reakciók:



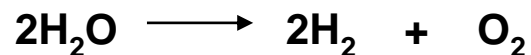
Nagy LET-értékű sugárzások esetén további reakciók:



A bruttó reakció kis LET érték esetén:



nagy LET-érték esetén:

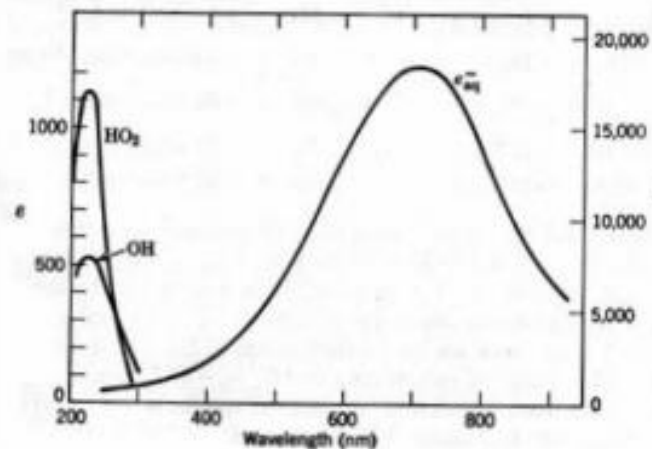


2016 apr 26

Sugárkémiiai hozamok különböző sugárzások esetén:

Radiation	G (-H ₂ O)	G (H ₂ +H ₂ O ₂)	G (e ⁻ _{aq})	G (H)	G (OH)
X-rays and fast electrons 0.1-20 MeV	4.08 pH 3-13	1.13	2.63	0.55	2.72
12 MeV alpha	2.84 pH 7	2.19	0.42	0.27	0.54
Polonium alpha, 3 MeV	3.62 pH 0.46	3.02	0	0.60	0.50

Az egyes specieszek detektálása többnyire spektrofotometriás úton lehetséges:



Dózis

Besugárzási dózis

(A mai szabályozásban hivatalosan nem szerepel.)

Jele: X

Definíció:

$$X = dQ/dm_{\text{levegő}}$$

Q →

- azonos előjelű töltések (ionpárok) száma
- minden ion dV-n belül fékeződik le
- csak levegőre definiált
- csak gamma- és röntgensugárzásra értelmezzük

mértékegység: C/kg_{levegő}

(régi egység: 1 röntgen = $2,58 \times 10^{-4}$ C/kg_{levegő})

Jelentősége: mérés technikai, történeti

Elnyelt dózis

Jele: D

Definíció: $D = dE_{\text{elnyelt}}/dm$

Egységnyi térfogatelemben a sugárzás által *átadott energia*, osztva a térfogatelem tömegével

mértékegysége: J/kg (Gy, gray)

(régí egység: 1 rad = 0,01 Gy) rad = radiation absorbed dose

Fontos:

A sugárzás energiája és a sugárzásból elnyelt energia közötti összefüggés messze nem triviális!

Közölt dózis (Kerma)

Szekunderelektron-egyensúly:

Teljesül, ha egy detektor érzékeny térfogatában közvetetten ionizáló sugárzás (gamma, röntgen és neutron) hatására képződő töltött részecskék ugyanott fékeződnek le, azaz, az e térfogatba belépő és azt elhagyó töltött részecskék száma megegyezik.

Egyenérték dózis

Jele: H_t

mértékegység: J/kg (Sv, sievert) (régi egység: 1 rem = 0,01 Sv)

$$H_t = w_t D_t$$

A sugárzásra jellemző súlyfaktorok.

Table 3. Radiation weighting factors

Radiation type	Radiation Weighting Factor, w_R
Photons	1
Electrons and muons	1
Protons and charged pions	2
Alpha particles, fission fragments, heavy ions	20
Neutrons	A continuous function of neutron energy (See Figure 1)

From ICRP Publication 103, Table 2.

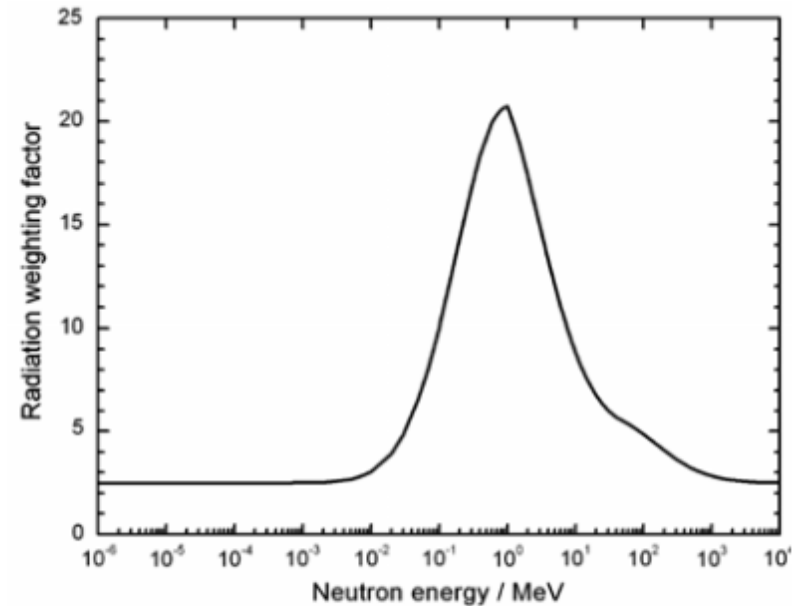



Fig. 1. Radiation weighting factor, w_R , for neutrons versus neutron energy (from ICRP Publication 103, Fig.1)

Az egyenérték dózis jelentősége:

- a sugárzás típusától függetlenül írja le a biológiai hatásokat
- egyes szövetekre vonatkozik

De!



egy biológiai egyedre nézve nem
vonható le egyértelmű következtetés



új fogalom kell!

Effektív dózis

Jele: E

mértékegység: J/kg (Sv, sievert)

$$E = \sum w_t H_t$$



Szöveti súlytényezők (t: tissue)

Jelentősége:

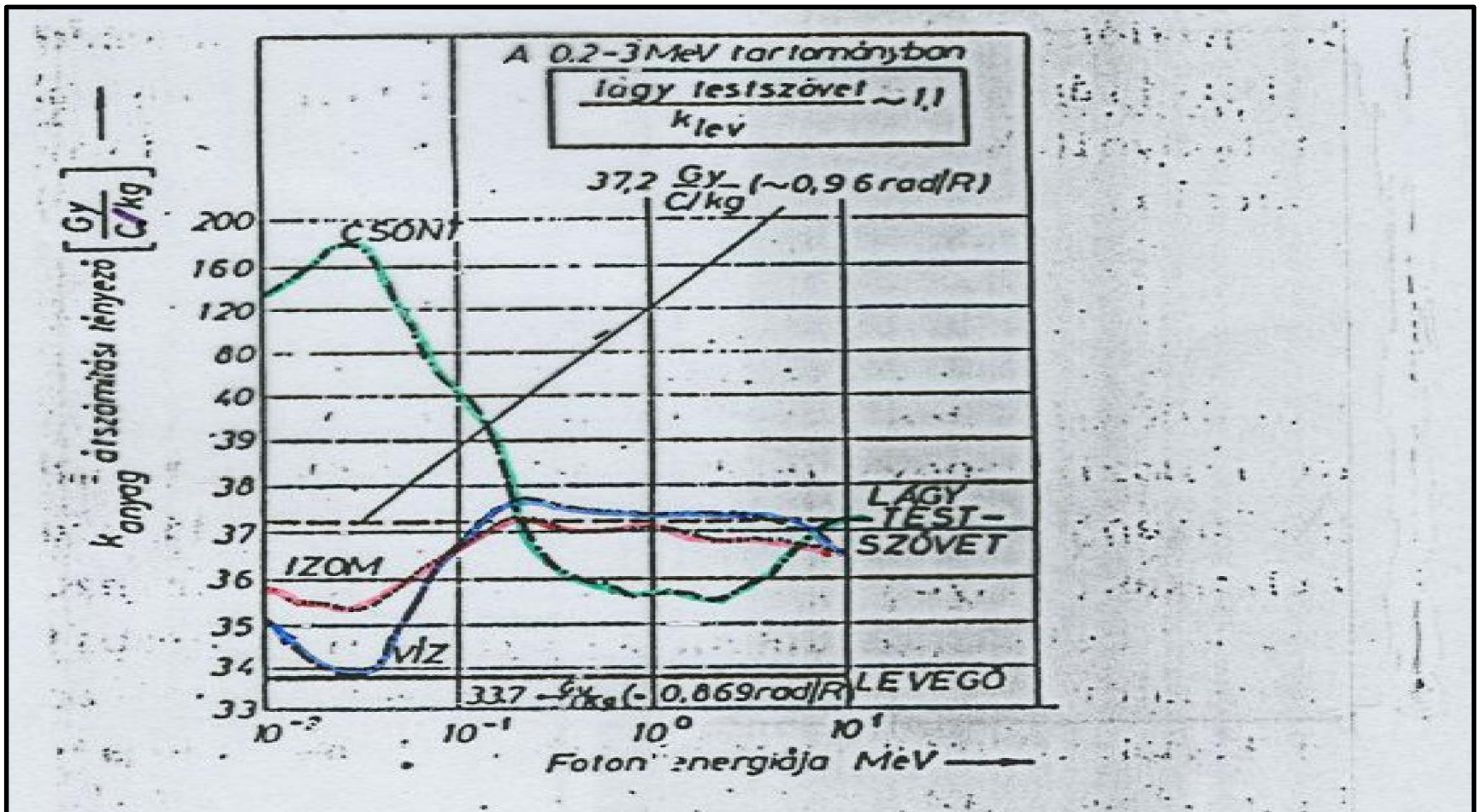
- az egész testre kifejtett
egészségkárosodás leírására
használható (csak
sztochasztikus hatásokra!)

Testszövet	w_T
Csontvelő	0,12
Vastagbél	0,12
Tüdő	0,12
Gyomor	0,12
Emlő	0,12
Egyéb szövetek (a)	0,12
Ivarmirigyek	0,08
Hólyag	0,04
Nyelőcső	0,04
Máj	0,04
Pajzsmirigy	0,04
Csontfelszín	0,01
Agy	0,01
Nyálmirigyek	0,01
Bőr	0,01

A besugárzási dózis és az elnyelt dózis kapcsolata

A Bragg-Gray elv

Kapcsolatot teremt a levegőre mérhető besugárzási dózis (X) és az emberi testre érvényes elnyelt dózis között.



$$D_{\text{testszövet}} = \frac{37,2}{33,7} XW_{I,\text{levegő}} \frac{(\mu/\rho)_{\text{testszövet}}}{(\mu/\rho)_{\text{levegő}}}$$

Az egy ionpár létrehozásához szükséges energiára vonatkozó korrekciós tényező levegő és testszövet viszonylatában

A sugárzás és a testszövet eltérő kölcsönhatási valószínűségét korrigáló tényező.

Az egy ionpár keletkezéséhez szükséges energia levegőben.

Fontos:

Egy ionizáló **sugárzás veszélyességének** a megítélésénél két paramétert kell számításba venni:

Mekkora a kölcsönhatás valószínűsége?

A kölcsönhatási esemény (ionizáció) során mekkora a közegnek átadott energia?

Az ionizáló sugárzások biológiai hatásai

1901- Becquerel, bőrpír észlelése

1902 - az első sugárrák esetek

pl.: Hamburg, 359 orvos esik áldozatul a röntgensugárzásnak (még nem radioaktív sugárzás!)



A belső sugárterhelés áldozatai:

Ra-tartalmú óraszámoló-festékekkel dolgozók New Jerseyben

1927 - a genetikai hatások felismerése

A biológiai hatások osztályozása:

Szomatikus

Egy biológiai
egyeden jelentkezik

Determinisztikus

A károsodás súlyossága függ a dózistól.
Van küszöbdózis, ami alatt determinisztikus károsodás nincs.

pl.: szemlencse-homály, bőrpír

Genetikai

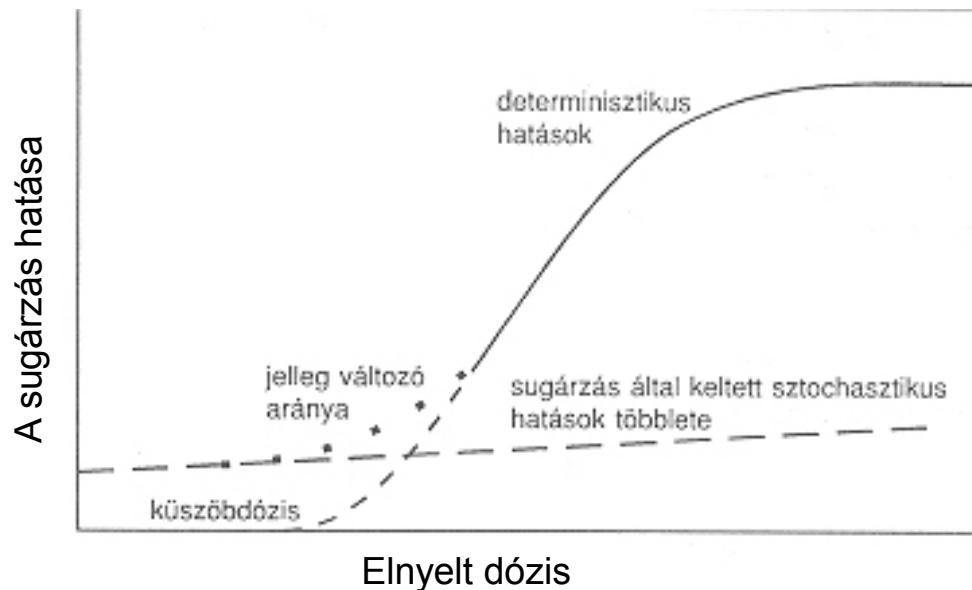
Egy populáción jelentkezik

Sztochasztikus

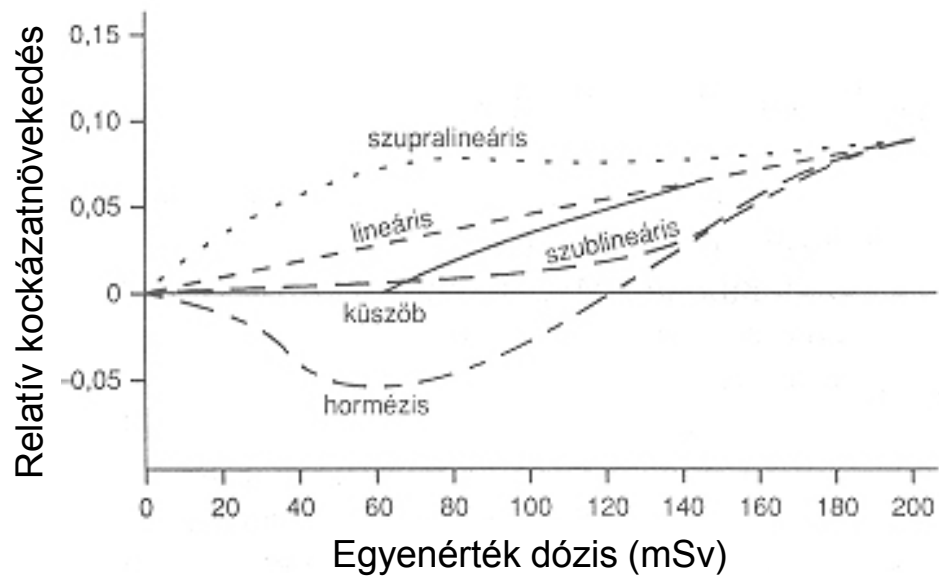
A károsodás valószínűsége függ a dózistól.
Nincs küszöbdózis, a legkisebb dózis is károsnak tekintendő.

pl.: rák,
általános életkor-rövidülés

Determinisztikus és sztochasztikus hatások rövid idő alatt elszenvedett viszonylag nagy dózis esetén:

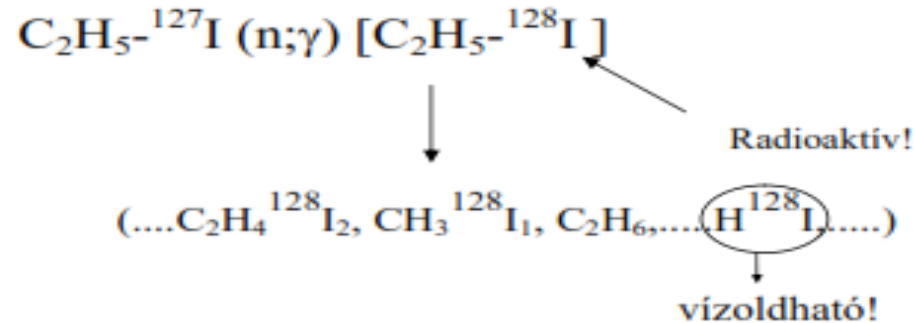


A sztochasztikus hatások bizonytalansága kis dózisoknál:



A forróatom-kémia alapjai

Szilárd - Chalmers effektus:



Ez volt az első „forróatom-reakció”.

Termikusan kontrollált reakciók esetén:

Boltzmann szerint:

$$\left. \frac{n(E^*)}{\sum_E n(E)} \right|_T = e^{-\frac{E^*}{k_B T}}$$

Példa: a részecskék mekkora hányadának van 100 eV aktiválási energiája 20°C-on?

$$\left. \frac{n(100\text{eV})}{\sum n} \right|_{T=20^\circ\text{C}} = e^{-\frac{100\text{eV}}{0.025\text{eV}}} = \frac{1}{e^{4000}} = 10^{-1740} \cong 0$$

A visszalökődési energia

Nemrelativisztikus eset:



$$-VM = vm \longrightarrow V^2 = \left(\frac{m}{M}\right)^2 \cdot v^2$$

$$\frac{E_M}{E_m} = \frac{MV^2}{mv^2}$$

$$E_M = E_m \cdot \frac{M}{m} \cdot \frac{m^2}{M^2} \cdot \frac{v^2}{v^2} = E_m \cdot \frac{m}{M}$$

$$E_M = E_m \cdot \frac{m}{M}$$



A visszalökődési energia a tömegekkel fordított arányban oszlik meg.

Relativisztikus eset: (ha v összemérhető c -vel)

A relativisztikus kinetikus energia:

$$E_k = mc^2 - m_o c^2 = m_o c^2 \left[\frac{1}{\left(1 - \frac{v^2}{c^2}\right)^{\frac{1}{2}}} - 1 \right]$$

relativisztikus impulzus (lendület): $p = mv = \frac{m_o v}{\left(1 - \frac{v^2}{c^2}\right)^{\frac{1}{2}}}$

A fentiekből következően akilökődő részecske (forróatom) relativisztikus impulzusa::

$$p_m = \left(\frac{E_m^2}{c^2} + 2E_m m_o \right)^{\frac{1}{2}},$$

az impulzusmegmaradás törvényének felhasználásával:

$$E_M = \frac{E_m^2}{2Mc^2} + \frac{E_m \cdot m_o}{M}$$

relativisztikus tag

nemrelativisztikus tag

Amennyiben a kilökött „részecske” egy γ -foton, akkor $m_0=0$, és így:

$$E_M = \frac{E_\gamma^2}{2Mc^2}$$

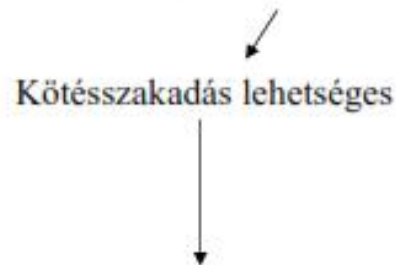
(lásd később a Mössbauer spektroszkópiánál!)

Tipikus visszalökődési energiák:

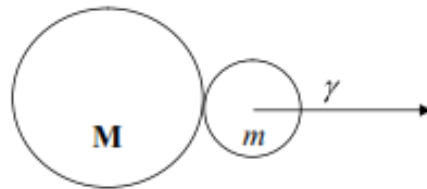
Pl. ha $A_r=100$; $E_m=1$ MeV, akkor

E_R γ -kvantum : \longrightarrow 5 eV
 β -részecske: \longrightarrow 20 eV

Ezek az energiák valamivel nagyobbak, mint egy átlagos kémiai kötés energiája.


Kötésszakadás lehetséges

Milyen feltételekkel?



A visszalökődési energiát elsődlegesen az m tömeg veszi át, majd átadja az egész rendszernek.

Ha kötőszakadás nem következik be, akkor:

$$mv_m = (M + m)v_{M+m}$$

Az impulzusmegmaradás törvénye miatt ez csak abban az esetben képzelhető el, ha a visszalökődési energia egy része a rendszer belső energiáját növeli (E_i),:

$$E_m = \frac{1}{2}(M + m)v_{M+m}^2 + E_i$$

(máskülönben M és m sebessége eltérő lenne, ami azt jelentené, hogy elszakadnak egymástól!)

Algebrai átalakításokkal:

$$v_{M+m}^2 = \frac{m^2}{(M + m)^2} v_m^2, \text{ így}$$

$$E_m = \frac{1}{2} \frac{m^2}{M + m} v_m^2 + E_i; \quad v_m^2 = \frac{2E_m}{m}, \text{ és}$$

$$E_m - E_i = \frac{1}{2} \frac{m^2}{M+m} \cdot \frac{2E_m}{m} = \frac{m}{M+m} E_m$$

végül:
$$E_i = E_m \cdot \frac{M}{M+m}$$

Tehát kötőszakításra csak a primer visszalökődési energia fenti tömeghányad szerinti része használható fel, amikor:

$$E_i > E_{\text{kötési}}$$

2016 apr 29

Radionuklidok a környezetben

- **Elsődleges természetes radionuklidok**

olyan természetes radioaktív magok, amelyek megtalálhatóak a Naprendszer keletkezése óta;

- felezési idejük nagyon hosszú;
- 26 ismert mag, pl: ^{238}U ($4,47 \cdot 10^9$ év), ^{40}K ($1,28 \cdot 10^9$ év), ^{87}Rb ($4,8 \cdot 10^{10}$ év).

További, kevésbé jelentősek:

^{50}V , ^{113}Cd , ^{115}In , ^{123}Te , ^{138}La , ^{144}Nd , $^{147,148}\text{Sm}$, ^{152}Gd , ^{156}Dy , ^{174}Hf , ^{176}Lu , ^{186}Os , ^{187}Re , ^{190}Pt .

- **Másodlagos természetes radionuklidok**

Olyan magok, amelyek az előzőek keletkezése révén bomlanak;

- felezési idejük rövidebb;
- 38 ismert mag, pl: ^{226}Ra (1600 év), ^{234}Th (24,1 nap).

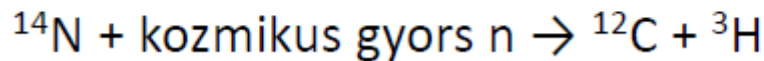
• Indukált természetes radionuklidok

- Kozmikus sugárzás hatására keletkeznek;
- 10 ismert mag, pl: ^3H ($T_{1/2}=12,3$ év), ^{14}C ($T_{1/2}=5730$ év).

További példák:

$^7,^{10}\text{Be}$, ^{22}Na , ^{26}Al , $^{32,33}\text{P}$, ^{35}S , ^{36}Cl , ^{39}Ar

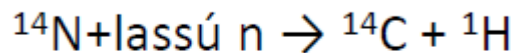
• ^3H keletkezése:



rendkívül lágy béta-sugárzó ($\beta_{\text{max}} = 18$ keV)

$T_{1/2} = 12.3$ év

• ^{14}C keletkezése:



lágy béta-sugárzó ($\beta_{\text{max}} = 155$ keV)

$T_{1/2} = 5736$ év

Kozmogén radionuklidok és főbb jellemzőik

Radionuklid	$T_{1/2}$	Globális aktivitás (PBq)	Troposzféra AK (mBq/m ³)
H-3	12,33 év	1275	1,4
Be-7	53,29 nap	413	12,5
Be-10	1,51E6 év	230	0,15
C-14	5730 év	12750	56,3
Na-22	2,602 év	0,44	2,1E-3
Al-26	7,4E5 év	0,71	1,5E-8
Si-32	172 év	0,82	2,5E-5
P-32	14,26 nap	4,1	0,27
P-33	25,34 nap	3,5	0,15
S-35	87,51 nap	7,1	0,16
Ar-37	35,04 nap	4,2	0,43
Ar-39	269 év	28,6	6,5
Kr-81	2,29E5 év	0,005	1,2E-3

- **Mesterséges radionuklidok**

- Emberi tevékenység során keletkeztek, a természetben nincsenek számottevően jelen;
- kb. 2000 ismert mag, pl: ^{60}Co , ^{137}Cs , ^{24}Na

NORM: Naturally-Occurring Radioactive Materials

(földkérgi és kozmikus eredetű radionuklidokat tartalmazó anyagok)

TENORM: Technologically-Enhanced Naturally-Occurring Radioactive Materials

(földkérgi és kozmikus eredetű radionuklidokat valamilyen, a nukleáris technológiáktól független okból feldúsulva tartalmazó anyagok)

- A **NORM/TENORM** anyagokban a ^{40}K , valamint a ^{238}U , ^{232}Th és a bomlási sorukban lévő elemek nagyobb aktivitás-koncentrációban találhatóak, mint az átlagos talajokban.

Így a feldolgozásuk során képződő hulladékok is tartalmazzák ezeket a nuklidokat, még hozzá többszörösen feldúsulva (néhány Bq/g-több ezer Bq/g).

TENORM – ot produkáló eljárások:

- Bauxitbányászat és feldolgozás
- Cirkonhomok felhasználás, kerámiagyártás (ZrSiO_4 , ZrO_2)
- Fémércbányászat, érckohászati feldolgozás
- Foszfátérc feldolgozás, műtrágyagyártás
- Geotermikus energia felhasználás
- Kőolaj és földgáz kitermelés
- Ritkaföldfém bányászat és feldolgozás
- Szénbányászat, széntüzelésű erőművek

Jellemző radioaktivitás-koncentrációk a talajban és építőanyagokban

Bq/kg	Talaj	Beton	Tégla	Ytong tégla	Gázbeton
K-40	350-450	204	721	173	158
Th-232	25-30	11	44	9	30
U-238	25-30	13	44	13	30

Élelmiszerek:

(Bq/kg)	K-40	Ra-226
Banán	0,13	0,04
Sárgarépa	0,12	0,07
Burgonya	0,12	0,09
Sör	14,4	-
Vörös húсок	0,11	0,02

Dec. 5.

A háttérsugárzás „felelősei”:

Földkérgi (primordiális) sugárzás okozói:

^{238}U ($T_{1/2} = 4,5$ milliárd év) urán-rádium sor

^{235}U ($T_{1/2} = 0,7$ milliárd év) urán-aktínium sor

(természetes izotóp arány: 99.3% ^{238}U , 0.7% ^{235}U)

^{232}Th ($T_{1/2} = 14$ milliárd év) tórium-sor

^{40}K ($T_{1/2} = 1.3$ milliárd év): Földkéregben 2,6 % - 7. leggyakoribb elem.

Jelen van talajban, növényekben, élőlényekben.

Emberben kb. 4400 Bq

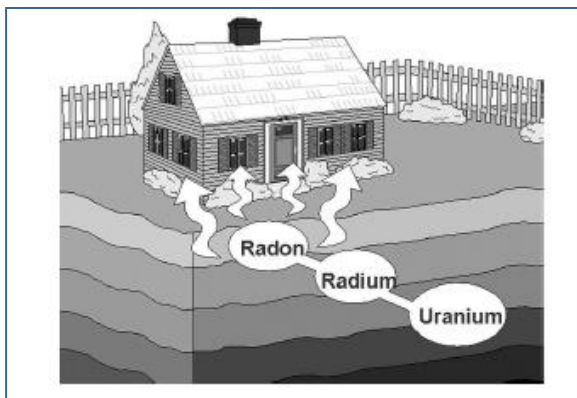
Kozmikus sugárzás

Az űrből (Naptól, galaxisból) érkező nagy energiájú (10^8 - 10^{20} keV) részecske-sugárzások: protonok, elektronok, alfa-részecskék

Jellemző dózisteljesítmény:

- szabadban: 80 - 120 nSv/h
- épületekben: 80 – 200 nSv/h

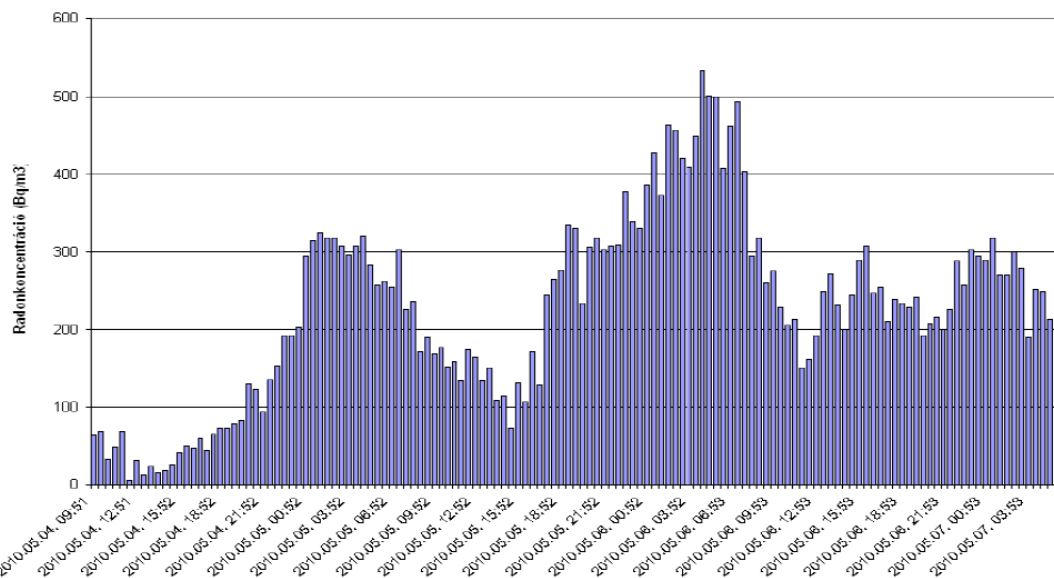
Radon



Belégzése:

- a természetes sugárterhelés legnagyobb része (60%)
- jellemző értékek
 - szabadban: 1-10 Bq/m³
 - épületekben: 50-300 Bq/m³
 - hazai átlag: kb. 130 Bq/m³
 - talajgázban néhány 10 kBq/m³
- a sugárterhelés döntően a leányelemektől ered
- forrása: talaj, építőanyag, vezetékes víz, földgáz

Szellőztetés hatása a beltéri radon koncentráció változására

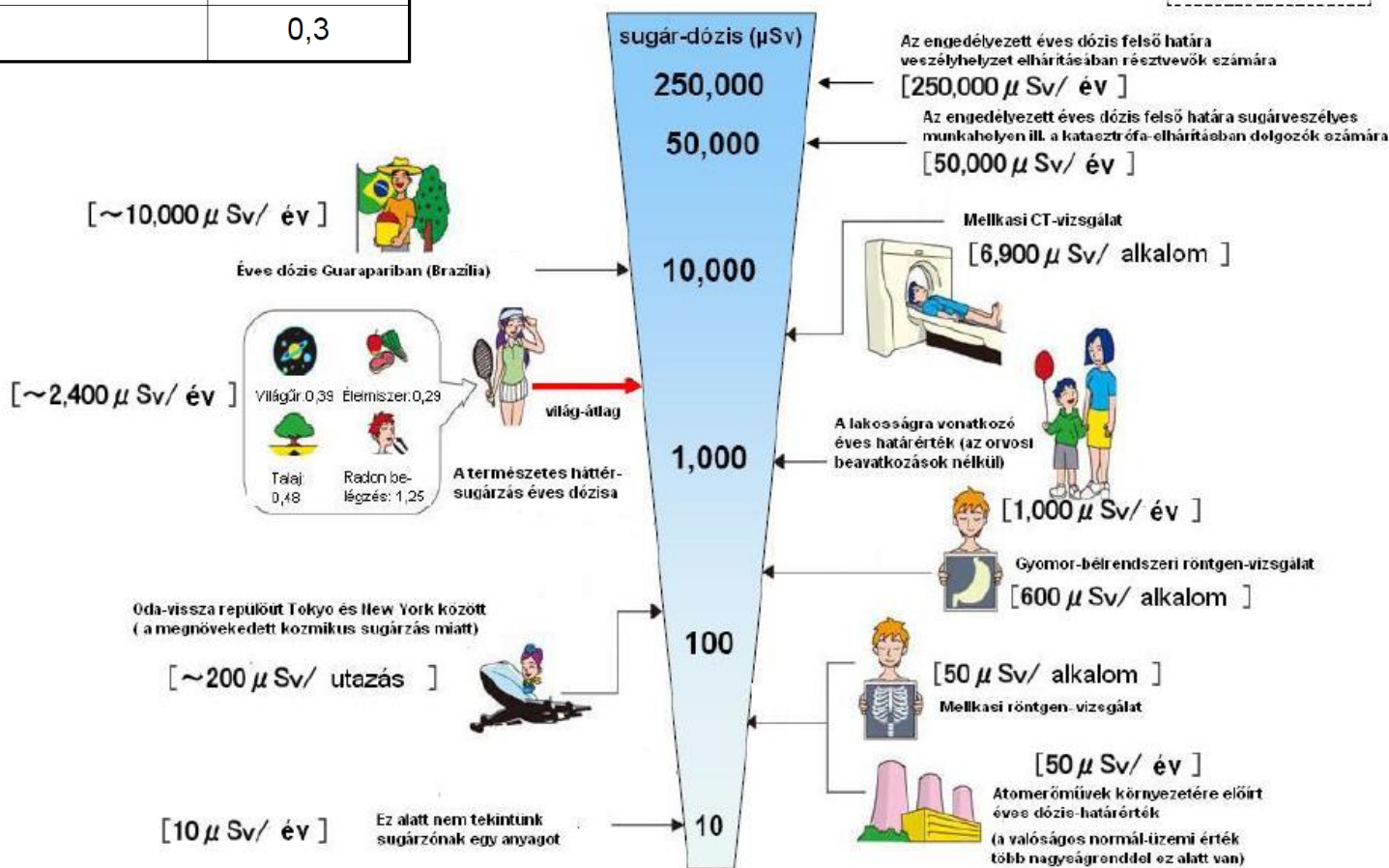


A különböző eredetű háttérsugárzásból eredő dózisek:

	Forrás	Évi effektív dózis (mSv)
Külső expozíció	kozmosz	0,4
	földkérgi	0,5
Belső expozíció	Belégzés (főleg radon)	1,2
	Lenyelés	0,3

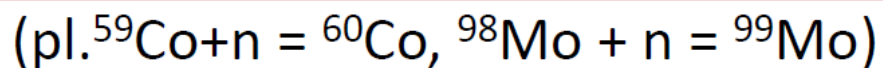
Sugárzás a mindennapokban

Egység : μSv

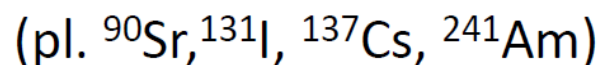


Mesterséges radionuklidok előállítása

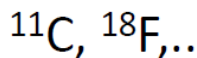
- Atomreaktorban történő neutronbesugárzással



- Hasadási termékekből történő izolálással



- Ciklotronban történő protonbesugárzással



Negatív béta-sugárzók

Pozitív béta-sugárzók



Radionuklidok felhasználása

Ipar

Gyógyászat

Energetika



Nukleáris Medicina

Diagnosztikai célú izotópfelhasználás

(Nyomjelzés az élő szervezetben)

Cél: biológiailag aktív anyagok tér- és időbeli eloszlásának a vizsgálata

I. Folyadékáramlás vizsgálata

- agyi vérrellátás
- tüdő vérrellátása
- nyirokkeringés
- stb.

II. Jelzés szelektív megkötődés alapján

- ioncsere és kemisorpció csontszöveten
- jódmegkötődés pajzsmirigyben
- sejten belüli ligandumcsere vesében
- kationfelvétel szívizomban
- megkötődés enzimatis reakcióban
- receptorkötődés tumorsejteken
- megkötődés immunreakcióban

III. Metabolizmus és kiválasztás követése

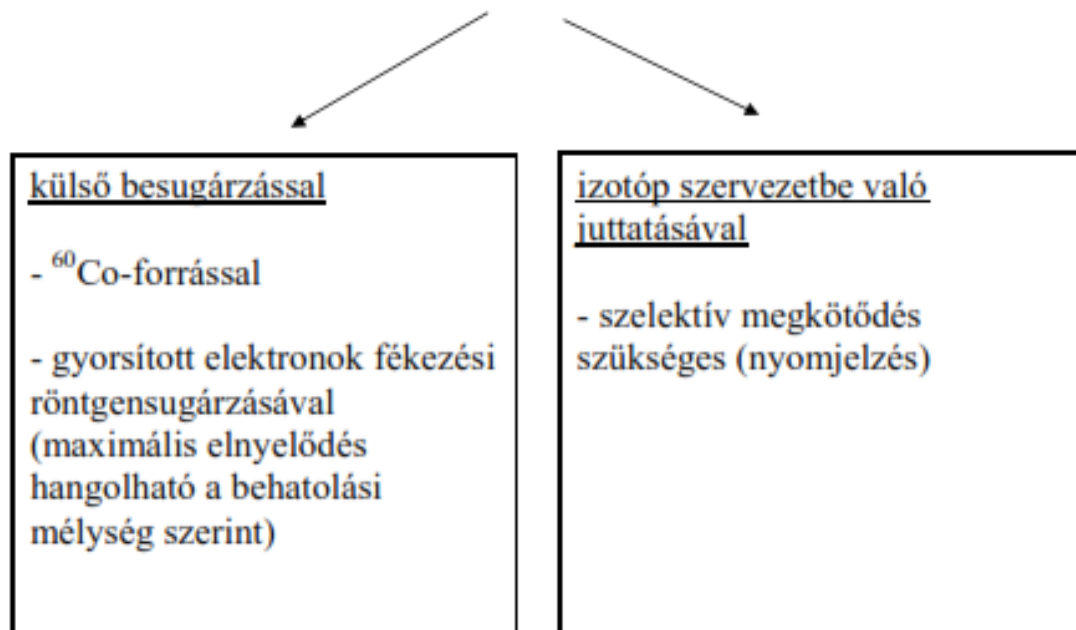
- májban
- vesében

Elvárások az izotóppal szemben:

- sugárzás típusa: γ -sugárzó (100-300 keV)
- felezési idő (idomuljon a vizsgálat időtartamához, célszerűen legyen minél rövidebb)
- legyen megfelelő hordozó molekula

Terápiás célú izotópfelhasználás

Cél: sejtek, szövetek elpusztítása



Milyen izotópra van szükség?

γ -sugárzó, ill. -

β -sugárzó

Fontosabb, radiofarmakonokban előforduló nuklidok:

γ -sugárzók:

izotóp	felezési idő	γ -energia	megjegyzés
^{99m}Tc	6 óra	140 keV	anyaelem: ^{99}Mo (66 óra) \rightarrow szállítható generátor
^{111}In	2,8 nap	172 keV 247 keV	
^{123}I	13 óra	393 keV	^{99m}Tc -mal analóg felhasználás
^{127}Xe	36,4 nap	173 keV 204 keV 377 keV	belégzéses tüdővizsgálatra; környezeti sugárterhelés!

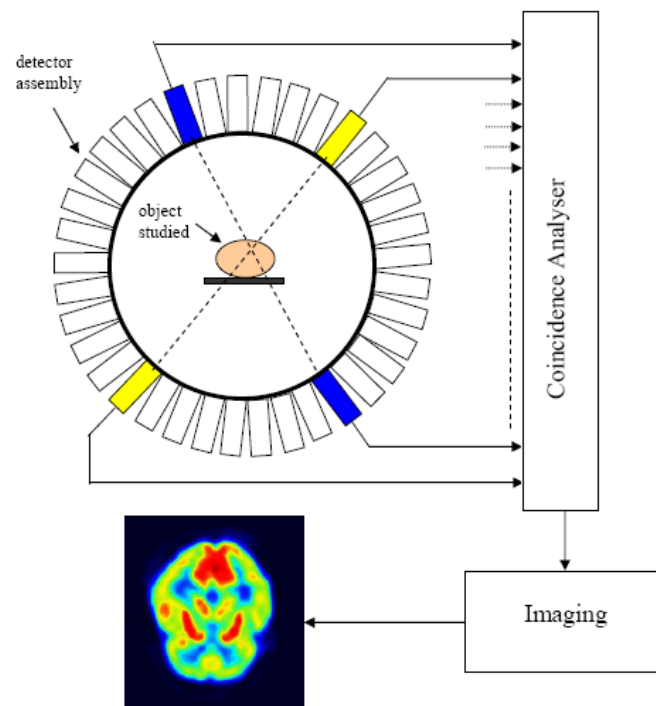
PET-izotópok:

^{18}F (110 perc, 635 keV β^+)
 ^{11}C , ^{15}O , ^{13}N

terápiás β^- -sugárzók:

^{89}Sr , ^{90}Y , ^{153}Sm (csont)
 ^{131}I (pajzsmirigy)
 ^{165}Dy (ízületi gyulladás)
 ^{166}Ho (máj tumor)

PET (Pozitron Emission Tomography)

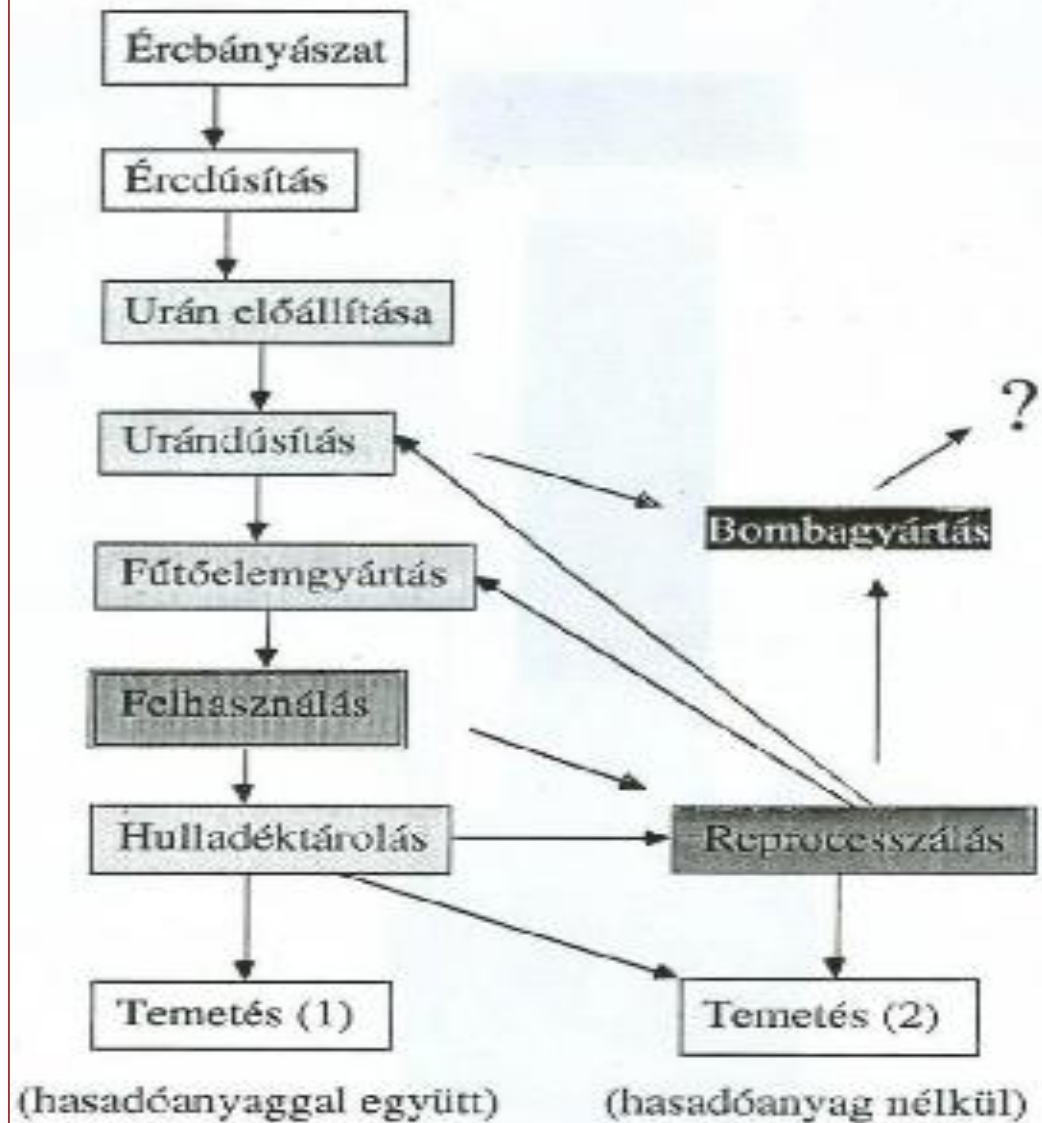


Atomenergia

Alapfogalmak:

- maghasadás
- láncreakció
- nukleáris fűtőanyag
- moderátor
- hűtőközeg
- szabályzó

A NUKLEÁRIS FŰTŐANYAGCIKLUS



Containment Structure

